

2092

İSTANBUL TEKNİK ÜNİVERSİTESİ - FEN BİLİMLERİ ENSTİTÜSÜ

BOR YAYINIMIYLA
ÇELİKLERDE YÜZYEY SERTLEŞTİRME

DOKTORA TEZİ

Yük.Müh.Nazım BOZKURT

Tezin Fen Bilimleri Ens.Verildiği Tarih: 22.5.1984

Tezin Savunulduğu Tarih : 11.9.1984

Doktorayı Yöneten Öğretim Üyesi : Prof.Dr.Recep A.SAFOĞLU

Diğer Juri Üyeleri : Prof.Dr.Veli AYTEKİN

Doç.Dr.Emel GEÇKİNLİ

İ.T.O.KİMYA-METALURJİ FAKULTESİ OFSET ATÖLYESİ

İSTANBUL, EYLÜL 1984

T. C.

Tıkaeköğretim Kurulu

- İ Ç İ N D E K İ L E R -

ÖZET	I
SUMMARY	IV
SEMBOLLER	XI
1. GİRİŞ ve AMAÇ	1
2. KONUNUN TEORİK İNCELENMESİ	4
2.1. Bor Mineralleri Hakkında Genel Bilgi	4
2.2. Saf Bor'un Fiziksel Özellikleri	6
2.3. Çeliklerde Bor Bileşikleri	7
2.3.1. Çeliklerde Bor Erirliği	7
2.3.2. Çeliklerde Borür ve Bor-Karbürler	7
2.4. Çeliklerde Alaşım Elementi Olarak Bor	10
2.5. Borlu Tabakanın Özellikleri	11
2.5.1. Sertlik	11
2.5.2. Aşınma	13
2.5.3. Korozyona Karşı Dayanıklılık	16
2.6. Borlama Metodları	19
2.6.1. Katı Ortamda Borlama	19
2.6.2. Sıvı Ortamda Borlama	20
2.6.2.1. Normal Sıvı Ortamda Borlama Metodu	21
2.6.2.2. Elektroliz Metodu	22
2.6.3. Gaz Ortamda Borlama	23
2.7. Borlu Tabakanın Yapı ve Bileşimi	25
2.7.1. Borür Tabakası	25
2.7.2. Geçiş Zonu	26
2.8. Borlu Tabakanın Kalınlığı	27
2.9. Borlanabilen Malzemeler	28
2.10. Alaşım Elementlerinin Bor Yayınımına ve Borür Tabaka Geometrisine Etkisi	28

2.11. Borür Tabakasındaki Kalıntı Gerilmeler	32
2.12. Borlu Malzemelerin İsil İşlemi	35
2.13. Bor'un Borlama Ortamından Çeliğe Yayınımı	36
2.13.1. Bileşik Haldeki Bor Atomunun Serbest Hale Geçmesi	36
2.13.1.1. Borlama Ortamının Katı Olması Halin- deki Reaksiyonlar	36
2.13.1.2. Borlama Ortamının Sıvı Olması Halin- deki Reaksiyonlar	37
2.13.1.3. Gaz Ortamda Borlama Esnasında Oluşan Reaksiyonlar	40
2.13.2. Serbest Bor'un Çeliğe Yayınımı	40
2.14. Çeliklerde Bor'un Miktar ve Dağılıminin Tesbiti	45
2.14.1. Otoradyografi Prensibi	46
 3. DENEYSEL ÇALIŞMALAR	48
3.1. Deneyde Kullanılan Malzemeler	48
3.2. Borlama Banyosu Bileşenleri	50
3.3. Deneyde Kullanılan Gereçler	51
3.4. Çeliklere Bor Yayındırma Deneylerinin Yapılış Şekli	52
3.5. Metalografik Etüd	53
3.6. Sertlik Ölçme	53
3.7. X-Işınları Analizi	53
3.8. Otoradyografik Etüd	54
3.9. Bor Yayınım Kinetiğinin Çalışma Metodu	55
3.10. Deney Sonuçları	57
3.10.1. Borlama Ortamının Borür Tabakası Etkisi	57
3.10.2. Banyo Bileşenleri ve Oranları Değişiminin Borlamaya etkisi	59

3.10.2.1. Banyo Bileşimindeki "Boraks/Ferro-Silis" Oranının Borür Tabaka Kalınlığı ve Faz Yapısına Etkisi	59
3.10.2.2. Boraks, Ferro-Silis ve Kalsine Borik Asit Oranlarının Borür Tabaka Kalınlığı ve Faz Yapısına Etkisi	61
3.10.3 Banyo Bileşimine Bağlı Olarak Oluşan Bor'lu Tabakanın Özellikleri	66
3.10.3.1. Borür Tabakasındaki Fazlar ve Mikro Yapısı	67
3.10.3.2. Geçiş Zonundaki Fazlar ve Mikro-Yapısı	69
3.10.3.2.1. Geçiş Zonundaki Alaşım Elementlerinin Dağılımı	69
3.10.3.2.2. Geçiş Zonunun Otoradyografik Metodla İncelenmesi	72
3.10.3.3. Çeşitli Çeliklerin Borlanabilirliği ve Elde Edilen Borür Tabakasının Sertliği	74
3.10.3.4. Isıl İşlemin Bor'lu Tabakaya Etkisi	77
3.10.3.5. Korozyon Deneyi	84
3.10.3.6. Borlu Tabakanın Yayınma Kinetiği	85
3.10.3.6.1. Borür Tabakasının Yayınma Kinetiği	85
3.10.3.6.2. Geçiş Zonu Tabakasının Yayınma Kinetiği	92
4. SONUÇLARIN TARTIŞMASI	97
5. GENEL SONUÇLAR	101

6. EKLER	103
7. YARARLANILAN KAYNAKLAR	104
TEŞEKKÜR	
ÖZGEÇMİŞ	

ÖZET-

Bor ve bilesikleri, çelik sanayinde curuf yapıcı alaşım elementi ve yüzey sertleştirici olarak kullanılmaktadır. Türkiye'de bol miktarda bulunan bor mineralerinin metaleürjide deçerlendirilmesine yönelik olan bu çalışmada özellikle bor bilesikleriyle çeliklerde yüzey sertleştirme "BORLAMA" işlemi üzerinde durulmuştur.

Borla yüzeyi sertleştirilmiş çelik grubu malzemeler, borlu tabakanın çok sert (~2000vikers), aşınmaya dayanıklı ve sürtünme katsayısının çok düşük olması nedeniyle endüstriyel bir çok kullanım alanı bulmuşlardır. Borlu malzemelerin korozyon direnci, HCl asitde ve Al, Zn, Pb metallerinin sıvı banyolarında oldukça yüksektir.

Bor ile yüzey sertleştirme, esas olarak borun yüksek sıcaklıkta çeliçe yayınımı olayıdır. Bor kaynağının fiziksel durumu sıvı, gaz veya katı olabilir. Borlama banyosu ana bileşeni herhangi bir bor bilesiğidir. (B_4C , $Na_2B_4O_7$, B_2H_6 gibi). Bor yayınımı genel olarak çeliğin borlama ortamında 850-1000 °C sıcaklığta 2-6 saat bekletilmesiyle gerçekleşmektedir.

Borlu tabakanın özellikleri; Borlanan çeliğin bileşimi başta olmak üzere, borlama sıcaklığı ve süresi ile ilave ıslı işlemlere bağlıdır.

Borlamanın endüstriyel uygulaması için tek fazlı (Fe_2B) yapı veren ve bor yayındırma potansiyeli yüksek olan borlama ortamları gereklidir. Son senelerde uygulamaya konulan bu tür banyo bileşimleri geneilikle patentlerle korunmaktadır. Ülkemizde mevcut bor kaynaklarıyla borlama banyo-

sunun tesbiti bu çalışmanın ilk aşamasını oluşturmaktadır.

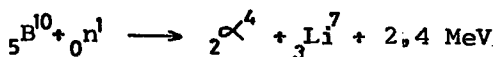
Deneysel çalışmalarında, borlama metodu olarak "sıvı ortam borlaması" ve borlama ana bileşeni olarak da "boraks" seçilmiştir. Tez, "Ülkemiz kaynaklarıyla borlama banyosu tesbiti" ve "elde edilen borlu tabakanın özellikleri" çerçevesinde sunulmuştur.

Deneysel çalışmaların birinci bölümünde, ana banyo bileşeni olan "Boraks'a, "Ferro-silis" ve "Ferro-silis+kalsine borik asit" ilavelerinin borlu tabaka faz yapısı ve kalınlığına etkisi araştırılmıştır. Deneysel, 940°C sıcaklıklı banyolarda AISI 1042 çeliğinin 5 saat süreyle borlanmasıyla gerçekleştirılmıştır. "Boraks+Ferro-silis" bileşimli banyolarla tek fazlı borür tabakası (Fe_2B) elde edilmiş ve banyodaki Ferro-silis miktarı arttıkça borlu tabaka kalınlığının artığı gözlenmiştir. "Boraks+Ferro-silis" sistemine kalsine borik asit ilavesi ise, borür tabaka kalınlığının 3-4 misli artırmıştır. "Boraks+Ferro-silis+kalsine borik asit" bileşimli banyolarla elde edilen borür tabakası faz yapısının sisteme kalsine borik asit miktarıyla ilgili olduğu; %18'den fazla kalsine borik asit ilavesinin borür tabakasında Fe_2B yanında FeB fazını da oluşturduğu tesbit edilmiştir.

Borlu tabaka faz yapısı ve çalışma koşulları bir arada gözönüne alındığında, borak'sa ilave edilen Ferro-silis'in %25'i ve kalsine borik asidin de %18'i geçmemesi önerilmiştir.

Deneysel çalışmaların ikinci kısmında borlu tabakanın özellikleri araştırılmıştır. Borlu tabakanın borür tabakası ve geçiş zonundan oluşturduğu tesbit edilmiştir. Geçiş zonunun varlığı, otoradyografi metodundan faydalananarak

aydınlığa kavuşturulmuştur.



reaksiyonuna dayanan otoradyografi metodunda α partiküllerini tesbit için selüloz asetat butirat (SAB) kullanılmıştır. Nötron ışınlamasından sonra SAB malzemesi, 60°C sıcaklığındaki % 28'lik KOH banyosunda 10-25 dakika süreyle dağılmıştır. Bu metodla geçiş zonundaki borun mikroskopik dağılımını SAB üzerine çıkarılmıştır. Alaşımlı ve yüksek karbonlu çeliklerde optik mikroskopla tesbit edilemeyen geçiş zonu, otoradyografi metoduyla tesbit edilebilmiştir. Yine bu metodla bor yayınınının, malzeme haddeleme yönüne paralel bir yönlenme gösterdiği de gözlenmiştir.

AISI 1042 çeliğinde elde edilen geçiş zonu ile ilgili diğer bir bulgu ise, borun bu zonda çeliklerde alaşım elementi olarak gösterdiği etkileri göstermesi olmustur.

Deneysel çalışmaların son bölümünde borlu tabakanın kinetiği araştırılmıştır. Bu seri çalışmalarında farklı iki banyo kullanılarak borur tabakası ve geçiş zonu kinetiği ayrı ayrı incelenmiştir. Farklı bileşimdeki banyoların borur tabakası büyümeye kinetiği açısından büyük farklılıklar gösterdiği belirlenmiştir. Önerilen optimum banyo kompozisyonunda AISI 1042 çeliğinin borlanmasıyla elde edilen borur tabakasının aktivasyon enerjisi değerinin 31 k.kal/mol K^0 olduğu belirlenmiştir. "Geçiş zonu tabaka kalınlığı zaman" bağıntısının ise logoritmik eksenlerde doğrusal (lineer) olduğu bulunmuştur.

ABSTRACT

Boron and its compounds can be used as an alloying element, slag maker and case hardener in the steel industry. Aim of this work primarily depends on the utilization of the Turkish boron mineral resources from metallurgical aspect, particularly boronizing of steel.

Boronizing results in some important improvements in the surface properties of steel. Among the advantages of boronizing, the increases in various engineering properties such as surface hardness up to around 2000 HV and a high resistance to frictional wear, oxidation, and corrosion can be particularly mentioned.

Boronizing is a diffusion process analogous to carburizing. However, unlike carburizing (in which there is a gradual transition) (in composition between the carbon-rich surface and the substrate) in boronizing, double-or single-phase boride layers of definite compositions having a characteristic morphology are formed. Boron source in the boronizing process can be either solid, liquid or gaseous. Main component of boronizing bath can be any boron compounds of minerals such as B_4C , $Na_2B_4O_7$, B_2H_6 etc. Boronizing of steels generally can be done at $850-1000^{\circ}C$ for 2-6 hours depending on the desired depth of the boride layer. Properties of boronized layer primarily depends on the chemical composition of steel, boronizing temperature, time and applied additional heat treatment after process.

For industrial applications of boronizing, the boronizing medium must have high boron diffusion potential which results in single-phase boride layer of Fe_2B . In past years, chemical composition of the boronizing baths are generally patented in the industry. Initial part of this work was carried on the optimization of bath composition by using the indigenous boron resources. For this purpose, molten borax baths with additives were chosen. Specimens were prepared from an AISI SAE 1042 steel rod 20 mm in diameter. They are boronized at $940^{\circ}C$ for 5 hours. Influence of addition of $NaCl$, SiC , B_2O_3 and Ferrosilicon in to the borax bath on the boride layer was systematically reported.

It is observed that addition of ferro silicon up to 30 % into the borax bath gives the single-phase boride layer of Fe_2B and thickness of the layer increases as the amount of ferro silicon increased. On the other hand, addition of calcine boric acid in to the borax and ferro silicon system caused an increase in boronized layer thickness about 3-4 times. Addition of calcine boric acid more than 18 % caused the appearance of FeB layer beside the Fe_2B was reported.

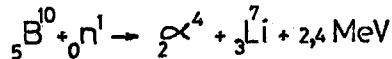
As the required boride phase and optimum working conditions are concerned, addition of not more than 25 % ferro silicon and 18 % calcine boric acid was recommended.

Second part of this work was mainly concerned with the search of the properties of boride layer and its underneath. To do this, hardness measurements, optical metallography, x-ray micro-analysis and α -autoradiography of cross sections of the borided samples were studied. Under the borided layer, the presence of a transition zone as much as an order of magnitude thicker than the borided layer was

observed. The micro structure and hardness of this zone are found to be sensitive to the cooling rates after boronizing. The other remarkable point in the transition zone was the presence of large grains (ASTM grain size No 2) than those in the core region (ASTM grain size 7)

The distribution of silicon over a cross section of the sample starting 60 μm below the surface through the core region was also studied. Although the boronizing bath used contains silicon, it was found that the silicon level is essentially the same across the sample and equal to the silicon level of the original material. From these observations it is concluded that the diffusion of silicon is negligible during the boronizing process.

Although boronized outer layers are visible under the optical microscope, the boron distribution in the sublayers cannot be determined non-destructively by conventional methods (such as microprobe analysis) because of the low atomic number of boron. The tracing of boron and its compounds in the steel matrix requires detection using methods which have a high sensitivity and a high resolution and are on a microscopic scale. The best technique for the solution of this α -autoradiography which is based on the well-known nuclear reaction



If an emitted α particle loses its energy in a solid nuclear track detector material, it leaves behind a latent track which can easily be revealed by chemical etching.

Although this technique has been employed previously in order to determine the boron distribution in some steels, no work has been found in the literature on the application of a solid state nuclear track detector in the study of boronized steel. In contrast, the physical mechanism of boron diffusion and the effects of boron on the solid state transformations remain unknown and have not been explained yet. This work aims at providing some data on the distribution, and hence the role, of boron in boronized steel.

Boronized specimens were mounted in a cold-setting resin with hard filler and were then fine polished. As a low background detector material for the detection for α particles released from the interaction of boron (^{10}B) nuclei with thermal neutrons, cellulose acetate butyrate (CAB) was selected. A piece of CAB film (a commercial product of Agar Aids, G. Britain) 100 μm thick is applied gently on the polished specimen surface which had been wetted with butanol. Care was taken to avoid trapping any bubbles which impair image quality. Replicated samples were dried under room conditions for 2 days. For neutron irradiation, specimens were enclosed in a water-proof aluminium capsule and irradiated in the revolving cavity of the reflector of the TRIGA Mark II reactor operated by the Institute for Nuclear Energy, Technical University of Istanbul, A thermal fluence of approximately 10^{15} nvt proved to be quite satisfactory in producing reproducible results with low background levels. After a cooling period of 2 days, the detector material was peeled off the irradiated specimen and etched in a 29% KOH bath at 333 K with intermittent rinsing and inspection under an optical microscope to avoid overdeveloping which increases the background. Under the given conditions the proper etching stage is reached at approximately 12 min, beyond 25 min,

overetching occurs.

Each specimen was accompanied by another unboronized steel specimen to observe the background effects of other radiation. The α tracks in the detector materials were studied by optical metallography, and the track densities were assessed by a Quantimet 720 system.

An autoradiography clearly show the presence of a large amount of boron segregation in addition to a fine distribution of boron in the transition zone. However, because of the low resolution of the optical microscope, the presence of ultrafine precipitation cannot be detected.

From the microscopic examination of solid state nuclear track detector replicas by comparing the track contrast of the well-identified FeB and Fe_2B layers with that of large unknown segregations of boron compounds in the transition zone, the latter is predicted to be Fe_2B . At present this technique does not permit the proper identification of fine boron precipitates, i.e whether they are boride or any other boron compounds.

The last part of this work is concerned about the influence of the bath composition on the kinetics of boronising. In these series of experiments two different boronizing bath one contain "66% borax, 14% calcine boric acid and 20% ferro silicon" and second contain "66% borax, 14% calcine boric acid and 20% SiC" was used and systematic information has been obtained on the rate of boronisation. Diffusion parameters were also calculated from the experimental data, for boride layer.

The findings of this investigation can be summarized as follows :

- 1) Optimum composition of the boronizing bath was found to be FerroSilicon 25%, calcine boric acid 18%, rest borax for boronizing at 940°C for 5 hours. The activation energy for boron diffusion at the boride layer was found to be 31 Kcal/Mole °K for AISI 1042 steel with recommended optimal bath composition.
- 2) Molten borax bath containing ferro silicon causes the formation of the single-phase of Fe_2B .
- 3) Addition of calcine boric acid in the borax-ferro silicon system increases the thickness of the boride layer about 3-4 times. However addition of more than 18% causes the appearance of FeB beside the Fe_2B .
- 4) There is a transition zone under the borided layer of boronized AISI-SAE 1042 steel. The microstructure and hardness of this zone are sensitive to the cooling rates after boronizing.
- 5) Boron can diffuse homogeneously into the regions underneath the borided surface layer, boron is present mainly in solid solution but also as excess boron precipitates (borides and / or borocarbides) at fault sites. This behaviors has been attributed to the presence of a marked boron-vacancy interaction.
- 6) The formation of the transition zone is typical of the effect of boron in solid solution, and the distribution

- X -

of boron compounds in this zone does not affect the transformation kinetics of austenite.

- 7) Although the boronizing bath contains silicon, the diffusion of silicon during the boronizing process is negligible.

SEMBOLLER

t : Zaman

d : Borür tabakası yayının derinliği

dg : Geçiş zonu kalınlığı

D : Yayının katsayısı (cm^2/sn)

c_o : Bor verici ortamın bor konsantrasyonu

D_o : Frekans faktörü (cm^2/sn)

Q : Aktivasyon enerjisi (K. Kal/mol)

R : Gaz sabiti ($1,987 \text{ K. Kal.Mol K}^0$)

T : Mutlak sıcaklık (K^0)

k ve n : Sabit

K : En küçük kareler metodunda doğruların noktalara uygunluk derecesini gösteren korelasyon katsayısı

1. GİRİŞ VE AMAÇ

Ülkemiz bor mineralleri bakımından zengin devletler arasında yer almaktadır. Doçal bor cevherlerinin rafinasyon ve kimyasal işlemlere tabi tutulmasıyla elde edilen mamüller, sanayinin birçok dalında kullanılmaktadır. Bor cevherlerinden elde edilen en önemli iki ürün "boraks" ve "borik asit" dir. Gelişmiş ülkeler, bu iki mamülden yüzden fazla bileşik elde ederek pekçok alanda kullanmaktadır.

Bor cevher rezervi yönünden yerkürede ön sıralarda yer almamıza rağmen, bu cevherlerin değerlendirilmesinde yetenekli durumda olduğumuz söylenemez. Yurdumuzda bor minerallerinden boraks, borik asit ve sodyum perborat üretilmektedir. Bu ürünlerden yeni bileşikler elde etme şöyle dursun, kullanımları klasik kimya ve cam sanayinden ileri götürülememiştir. Aslında bor bileşiklerinin nükleer alanda ve jet-roket yakıtından seramik sanayiine kadar kullanım alanı vardır.

Gelişmiş ülkeler son senelerde bor ve bileşiklerini çelik sanayiinde kullanmaya başlamışlardır. Bu sahada, bor başlıca üç kullanım alanı bulunmaktadır;

- a) Çelik üretiminde cüruf yapıcı olarak,
- b) Çeliklerde alaşım elementi olarak,
- c) Çeliklerde yüzey sertleştirici olarak,

Bu çalışmanın esas hedefi, Türkiye'de bol miktarda bulunan bor minerallerinin metalurjide değerlendirilmesine yöneliktedir. Bu amaçla özellikle bor bileşikleriyle çeliklerde yüzey sertleştirme, "BORLAMA" işlemi seçilmiştir.

Bor ile yüzey sertleştirme termo-kimyasal bir işlem olup esas olarak borun yüksek sıcaklıkta çeliğe yayınımidır. Bor kaynağı olarak (Borlama banyosu veya ortamı) herhangi bir bor bileşiği olabilir. Örneğin B_4C , $Na_2B_4O_7$, B_2H_6 , BCl_3 gibi. Borlama ortamı diğer ilavelerle birlikte sıvı, katı veya gaz halinde kullanılabilir. Çeliklere bor yayındırma ile genellikle çelik yüzeyinde tek fazlı demir borür (Fe_2B) tabakası elde edil hedeflenir. Borlanacak çelik ve borlama ortamının bileşimi konusundaki araştırmalar devam etmektedir.

Konunun 70-80 yıllık mazisi olmasına rağmen, ancak son senelerde endüstriyel uygulama alanı bulmuştur.

Bor ile yüzey sertlestirmenin diğer yüzey sertleştirme yöntemlerinden üstünlüğü; yüzey tabakasının çok sert (~ 2000 Vikers) olmasının yanısıra, sürtünme katsayısının düşük olması, bazı asit, baz, metal eriyikleri ve yüksek sıcaklık oksidasyonuna direnç göstermesidir. Ayrıca borlama işleminin alaşimsız çeliklere uygulanabilmesi ekonomik açıdan bir üstünlük teşkil etmektedir.

Literatür incelendiğinde, endüstriyel banyo bileşimlerinin patentlerle korunduğu, akademik çalışmalarındaki borlama ortamları bileşimlerinin ise ülkemizde üretilmeyen bir pahalı kaynaklardan (B_4C , Ferro-bor, amorf bor) oluştuğu görülmektedir. Gaz ve katı ortam borlama metodlarında kullanılan bileşikler (B_4C , BCl_3 , B_2H_6) yurdumuzda temini mümkün olmamıştır. Sıvı ortamda elektroliz metodu da pahalı ve henüz endüstriyel uygulaması olmayan bir işlemidir. Bu nedenle söz konusu borlama metodları çalışma alanı dışında bırakılmıştır. Sıvı borlama ortamının ana bileşeni olan "boraks" ülkemizde üretildiğinden borlama metodu olarak, "Normal sıvı ortam borlaması" seçilmiştir.

Bu Çalışmanın amacı, özellikle ülkemiz kaynaklarını kullanarak borlama banyosu bileşimi tesbit etme, elde edilen tabakanın özelliklerinin araştırılması ve borlama kinetiği ile ilgili parametrelerin tesbitidir.

2. KONUNUN TEORİK İNCELENMESİ

2.1. Bor Mineralleri Hakkında Genel Bilgi

Bor, yer kabuğunun bileşimine giren elementler içinde nadir olup doğada daha çok boratlar halinde bulunur. Tabiatta 60 kadar bor minerali olmasına rağmen, bunlardan sadece kolemanit ($\text{Ca}_2\text{B}_6\text{O}_{11} \cdot 5\text{H}_2\text{O}$), Tinkal ($\text{Na}_2\text{B}_4\text{O}_7 \cdot 10\text{H}_2\text{O}$) ve Üleksit ($\text{NaCaB}_5\text{O}_9 \cdot 8\text{H}_2\text{O}$) cevherlerinden ekonomik olarak bor ürünlerini elde edilebilmektedir.

Dünya bor rezervi 1,6 milyar ton civarındadır ve bu rezervin % 60'ı ülkemizdedir (1).

Günümüzde dünya borat üretiminin % 70'ini A.B.D. % 18'ini Türkiye ve % 12'sini de diğer ülkeler sağlamaktadır (2).

Boratlardan boraks ($\text{Na}_2\text{B}_4\text{O}_7 \cdot 10\text{H}_2\text{O}$), asit borik (H_3BO_3) ve sodyum perborat ($\text{NaBO}_3 \cdot 4\text{H}_2\text{O}$) olmak üzere üç ana ürün elde edilmektedir. Bu ürünlerin ülkelere göre üretim kapasiteleri dağılımı tablo 2.1'de verilmiştir. Gelişmiş ülkeler bu ana mamüllerden yüzün üzerinde bor bileşiği elde ederek sanayinin çeşitli alanlarında kullanmaktadır. Bu ürünlerden en önemlileri: Bor trioksit (B_2O_3), saf bor (B), Bor-karbür (B_4C), Bor-nitrür (BN), Di-boron (B_2H_6) ve Ferro-bor dur.

Tablo 2.1 - Dünya bor ürünlerini üretim kapasiteleri.
x1000 ton/yıl (3).

Ülke	Boraks	Borik asit	Perborat
A.B.D.	550	280	55
Batı Avrupa	50	135	650
Türkiye	55	25	20
Hindistan	20	--	10
Arjantin	15	--	--
Doğu Bloku	--	90	--
Diğerleri	30	15	--

Üretilen bor ve ürünlerinin % 30'unu A.B.D. ve % 64'ünü Avrupa, Japonya ve S.S.C.B. tüketmektedir (2). Bor ve ürünlerinin belli başlı tüketim alanları tablo 2.2 de verilmiştir.

Tablo 2.2 - Bor ve ürünlerinin tüketim sahaları ve % tüketim miktarları (1).

Tüketim Sahası	% Tüketim Miktarı
Cam ve Seramik Sanayii	50
Sabun ve deterjan Sanayii	10
Metalurji ve Emaye Sanayii	7
Tarım	6
Diğerleri	27

2.2. Saf Bor'un Fiziksel Özellikleri

Element olarak periyodik sistemin III. grubunda bulunan borun atom numarası 5, atom ağırlığı 10,82, Atom çapı $1,78 \text{ \AA}^{\circ}$ (4) ve ergime noktası $2400 \text{ }^{\circ}\text{C}$ 'tir.

Bor, $2,33 \pm 0,02 \text{ gr/cm}^3$ yoğunluklu kristal ve $2,3 \text{ gr/cm}^3$ yoğunluklu amorf olmak üzere iki şekilde bulunur (5). Kristalin borun kristal şekilleri ve kafes parametreleri Tablo 2.3 de verilmiştir.

Tablo 2.3. - Kristalin borun yapısı ve kafes parametreleri (5).

Kristal Şekli	Kafes parametreleri (\AA°)	
	b	c
Tetragonal	8,13	8,57
Hegzagonal	9,54	11,98

Tabii bor elementi % 18,83 oranında B^{10} ile % 81,17 oranında B^{11} izotoplarının karışımıdır.

Bor ve bazı bileşiklerinin sertlikleri Tablo 2.4'te verilmiştir.

Tablo 2.4. - Bor ve bazı bileşiklerinin sertlikleri (5).

Malzeme	Mohs Sertlik
Bor	9,3
Bor Karbür (B_4C)	9,32
Bor Nitrür (BN)	1,2
Eşmas (Standart)	10,0

2.3. Çeliklerde Bor Bileşikleri

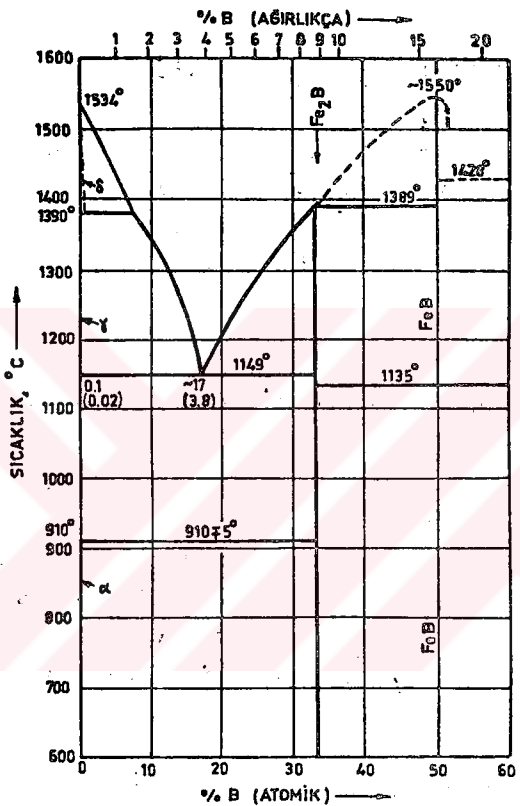
2.3.1. Çeliklerde Bor Erirliği

Borun atom çapı demirden % 25 daha küçük olduğundan bu elementte katı eriyik yapar (6). Demirde sıcaklığa bağlı olarak bor erirliği 20-80 ppm. ostenitte ise 55-260 ppm. kadarıdır (7). Bor ostenitte arayer katı eriyiği, α demirde ise yer alan katı eriyik yapar (7).

2.3.2. Çeliklerde Borür ve Bor-Karbürler

Çeliklerde合金 elementlerine bağlı olarak birçok borkarbür oluşur. Bor bileşiklerinin oluşumunda, atom çapı faktörü valans faktöründen daha etkindir (7). Nedeni de, borun atom çapının diğer arayer atomlarından (C,N,H) daha büyük olusudur. Çeliklerde bor konsantrasyonu yeterli ise B-B bağı oluşur ve bu bağın konfigürasyonu borür fazının kristal yapısını kontrol eder.

Şekil 2.1'de Fe-B ikili denge diyagramı görülmektedir. Fe ile B arasında Fe_2B (% 8,83 B), FeB (%16,23 B) bileşikleri ve $1149^{\circ}C$ ta, % 3,8 B bileşiminde bir ötektik nokta bulunmaktadır. Tablo 2.5. te Fe_2B ve FeB 'ye ait bazı özellikler verilmiştir.



Şekil 2.1. - Fe-B ikili denge diyagramı (8).

Tablo 2.5. - Fe_2B ve FeB 'nin bazı Özellikleri (9-12).

Özellik	BORÜR	
	Fe_2B	FeB
Ergime Noktası ($^{\circ}\text{C}$)	1390	1550
Mikro Sertlik (Vikers)	1600-1800	1800-2400
Uzama katsayısı ($1000\text{ }^{\circ}\text{C}$)	$8.0 \times 10^{-6} \text{ K}^{-1}$	$10-16 \times 10^{-6} \text{ K}^{-1}$
Termal iletkenlik ($1000\text{ }^{\circ}\text{C}$)	$0,2-0,3 \text{ W/cm } ^{\circ}\text{C}$	$0,1-0,2 \text{ W/cm } ^{\circ}\text{C}$
Küri (Curie) noktası ($^{\circ}\text{C}$)	742	325
Kristal Sistemi	Tetragonall Hacim Merkezli	Ortorombik
Kafes parametreleri (A°)	a: 5.075 b: 4.249	a: 4.053 b: 5.495 c: 2.946
Yoğunluk (gr/cm^3)	7.32	-

Yüksek karbonlu çelik ve dökme demirlerde $\text{Fe}_3(\text{B,C})$ ve $\text{Fe}_{23}(\text{B,C})_6$ formülüündeki bor karbür fazları oluşabilir. Bu fazlarda C ve B oranı değişebilmektedir (11). $\text{Fe}_3(\text{B,C})$, $\text{Fe}_3\text{C}'$ ye benzer olup ortorombik sistemdedir.

Alaşımlı çeliklerdeki borlu tabaka, latissteki Fe atomunun yerini alan alaşım elementlerini içerir (11). Bu tür çelikler yukarıdaki bileşikler yanında, alaşım elementlerine bağlı olarak Cr_2B , CoB , CoB_2 , TiB_2 , NiB_2 ve latis parametresi $10.62 \pm 0.02 \text{ A}^{\circ}$ olan kübik yapılı $\text{M}_{23}(\text{B,C})_6$ (M : metal) bileşiklerini de içerirler. Bor aynı zamanda çelik içinde bulunan V_4C_3 , NbC gibi karbürlerde de eriyik halde bulunabilir. Ni ve Cr, $\text{Fe}_2\text{B}'de$ Fe atomlarının yerini alarak erir (13).

2.4. Çeliklerde Alaşım Elementi Olarak Bor

Az alaşımılı çeliklerdeki bor, ostenitin dönüşümünü önemli derecede yavaşlatarak sertleşme kabiliyetinin yükseltmesine; ve çelik bünyesinde ince dağılmış olan AlN portiküllerini azaltması sonucu ise ostenit tane irileşmesine neden olur. Borlu çeliklerin özellikleri, bor elementinin bünyedeki dağılım şekli ve diğer alaşım elementleriyle olan etkileşimin bir fonksiyonudur. Borun çeliklerdeki optimum miktarı 3-30 ppm. dir (14).

Borlu çelikler, düşük alaşımılı (örneğin DIN 43CrMo4, 42CrMo4) çeliklerle kıyaslandığında:

- Düşük fiyat
- İyi sertleşme kabiliyeti
- Sıcak şekillendirmeden sonra (dövme, haddeleme) sertliği düşük olduğundan talaş kaldırma işlemi için ilâve ısıl işleme gerek olmaması
- İyi darbe direnci
- İyi kaynak kabiliyeti gibi üstünlükleri vardır, fakat buna mukabil
- Temperleme esnasında yumuşamaya karşı direnç
- Daha yüksek ostenitleme sıcaklığı
- İstense de belli bir sertleşme kabiliyetinden ileri gidememe ve bunun sonucu boyut kısıtlanması gibi sakıncaları mevcuttur.

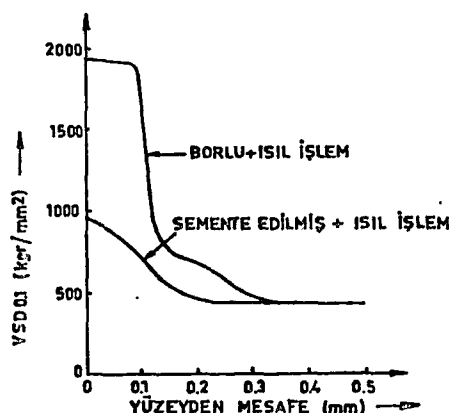
Ayrıca ostenitik paslanmaz çelik ile bazı süper alaşımlara az oranda bor ilavesinin (0-50 ppm), malzemelerin yüksek sıcaklık davranışlarına olumlu yönde etki ettiği bilinmektedir. (14)

2.5. Borlu Tabakanın Özellikleri

Borlama; demir grubu malzemelerin kopma mukavemetlerini % 10-20, yorulma dayanımını % 25 ve korozyonlu yorulma ömrünü % 200 artırmasına karşılık plastisite özelliklerini azaltır (11). Borlu tabaka özelliklerine ait çalışmalar daha ziyade sertlik, aşınma ve korozyon özelliklerine yöneliktir.

2.5.1. Sertlik

Borlamadaki en büyük kazanç sertliktir. Sertlik ölçme, mikro sertlik şeklinde ve tabaka kalınlığına bağlı olarak genellikle 25-200 gr.'lık yüklerle yapılır. Sertlik, ana malzeme cinsine ve yüzeyde oluşacak FeB veya Fe_2B fazlarına bağlıdır. FeB fazı Fe_2B 'den daha sert ve daha gevrektdir. Borlama ile elde edilen sertlik çeliklerde 2000, titanyumda ise 3000 vikerstir (15). Şekil 2.2'de borlu tabaka ve sementasyonlu tabakadaki sertlik dağılımları kıyaslanmıştır.



Şekil 2.2 - Borlu ve sementasyonlu tabakalardaki sertlik dağılımları (12).

Tablo 2.6'da borlama ve diğer metodlarla sertleştirilmiş tabakaların sertlik kıyaslamaları yapılmıştır.

Tablo 2.6. - Yüzeyi borla sertleştirilmiş malzemelerin diğer işlemlerle elde edilen sertliklerle kıyaslanması (5,16).

MALZEME	MİKRO SERTLİK (kg/mm^2)
Nitrürlenmiş yüzey	610-940
Gaz ile karbürize edilmiş yüzey	700-820
Sert krom kaplı yüzey	950-1100
WC+% 13 Co Sinter malzeme	1300
Borlu karbon çeliği	1600
Borlu AISI H13 çeliği	1800
" " A2 "	1900

Sertlik yönünden borlu tabakanın bir özelliği de, müteakip ısıl işlemlerle bu sertliğini muhafaza etmesidir. Segmentasyon ve borlama işlemine tabi tutulmuş AISI 1010 çeliğinin daha sonra farklı sıcaklıklarda ısıl işleme tabi tutulduktan sonra sertlik durumları tablo 2.7'de verilmiştir.

Tablo 2.7. - Yüzey işleminden sonraki ısıl işlemin tabaka sertliğine etkisi. Numuneler söz konusu sıcaklıklara kontrollü atmosferde ısıtılmış ve 30 dakika bu sıcaklıklarda bekledikten sonra havada soğutulmuştur. Sertlikler oda sıcaklığında 30 gr.'lık yüklerle vikers olarak alınmıştır (9).

Sıcaklık (C°)	AISI 1010 Çeliği	
	Sementasyonlu tabaka sertliği	Borlu tabaka sertliği
200	680	1680
400	380	1500
600	330	1600
800	220	1575
1000	200	1565

Tablo 2.7'den anlaşıldığı gibi yüzey işleminden sonraki ısıl işlem, sementasyon tabakasını yumusatırken borlu tabaka sertliğin etki etmemektedir. Borlu tabaka sertliğini 900°C' lara kadar muhafaza etmektedir (17).

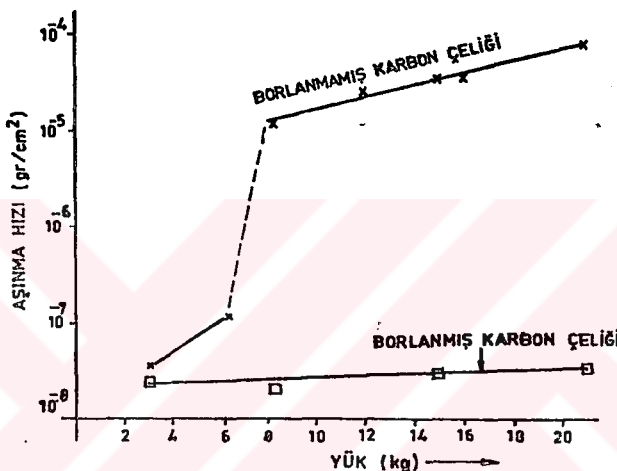
2.5.2. Aşınma

Aşınma direnci için, malzemenin aşındırıcıdan daha sert ve sürtünme katsayısının düşük olması istenir (18). Borlama ile bu özellikler geniş ölçüde sağlanabilmektedir. Borlu yüzeylerde teflona yakın sürtünme katsayıısı elde edilebilmektedir (19). Tablo 2.8'de sürtünme katsayıısı yönünden borla yüzeyi sertleştirilmiş bazı malzemelerin borsuz durumlarıyla kıyaslanmıştır.

Tablo 2.8. - Bazı malzemelerin sürtünme katsayılarının kıyaslanması (19).

MALZEME	SÜRTÜNME KATSAYISI	
	BORLU	BORSUZ
Düşük Karbonlu Çelik	0.17-0.19	0.585-0.595
Takım Çeliği	0.07-0.04	0.16-0.18
WC + Co Sinter malzeme	0.1939-0.2335	0.2617-0.2773

Darbesiz aşınmanın yer aldığı uygulamalarda, borla yüzeyi sertleştirilmiş malzemeler başarılı bir şekilde kullanılmaktadır. Borlu takım çeliğinin, su ile sertleştirilmiş durumdan 3 defa daha aşınmaya dayanıklı olduğu söylenmektedir (20). Paslanmaz çelik için derin çekme kalibi (Drawing Punch) 60 Rc sertlik ve yüzeyi 0,005-0,008 mm sert krom kaplı AISI A6 çeliğinden yapıldığında tahrip olmadan 2000 parça; aynı çelik, yüzeyi borla sertleştirilmişken 50 000 parça ürettiği iddia edilmektedir (21). Diğer bir araştırmada ise (22), düşük karbonlu çeliklerin derin çekme işleminde borlu kalıpların ömrülerinin borsuzdan 85 defa daha yüksek olduğu ileri sürülmektedir. Standart "Pim-disk" aşınma makinasında (standart pin-disc machinery) pim olarak borlu AISI 1116, disk olarak AISI E4340 çeliğiyle borlu ve borsuz durumların aşınma kıyaslanması Şekil 2.3'de verilmiştir.



Şekil 2.3. - Yüzeyi borlu ve borsuz AISI 1116 çeliğinin yükle karşı aşınma davranışları (18).

Şekil 2.3'deki borsuz malzemede, 7 kg'luk yükle oksidasyon, 7 kg'dan sonra ise adhezyon aşınması hakim olduğundan eğride bir kırıkkılık görülmektedir. Borlu malzemede ise, aşınma son derece az olmakta ve eğride bir kırıkkılık görülmemektedir.

Sinterlenmiş "WC+Co" sinter malzemesinden yapılmış tel çekme kalibi borlanınca ömrü yaklaşık 10 kat arttığı iddia edilmektedir (18). Kalının ömrü geniş ölçüde tel çekilecek malzemenin cinsine de bağlıdır. Tablo 2.9'da tel çekmede kullanılan WC+Co sinter malzemesinin ömrüne borlamanın etkisi görülmektedir.

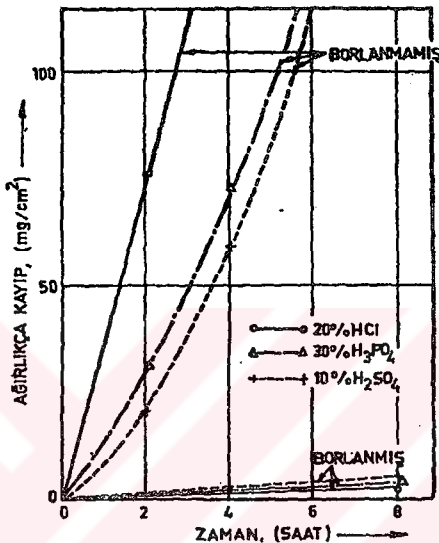
Tablo 2.9. - "WC+Co" sinter malzemesinden yapılmış tel çekme kalıbı ömrüne borlama ve tel cinsinin etkisi (18).

TEL CİNSİ	KESİT DARALMASI (%)	KALIP TAHRİP OLmadAN ÇEKİLEBİLEN TEL BOYU (km)	
		Borlanmamış kalıp	Borlanmış kalıp
% 0,5 C'lu çelik	21	230	1320
AISI 316 Paslanmaz Çelik	17	132	1205

Bor'un oksijene anfinitesi fazla olduğundan yüzeyde koruyucu ince bir oksit filmi oluşturmaktır, bu oksit filmi yüzeyde yaşılayıcı vazifesi görerek, sürtünmeli aşınma esnasında sürtünme katsayısını düşürürken, yüzeylerin birbirine kaynamasını da önler (18). Kaymалı sürtünmelerde aşağı çıkan ısı, semente edilmiş tabakanın yumuşamasına neden olurken borlu tabakaya etki etmez (9).

2.5.3. Korozya Karşı Dayanıklılık

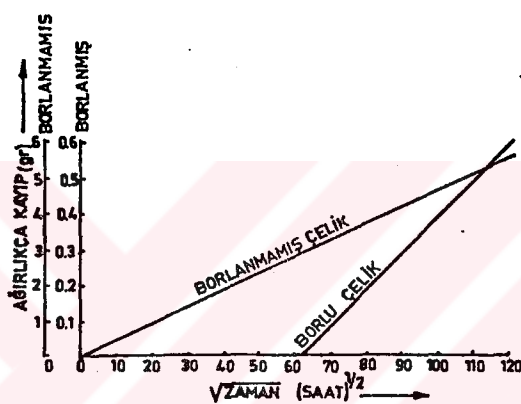
Demir grubu malzemelerin borlanması, atmosferik korozya karşı az, fakat bazı asit ve sıvı metallere karşı büyük dayanıklılık kazandırır. Özellikle HCl asit, Al, Pb ve Zn metallerinin sıvı banyolarında borlu malzemelerin korozyon direnci çok yüksektir. Borlanmış ve borlanmamış AISI 1045 çeliğinin 56 °C'taki değişik asit ortamlarındaki korozyonu Şekil 2.4'te görülmektedir.



Şekil 2.4. - AISI 1045 çeliğinin 56 °C'taki % 20 HC1, % 30 H₃PO₄ ve % 10 H₂SO₄ asitlerinde zamana bağlı korozyon durumu (23).

Yüksek Cr'lu çeliklerde borlama ile koruyucu krom oksit yerine daha az koruyucu olan Cr-borür meydana gelmektedir. Bu bakımdan yüksek alaşımlı malzemelerin borlanmasıyla daha iyi korozyon özellikleri her zaman elde edilebilir.

Borlu malzemeler bazı sıvı metal korozyonuna karşı da başarıyla kullanılmaktadır. Şekil 2.5'de, sade karbonlu bir çeliçin borlanmış ve borlanmamış haliyle sıvı Zn banyosunda ki korozyon kıyaslanması görülmektedir.



Şekil 2.5! - Borlanmış ve borlanmamış sade karbonlu çeliğin sıvı çinko banyosundaki korozyonu (8).

2.6. Borlama Metodları

Borlama esas olarak yayınma işlemidir. Bor kaynağıının fiziksel durumu sıvı, gaz veya katı olabilir. Genel olarak çelik, borlama ortamında 850-1000 °C sıcaklığında 2-6 saat bekletilerek borlama işlemi gerçekleştirilir. Borlama ortamı, bor kaynağı (B_4C , $Na_2B_4O_7$, H_2B_6), aktivator (KBF_4), dolgu veya deoksidantlardan oluşur. Aktivatörler tabakanın büyümesi düzenliliğine etki eder. Dolgu ve deoksidantlar, borlama sıcaklığında oksijeni tutarak redükleseyici bir ortam oluştururlar, ayrıca borlama maddelerinin ana malzemeye yapışmasını önerler. Bor kaynağının fiziksel durumuna göre borlama işlemi aşağıdaki gibi sınıflandırılır.

2.6.1. Katı Ortamda Borlama

Yüzeyi borlanacak malzeme, toz halindeki bor verici ortam içine genellikle 900-1000 °C sıcaklıklarda 4-10 saat bekletilerek borlama işlemi yapılır. Bir tür kutu sementasyonuna benzeyen bu metod soy gaz atmosferinde yapılabileceği gibi sıkı kapatılmış kutularda olmak şartıyla normal atmosferde yapılabılır. Sistem ucuzdur ve özel teknik gerektirmez.

Borlama ortamının ana bileşeni bor karbür (B_4C), amorf bor ve Ferro-bor'dur. B_4C diğerlerine nazaran ucuz olduğundan tercih edilir. Tablo 2.10'da bu maddelerin bazı özellikleri verilmiştir.

Tablo 2.10. - Katı ortam borlamasında kullanılan maddelerin bazı özellikleri (2).

Malzeme	Molekül Ağırlığı	Teorik Bor miktarı (%)	Ergime Sıcaklığı (°C)
Amorf Bor	10.82	95-97	2050
Ferro-Bor	-	17-19	-
Borkarbür	55.29	77.28	2450

Ana borlayıcı kaynağı ilave olarak NH_4Cl , BaF , NaBF_4 NH_4F , Na_2CO_3 , KBF_4 ve Na_2AlF_6 gibi aktivatörler kullanılır.

Çeşitli araştırmacılar aşağıdaki banyo bileşimleri- ni kullanarak katı ortamda borlama çalışmaları yapmışlardır.

- Ferro-bor + % 10-15 NBF_6 (24)
% 50 amorf bor + % 1 Amonyum biflorid + % 49 Al_2O_3 (16)
% 5 NaF + % 95 B_4C (25)
% 20 Na_2CO_3 + % 80 B_4C (26)
% 33 Amorf Bor + % 2 NH_4Cl + % 65 Al_2O_3 (12)
% 80 B_4C + % 20 Magnetit (27)
% 98-99 B_4C + % 1-2 florur (NaF , KBF_4 , NH_4F) (11)
% 100 B_4C (27)
 B_4C + $\text{Na}_2\text{B}_4\text{O}_7$ (28)
Amorf Bor + HCl (gaz) (28)
% 84 B_4C + % 16 $\text{Na}_2\text{B}_4\text{O}_7$ + % 1,5 NaCl + % 1,25 NH_4Cl (27)

2.6.2 Sıvı Ortamda Borlama

Borlama şartlarında ortam sıvıdır. Borlanacak malzeme, 800-1000 °C sıcaklığındaki bu ortamda 2-6 saat bekletil-

lerek bor yayınımı gerçekleştirilir. Banyonun esas bileşenleri ve özellikleri tablo 2.11'de verilmiştir.

Tablo 2.11. - Sıvı ortam borlamasında kullanılan ana bor kaynakları ve özellikleri (12).

Malzeme	Formül	Molekül ağı.	Teo. Bor mikt. (%)	Ergime sıcak. (°C)
Boraks	$\text{Na}_2\text{B}_4\text{O}_7 \cdot 10\text{H}_2\text{O}$	381.42	11.35	-
Susuz Boraks	$\text{Na}_2\text{B}_4\text{O}_7$	201.26	21.50	741
Metabor asidi	HBO_2	43.83	24.69	-
Sodyum bor florid	NaBF_4	109.81	9.85	-
Borik oksit	B_2O_3	69.64	31.07	450
Borkarbür	B_4C	55.29	78.28	2450

Sıvı ortama elektrik akımı (elektroliz) uygulanarak da borlama işlemi yapılabilir. Buna göre sıvı ortamdaki borlama "Elektroliz" ve "normal sıvı ortam borlaması" olmak üzere ikiye ayrılır.

2.6.2.1. Normal Sıvı Ortam Borlama Metodu

Ortamin esas bileşeni borakstır. Aktivatör olarak B_4C , SiC , Zr , B kullanılır. İşlem ucuzdur ve fazla ihitisas istemez. Termal şok, borlamadan sonra parçanın temizlenmesi, büyük boyutlu ve kompleks parçalara uygulanamaması metodun kötü yönleridir. Çalışma sıcaklığı $800-1000$ °C ve borlama süresi 2-6 saattir.

Aşağıdaki banyolar kullanılarak demir grubu malzemelerde borlama çalışmaları yapılmıştır.

% 10 Boraks + % 40 B ₄ C	(29)
% 73-79 Boraks + % 15 - 20 NaCl + % 6-7 B	(24)
% 70 Na ₂ B ₄ O ₇ + % 30 SiC	(30)
% 65 (% 85 Na ₂ B ₄ O ₇ + % 55 NaCl) + % 35 Kalsit	(30)
NaCl + BaCl ₂ + B ₄ C	(28)
NaCl + B ₄ C	(28)
NaCl + NaBF ₄ + B ₄ C	(28)

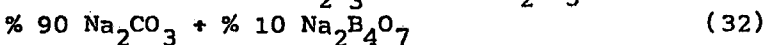
2.6.2.2. Elektroliz Metodu

İşlem, yüksek sıcaklıkta tuz banyosu elektrolit kullanılarak yapılan bir elektroliz uygulamasına benzer. Katot olarak iş parçası, anot olarak grafit kullanılır. Akım yoğunluğu 0,2-0,7 A/cm², voltaj 2-14 volt olarak uygulanır. (24, 31, 17). Normal sıvı ortam borlama metodunun olumsuz yönlerine ilaveten tesisat pahalıdır ve karışık şekilli parçalarda homojen kalınlık tabaka elde etme zorluğunu vardır. İşlem 800-1000 C° sıcaklıklarda 0,5-5 saat süreyle yapılır.

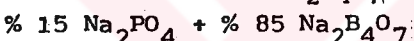
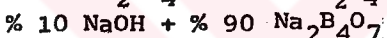
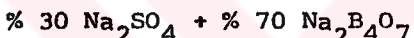
Elektrolitin ana bileşeni boraks ve borik asittir. (32). Ana bileşene ilaveten aşağıdaki aktivatörler kullanılır. NaF, NaCl, NaF + B₂O₃ (8); B₂O₃ + Na₂CO₃ (24); Na₂PO₄, Na₂SO₄, NaOH (31); B₄C + B₄C + NaCl (32); B₂O₃ + MF, B₂O₃ + MOH, B₂O₃ + M₂CO₃ (M=Li, Na, K) (33).

Bu aktivatörlerden ayrıca banyonun akışkanlığını artırması istenir.

Çeşitli araştırmacılar aşağıdaki banyoları kullanarak elektroliz metotla borlama çalışmaları yapmışlardır.



Lyakhovich L.S ve arkadaşları (31) aşağıdaki banyo bileşimlerini, $0,2 \text{ A/cm}^2$ akım yoğunluğu, $600-700^\circ\text{C}$ sıcaklık ve 2-6 saat şartlarını kullanarak sade karbonlu çelikte 15-70 μm kalınlıklı borlu tabaka elde etmişlerdir.



2.6.3. Gaz Ortamda Borlama

Bor taşıyabilen gazlar, bor halojenürleri veya bor hidrürleridir. Bunlardan di-boran (B_2H_6), H_2 ile beraber uygulanırsa çok olumlu neticeler verir, fakat zehirli ve patlayıcıdır. Trimetil bor ($\text{CH}_3)_3\text{B}$ ise; borlama ile birlikte C yayımına da sebep olarak tabaka kalitesini bozar. Ortamın zehirliliği, patlama tehlikesi ve tesisatın pahalı oluşu prosesin kötü yönleridir. Tablo 2.12'de gaz halindeki borlayıcı bileşikler ve bazı özellikleri verilmiştir.

Tablo 2.12. - Gaz halindeki bor bileşikleri ve bazı özellikleri (12).

Malzeme	Formül	Molekül ağırlığı	Teorik Bor mik.	Donma noktası (°C)
Bor triflorid	BF_3	67.82	15.95	-128.8
Bor triklorid	BCl_3	117.9	9.23	-107.3
Bor tribromid	BBr_3	250.57	4.32	-46
Di-boran	B_2H_6	26.69	39.08	-165.5
Bor trimetil	$(\text{CH}_3)_3\text{B}$	55.92	19.35	-161.5
Bor trietil	$(\text{C}_2\text{H}_5)_3\text{B}$	98.01	11.04	-94

Gaz ortamın bileşimi, basıncı ve gazın tanktan akış hızı borlamayı etkiler. Aşağıdaki bileşimler kullanılarak borlama çalışmaları yapılmıştır.

$\text{BCl}_3 / \text{H}_2 = 1/15$	(11,35)
B_2H_6	(20)
$\text{B}_2\text{H}_6 / \text{H}_2 = 1/50$	(10)
$\text{BCl}_3 + \text{H}_2$	(10,28)
$(\text{C}_2\text{H}_5)_3\text{B}$	(28)

2.7. Borlu Tabakanın Yapı ve Bileşimi

Borlu tabakanın özellikleri, borlanan malzemenin bileşimi başta olmak üzere, bırlama ortamı, sıcaklık, zaman ve ilave ısıl işlemlere bağlıdır. Çeliklerde bırlama ile başlıca iki tabaka oluşmaktadır; a) Borür tabakası ve b) Geçiş zonu. Şekil 2.6'da bu iki tabakanın mikro yapısı görülmektedir.



Şekil 2.6. - AISI-SAE 1042 çeliğinin bırlamadan sonraki kesit mikro yapısı 16X, (36).

2.7.1. Borür Tabakası

Borür tabakası alaşimsız çeliklerde bırlama şartlarına bağlı olarak FeB ve/veya Fe_2B den oluşur. Alaşimli çeliklerde ise, borür tabakası 2.3.2'de açıklanan bileşiklerden biri veya bir kaçını ihtiva edebilir.

2.7.2. Geçiş Zonu

Düşük konsantrasyonlardaki bor'un analiz zorluğu ve geçiş zonunun optik mikroskopta görülememesi nedeniyle bu tabaka bir çok araştırmacı tarafından fark edilememiştir, varlığını tesbit edebilen araştırmıcılarda söz konusu tabaka hakkında tam bir görüş birliğine varamamışlardır. Geçiş zonu hakkında bazı bilgiler aşağıda derlenmiştir.

Lovshenko F.G. ve arkadaşları (37), geçiş zonunun borür tabakasından 3-3,4 defa daha kalın olduğu ve ana malzemeye göre daha fazla perlit içerdığını ileri sürmüştür.

Bu zonun oluşumu ile ilgili görüşler, karbonun borür tabakasından içeriye doğru itilmesini kapsamaktadır (37-38).

% 0,38 C'lu çelikte borür tabakası altında % 100 perlitik yapıda bir tabakanın olduğu görülmüştür. Bu, borlama esnasında karbonun borür tabakasından matrikse doğru yayınmasından kaynaklandığına inanılmaktadır (13).

Permyakov V.G (20), DIN 1.1625 ve U12^x çeliğindeki C'nin bor tarafından derine itilerek geçiş zonunda B' ile Fe₃ (B, C) bileşigi yaptığı iddia edilirken; Epik A.P (11) ve Witold Liliental (38) ise, Geçiş zonunun esas yapısının içinde B erimiş demir olduğu ileri sürülmüştür.

POK V.I. (39), söz konusú tabaka için "Karbonca zengin zon" tabiri kullanarak bu tabakanın kalınlığının alaşım elementi arttıkça azalacağı görüşünü savunmuştur.

^x SSCB. Standardı (%1,15-1,24C, %0,15-0,35 Si ve Mn, %0,0035max.P, 0,00305 max., %0,20 Cr, %0,25 Ni, %0,25 Cu)

Von G.W (40) tarafından ise, Borür tabakasının altında % 0,003-0,005 B içeren çözünmüş bir difüzyon bölgesi olduğunu fakat bu bölgenin metalografik olarak ispat edilemediğini açıklamıştır.

Bir başka çalışmada ise (41), bırlama esnasında ana metal bünyesindeki elementlerin yer değiştirdiği ve C'nin yüzeyden alta sürüklenecek borür tabakası altında geçiş zonu oluşturduğu kaydedilmiştir.

2.8. Borlu Tabakanın Kalınlığı

Teorik olarak tabaka kalınlığı sınırsızdır. Bu da işlem süresinin ve/veya sıcaklığın artması sayesinde olur. İşlem sıcaklığının Fe-B denge diyagramındaki ötektik sıcaklığının (1149°C) altında olması gereklidir. Bu sıcaklığın üzerindeki sıcaklıklar lokal erimeler yaparak malzeme yüzeyinin bozulmasına neden olur. Zaman faktörünün ekonomik yönünden mantıklı bir değeri geçemeyeceği aşıkârdır. Kalınlığın artmasını sınırlayan diğer bir faktörde kırılmanızdır. Bırulan tabakanın kırılmanızı, kalınlık arttıkça artar (15). Dolayısıyla çelik esaslı malzemeler için $20-200 \mu\text{m}.$ 'lik kalınlık, kullanma şartlarına, su verilip verilmeme ve bırlanan malzeme cinsine göre ayarlanır. Kırılmanız yönünden alaşımlı çeliklerde maksimum $100 \mu\text{m}$ alaşimsız çeliklerde $150-200 \mu\text{m}$ kalınlığa; hatta darbesiz aşınmaya maruz kalacak parçalarda su vermemesi koşulu ile $400 \mu\text{m}.$ 'lik kalınlığa kadar çıkalabilmektedir.

Bırlama sıcaklığının artması tabaka kalınlığını arttırması yanında poroziteyi de artırarak tabakanın gevrek olmasına neden olur (20).

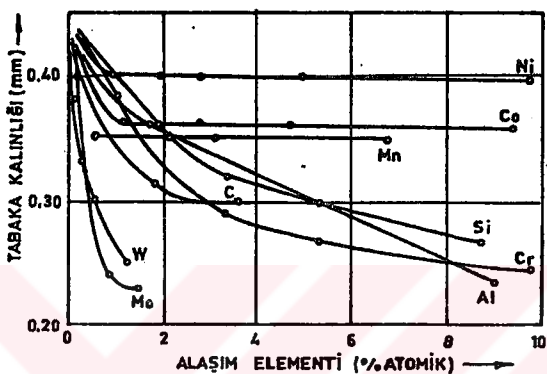
2.9. Borlanabilen Malzemeler

Borlama işlemi gerek toz ve gerekse diğer metodlarla üretilen bütün ferro alaşımına uygulanabilmektedir. Refrakter metaller (W, Ta, Mo, Zr, Hf, Nb), karbürler (özellikle Co ile bağlı WC) ve Ni esaslı alaşımlara başarı ile uygulanarak özel yapıda borlu tabakalar elde edilebilmektedir. (42, 43). Ti ve Ti esaslı alaşımlara bor yayınımlı ile aşınma dayanıklı TiB_2 tabakası elde edilebilmektedir (42, 44).

Yeni geliştirilen metodlarla Cu ve alaşımlarına da tatbik edilebilmektedir, fakat düşük ergime sıcaklığına sahip Zn ve Al'a uygulanamamaktadır.

2.10. Alaşım Elementlerinin Bor Yayınımına ve Borur Tabaka Geometrisine Etkisi

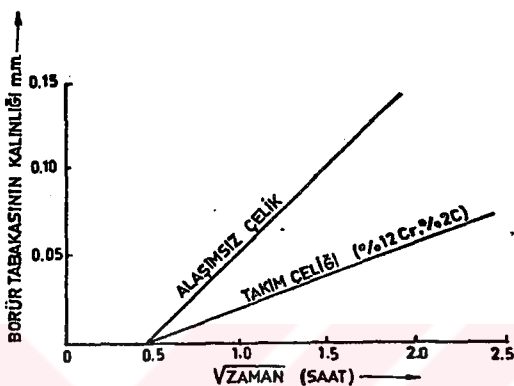
Genel olarak alaşım elementleri çelikteki bor difüzyonunu yavaşlatarak tabaka kalınlığını azaltmaktadır (9, 10, 28, 29). Şekil 2.7'de %'de alaşım elementi miktarının borur tabakası kalınlığına etkisi görülmektedir.



Şekil 2.7. - % Alaşım elementleri miktarının borür tabakası kalınlığına etkisi (29).

Alaşım elementlerinin diğer bir etkisi de, borür tabakasının sertliğini artırması (20) ve Fe-B denge diyagramındaki ötektik noktayı aşağıya kaydırmasıdır. Fe-B sisteminde, %1 C ötektik sıcaklığını 50°C kadar düşürmektedir (12).

Çelik içinde C ve Si miktarı arttıkça FeB stabilitesi azalmakta, % 1,2-1,25 C'lu çelikte FeB tamamen yok olmaktadır (20, 45). Periyodik tablonun aynı bölgesinde yer alan Si, P, N, Ti, V, Nb, Ta'da karbon gibi etki etmektedir (20). V'nin % 0,15'i geçmemesi istenir (46), Cr, Mo, W, Mn, Ni'nin FeB ve $\text{Fe}_2\text{B}'ye$ etkisi aynıdır ve alışıla gelmiş konsantrasyonları için bor difuzyonuna etkisi ihmal edilebilir. Ayrıca bu alaşım elementlerinden W, Mo ve Cr'un miktarı çelik içinde arttıkça borlanmış parçanın yüzey pürüzlülüğü azalır (45). Şekil 2.8'de eşit şartlarda borma işlemiyle, alaşımı (takım çeliği) ve alaşımsız çeliklerde elde edilen tabaka kalınlığı grafik olarak görülmektedir.



Şekil 2.8 - Alâsimli ve alâsimsız çeliklerde eşit şartlarda borlama ile elde edilen borür tabaka kalınlıkları (8).

Alâsimli çeliklerin borlanması sırasında alâsim elementlerinden Cr, Ni ve Mn'nin Fe_2B 'de konsantrasyonu saptanmıştır (39).

Dikkati çeken bir nokta da, borür tabakasının karbon içermemesi ve silisyum çözünürlüğündeki düşük olmasına rağmen, borlama esnasında Si ve C, borür tabakası tarafından içeri doğru itilerek geçiş zonunda C ve Si zenginleşmesine yol açtığı ileri sürülmüştür (40). % 1'in üzerinde Si içeren çeliklerde borür tabakası altında silisyumca zengin bir tabaka görülmekte ve bu ferrit çukuru olarak adlandırılmaktadır. Özellikle darbe ve lokal basınçlara maruz kalan borlanmış parçalarda Si içeriği % 0,7'nin altında olması istenir (40).

Alaşım elementleri, tabaka kalınlığını azaltırken tabaka geometrisinde değişikliğe uğratırlar. Bor'un ostenit fazı kristallerinin c ekseni yönündeki yayınımı diğer eksenlerden daha hızlıdır (16, 22, 27).

Bu anizotropik davranış, c eksene paralel bir yönlenme oluşturarak FeB - Fe_2B ve Fe_2B -ana metal arasındaki sınırı girintili çıkışlı (testere dışı şekli) yapar. Bu tür yayınma, borür tabakasının ana metale bağlantısını kuvvetlendirirken, sınırındaki kalıntı gerilmenin daha geniş bir alana yayılmasını sağlar (16, 9). Çelik bünyesindeki alaşım elementleri özellikle C, Ni ve Cr, bor difüzyonunun tercihli yönlenmesini etkileyerek tabaka-ana metal arayüzeyini çizgisel şekilde sokar. Şekil 2.9'da aleshimsiz ve aleshimsız çeliklerde borür tabakasının geometrisi görülmektedir.



Aleshimsiz Çelik



Aleshimsiz Çelik

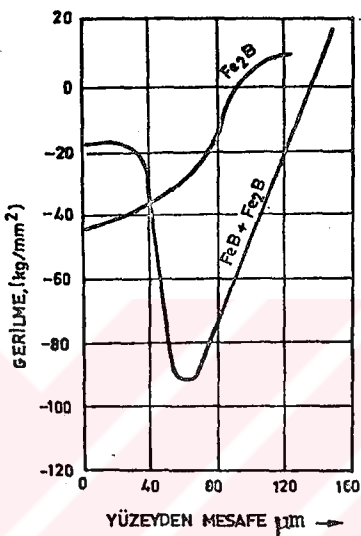
Şekil 2.9 - Aleshimsiz ve aleshimsız çeliklerde borür tabakasının geometrisi 240x (47).

Borür tabakası ile ana malzeme arasındaki ideal bağlanma olan girintili çıkışlı arayüzey, aleshimsiz ve az aleshimsiz çeliklerde olabilmektedir.

2.11. Borür Tabakasındaki Kalıntı Gerilmeler

Borür tabakasının mekanik özelliklerini kalıntı gerilme ile ilgilidir. Isıl işlem, malzeme cinsi ve bırlama şartlarına bağlı olarak, borür tabakası ve tabaka-ana metal arası yüzeyinde iç gerilmeler oluşur. Tabakanın faz yapısı (çift fazlı $Fe_2B + FeB$, tek fazlı FeB) ve geometrisi (girintili çirkintili veya düz oluşu), iç gerilmelerin tabakada yapacağı hasara etki eder. İdeal tabaka için tek faz (Fe_2B) ve iç gerilmenin daha geniş bir alana yayılması için tabaka geometrisinin girintili çirkintili olması arzu edilir. Tabakanın Fe_2B yanında FeB de içermesinin sakıncası, iki tabakada da farklı yönlenmiş iç gerilmelerin oluşmasıdır. İç gerilmeler

Fe_2B 'de basma, FeB 'de ise çekme gerilmesi şeklindedir (23). Fe_2B ile FeB arasında -90 kg/mm^2 kadar bir basma gerilmesi olusabilemektedir (48). Bu tür gerilmeler tabakanın çatlamasına ve FeB tabakasının dökülperek malzeme yüzeyinin bozulmasına neden olur. Tek fazlı ve çift fazlı borür tabakasındaki iç gerilme dağılımları Şekil 2.10'da verilmiştir. İç gerilmenin nedeni FeB , Fe_2B ve ana malzemenin termal uzama katsayılarının farklılığındandır (48, 49). Bazı malzemelerin termal uzama katsayıları Tablo 2.13'de verilmiştir.

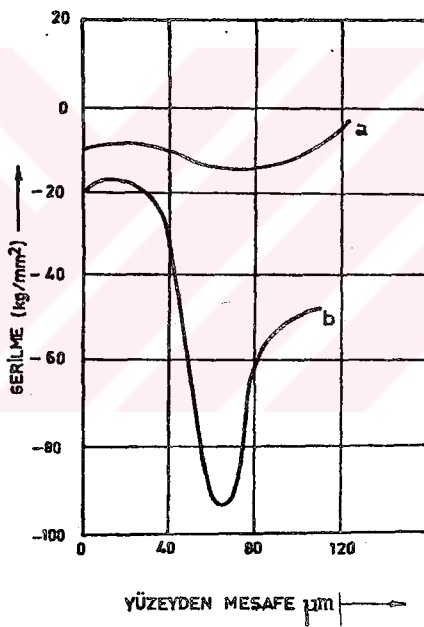


Şekil 2.10' - Tek ve çift fazlı borür tabakasındaki kalıntı gerilme dağılımı (48).

Tablo 2.13. - Borür tabakasındaki fazlarla, çelik ve saf demirin değişik araştırmacılar tarafından verilen termal uzama katsayıları

MALZEME	Termal Uzama Katsayıısı		
Fe_2B	$7.85 \times 10^{-6} \text{ } \text{C}^{\circ-1}$	$8.7 \times 10^{-7} \text{ } \text{C}^{\circ-1}$	$8 \cdot 10^{-6} \text{ } \text{K}^{-1}$
FeB	$23 \times 10^{-6} \text{ } \text{C}^{\circ-1}$	$11.53 \times 10^{-6} \text{ } \text{C}^{\circ-1}$	$10-16 \times 10^{-6} \text{ } \text{K}^{-1}$
Saf Demir	$15.6 \times 10^{-6} \text{ } \text{C}^{\circ-1}$	-	-
Çelik	-	$12 \times 10^{-6} \text{ } \text{C}^{\circ-1}$	-
Referans	(49)	(48)	(9)

Borlamayı müteakip uygulanan ıslı işlem borür tabakasının iç gerilme durumuna etki etmektedir. Soğuma hızı arttıkça iç gerilmeler azalmakta ve en yüksek iç gerilme borlamadan sonra fırında soğutma ile meydana gelmektedir. Şekil 2.11'de borlamadan sonraki soğutma hızının iç gerilme dağılımına etkisi görülmektedir.



Şekil 2.10. - AISI 1045 çeliğinde borlamadan sonraki ıslı işlemin borür tabakasındaki iç gerilmelere etkisi. a) $840\text{ }^{\circ}\text{C}$ den suda soğutulmuş b) $840\text{ }^{\circ}\text{C}$ dan oda sıcaklığına fırında soğutulmuş (48).

Olayın açıklaması; borlamadan sonraki soğuma hızının sonucu ana yapının martensite dönüşmesiyle oluşan hacimsal değişik-

likler, tabakadaki iç gerilmeleri dengeleyerek bu gerilme değerlerinin düşmesine neden olduğu sanılmaktadır (48). Permyakov V. G. ve arkadaşlarına (20) göre de, borür tabakanın yüzeyinde $20-30 \text{ kg/mm}^2$ olan basma gerilmesinin değeri, içe doğru 60 kg/mm^2 'ye erişmektedir. Su verme ile yüzeydeki basma gerilmesi $30-40 \text{ kg/mm}^2$ 'lik çekme gerilimesine dönüşmekte ve bu değer yüzeyden içeriye doğru giderek azalmaktadır.

2.12. Borlu Malzemelerin Isıl İşlemi

Borür tabakasının (Fe_2B) genleşme katsayısı çelik grubu malzemelerin ortalama genleşme katsayılarına yakın olduğundan, bu tür malzemelere borür tabakasına hasar vermeden alışılıklaşılmış metodlarla isıl işlem uygulanabilmektedir (20, 8, 30, 23). Ostenitieme, 1150°C 'in üstüne çıkmama koşuluyla, nötr atmosferde yapılmalıdır.

Yüksek basınçlara maruz kalacak borlanmış parçalar isıl işleme tabi tutulmadan kullanılamaz. Borlu tabakanın altı (ana yapı) yumuşaksa, lokal basınçlar yüzünden tabaka çökmesi ve dökülmesi olabilir.

Bütün difuzyon yöntemlerinde olduğu gibi borür tabakasının oluşumunda da bir hacim artışı olmaktadır. Boyut değişimi, tabaka kalınlığı ve kullanılan malzemeye bağlıdır. Boyut artışı genel olarak tabaka kalınlığının % 20'si kadarıdır (8, 16). Alaşımlı çeliklerde ise bu değer % 80'e kadar çıkabilemektedir.

2.13. Borun, Borlama Ortamından Çeliğe Yayınımı

Borun çeliğe yayınımı iki kademe ile gerçekleştirmektedir.

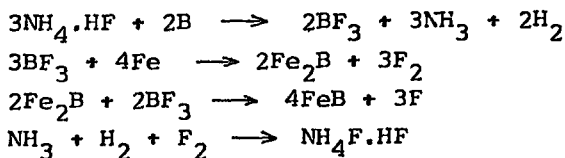
- a) Bileşik haldeki bor'un (B_4C , $Na_2B_4O_7$, B_6H_6 ...) serbest hale geçmesi
- b) Serbest (atomal) bor'un çeliğe yayınımı

2.13.1. Bileşik Haldeki Bor Atomunun Serbest Hale Geçmesi

Borlama ana kaynağı ile aktivatörler ve ana malzeme yüzeyi arasındaki reaksiyonlar sonucu, bor serbest hale geçer. Borlamanın ilk safhasında, serbest haldeki borun yayınımı ve metal yüzeyi ile reaksiyonu sonucu yüzeyde birkaç atom kalınlığında demirborür oluşur. Banyoya ilave edilen aktivatörlerin genel olarak deoksidanitler gibi vazife gördüğüne inanılmaktadır. Bu konudaki bazı araştırmalar, gözlem ve olusabilecek reaksiyonlar aşağıda verilmiştir.

2.13.1.1. Borlama Ortamının Katı Olması Halindeki Reaksiyonlar

SINGHAL, S.C. (16), "% 50 Amorf bor + % 1 $NH_4F \cdot HF$ % 49 Al_2O_3 " banyosunda $815^{\circ}C$ 'ta aşağıdaki reaksiyonların yer aldığıını belirtmiştir.

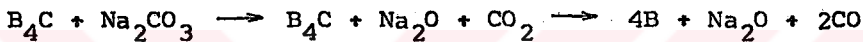


Aynı tür bileşikleri içeren banyoda FeB'nin oluşması, önce BCl_3 oluşunu, daha sonra;



reaksiyonu ile gerçekleştiğini, artık gazlarda $FeCl_3$ bulunmasıyla izah edilmiştir (12).

Banyoda B_4C yanında Na_2CO_3 bulunduğuunda;

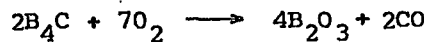


reaksiyonuna göre B serbest hale geçmektedir (32).

B_4C 'nin metalle doğrudan temasıyla;



reaksiyonları meydana gelmektedir. Sistemde oksijen olmasının halinde;

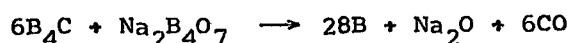


reaksiyonu olmaktadır (8).

2.13.1.2. Borlama Ortamının Sıvı Olması Halindeki Reaksiyonlar

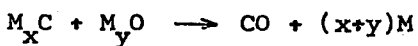
a) Normal Sıvı Ortam Uygulaması

Sıvı boraksa B_4C ilave edildiğinde bor

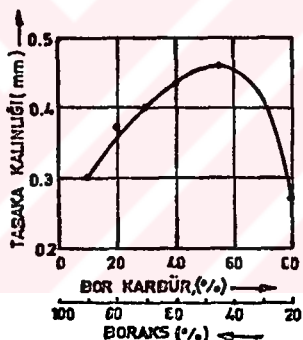


reaksiyonu gereğince bor aktif duruma geçer (9).

Karbür (M_xC) ve oksid (M_yO) den oluşan sıvı banyoda;



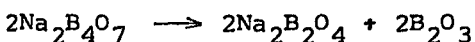
Şeklinde reaksiyon olarak M (metal) aktif duruma geçer. Boraks ve B_4C sisteminde benzer reaksiyon vuku bularak bor'un aktif duruma geçtiğine inanılmaktır (29). "Boraks + B_4C " sisteminde çalışmada banyo aktivitesinin "%40 Boraks % 60 B_4C " bileşiminde en yüksek olmaktadır. B_4C 'nin daha yüksek oranlarında ise, banyonun viskositesi arttıktan aktivite azalmaktadır. Boraks/ B_4C oranı değişiminin banyo aktivitesine etkisi şekil 2.12'de gösterilmiştir.



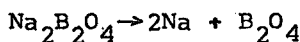
Şekil 2.12. - Banyo bileşiminin borür tabaka kalınlığına etkisi(Ticari saflıktaki demir 1000 C°'ta 5 saat süre ile borlanmış) (29).

b) Elektroliz Metoddaki Reaksiyonlar

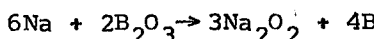
Thechev, V.N. ve arkadaşları (33), boraks banyosuya elektroliz metodla yapılan borlama işleminde aşağıdaki reaksiyonların yer aldığıni ileri sürmüştür. Sıcaklık etkisiyle boraks,



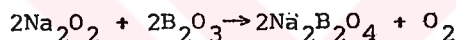
şeklinde, sodyum metaborat ($\text{Na}_2\text{B}_2\text{O}_4$) da elektrolitik olarak



şeklinde parçalanmaktadır. Sodyum katotta deşarj olur ve bor oksid ile

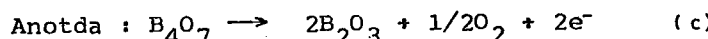
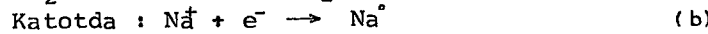


şeklinde reaksiyona girerek sodyum peroksit ve atomik bor oluşturur. Bor katoda toplanmakta ve daha sonra malzemenin yüzeyine yayılmaktadır. Bu esnada sodyum peroksit de bor oksidinin fazlaşıyla

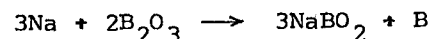


şeklinde reaksiyona girmektedir. B_2O_4 iyonu ise, anodta deşarj olarak oksijen ve bor oksit oluşturmaktadır.

SEONG HOHAN ve JOHN S.CHUN (32), "% 90 Na_2CO_3 + % 10 $\text{Na}_2\text{B}_4\text{O}_7$ " sisteminde, 800°C ve 0.5 A/cm^2 şartlarında aşağıdaki reaksiyonlar sonucu bor'un serbest hale geldiğini ileri sürmüşlerdir.



(c) 'de oluşan B_2O_3 (a) ve (b) 'de oluşan sodyum ile



şeklinde reaksiyona girerek B serbest hale geçmektedir.

"Boraks + NaCl" sisteminde de aynı araştırcılar (32) benzer reaksiyonların olduğunu ileri sürmektedirler.

2.13.1.3. Gaz Ortamda Borlama Esnasında Oluşan Reaksiyonlar

CASADESUS, P. (50), yüksek sıcaklıkta dengesiz di-boran'ın (B_2H_6) ısı etkisiyle



şeklinde parçalanarak bor'un serbest hale geldiğini ifade etmiştir.

2.13.2. Serbest Bor'un Çeliğe Yayınımı

Bor'un çeliğe yayınımı, zaman ve sıcaklık şartlarının yanısıra bor kaynağının ve borlanacak malzemenin bilesimi ile ilgiliidir.

II. Fick yayınım kanunu, yüzeyde oluşan her bir faza ayrı ayrı uygulamak koşuluyla, yayının katsayısı hesabında aşağıdaki şekilde kullanılır (51).

$$\frac{c}{c_0} = 1 - erf \left(\frac{d}{2\sqrt{Dt}} \right) \quad 2.1$$

t : zaman (sn)

d : yayının derinliği (cm)

c_0 : Bor verici ortamın bor konsantrasyonu

c : t (sn) sonra yüzeyden d(cm) derinlikte oluşan bor konsantrasyonu

D : yayının katsayıısı (cm^2/sn)

2.1 formülünde ana malzemedeki bor konsantrasyonu sıfır kabul edilmiştir.

Borlama ile malzeme yüzeyinde FeB ve/veya Fe_2B bilesiği oluşmakta, bor bu tabakayı gereklilikle yayılmaktadır. Bor'un FeB'deki difuzyon katsayısı Fe_2B 'den daha yüksek olduğundan reaksiyon Fe_2B 'deki bor yayınımı ile kontrol edilir (52). Fe_2B bilesiçinin, kristal yapısı ana metalden tamamen farklı olup yeni bir faz olarak büyür. Bu fazda "tabaka kalınlığı-zaman" ilişkisi reaktif difuzyon kanunlarına uyar, dolayısıyla paraboliktir (9, 53, 54). Bu bağıntı II. Fick kanunun özel bir çözümü olan

$$\frac{d^2}{dt} = 2Dt \quad 2.2$$

d = Tabaka kalınlığı (cm)
 t = zaman (sn)

şeklidir.

Difuzyon katsayısı ile sıcaklık bağıntısı

$$D = D_0 e^{-\frac{Q}{RT}} \quad 2.3$$

şeklindedir.

$$D = \text{Difuzyon katsayısı } (cm^2/sn)$$
$$D_0 = \text{Frekans faktörü } (cm^2/sn)$$
$$Q = \text{Aktivasyon enerjisi } (K.Cal/mol)$$
$$R = \text{Gaz sabiti } (1.987 K.Cal/mol K^0)$$
$$T = \text{Mutlak sıcaklık } (K^0)$$

Borlama süresine bağlı olarak çeşitli araştırmacılar tarafından saptanan borur tabaka kalınlığı Tablo 2.14'de verilmiştir.

Tablo 2.14. - Çeşitli araştırmacılar tarafından tesbit edilen
"borür tabaka kalınlığı (d) - zaman (t) ilişkisi"
T: Sıcaklık (k°), R: Gaz sabiti,

No	Borlama Şartları	"Borür tabaka kalınlığı-zaman" bağıntısı	Ref. No
1	% 20 NaCl + %10B ₄ C + %70 Boraks 800 °C'ta elektroliz metod (0.5A/cm ²) çelik AISI 1015	$d=10^{3.72t^{0.56}}$	(32)
2	%10KBF ₄ + %90 (potasyum-lityum ötekiği) 800 °C'ta elektroliz metod, Nitrasyon çeliği	$d=40t$	(52)
3	Ferro-bor + %10-15 NaBF ₄ (veya KBF ₄) toz metod, malzeme çelik	$d=100.e^{-1800/RT}$	(24)
4	ZrB ₂ + KBF ₄ (%0.3-5), Toz metod 1000-1100 °C'ta 4 saat, Armko demir	$d=\frac{13710}{43.21e^{RT}}$	(55)

"FeB + Fe₂B" tabakası tek tabaka gibi düşünülür ve
bor konsantrasyonu yüzeyden içeriye doğru lineer olarak de-
ğiştiği kabul edilmek koşuluyla; Tablo 2.15'de çelik cinsi
ve sıcaklık değişkenlerine karşı "B₄C + Boraks" sisteminde
borlamada elde edilen yayınılmış katsayıları verilmiştir.

Tablo 2.15. - Borür tabakasına ait difuzyon katsayıları (51)

Sıcaklık (C°)	D (cm ² .sn ⁻¹)		
	Armco Demir	AISI 1010	AISI 1095
750.	3.7×10^{-10}	4.54×10^{-11}	$8 \times 33 \times 10^{-12}$
800	1.13×10^{-9}	8.33×10^{-10}	1.33×10^{-10}
850	3.33×10^{-9}	$3 \times 32 \times 10^{-9}$	8.33×10^{-10}
900	9.25×10^{-9}	6.69×10^{-9}	2.80×10^{-9}
950	1.82×10^{-8}	1.69×10^{-8}	7.50×10^{-9}
1000	$3 \times 70 \times 10^{-8}$	3.70×10^{-8}	2.08×10^{-8}
1050	5.79×10^{-8}	5.79×10^{-8}	3.34×10^{-8}
1100	1.13×10^{-7}	1.20×10^{-7}	-

Bonomi, A. ve arkadaşlarının (52) yaptığı çalışmada 800 °C ta Fe_2B ye ait difuzyon katsayısı :

$$\text{Armco demirde } D_B^{800} = 2 \times 10^{-9} \text{ cm}^2/\text{sn},$$

$$\% 1 \text{ karbonlu çelikte } D_B^{800} = 4 \times 10^{-10} \text{ cm}^2/\text{sn}$$

olarak bulunmuştur.

Banyo şartlarına bağlı olarak aktivasyon enerjisi değerleri değişmektedir. Çeşitli araştırmacılar tarafından bulunan aktivasyon enerjisi değerleri tablo 2.16'da verilmiştir.

Tablo 2.16. - Çeşitli borlama banyolarında elde edilen borür tabakasına ait aktivasyon enerjisi değerleri

Borlama Ortamı	Aktivasyon Enerjisi (Kcal/mol)	Ref. No
Katı ortamda borlama	50	(8)
Elektroliz metot borlama	44	(8)
ZrB ₂ + KBF ₄ (%0.5-3), Armco demir	13,7	(55)
Bor içeren ortam 970 °C	21	(57)
Ferro-bor + % 10-15 NaBF ₄	36	(58)
a) Armco demirde	42,4	
"B ₄ C + Boraks" b) AISI 1010	46	[] (51)
c) AISI 1095	65	

Kunst, H. ve Schaaber, O. (51), "B₄C + Boraks" sistemiyle yaptıkları çalışmada D_O (frekans faktörü) için tablo 2.17'deki değerleri bulmuşlardır.

Tablo 2.17. - "B₄C + Boraks" sistemiyle borür tabakasına ait D_O (frekans faktörü) değerleri (51)

MALZEME	D _O (cm ² /sn)
Armco Demir	0.71
AISI 1010	3.74
AISI 1095	3.0x10 ³

Geçiş zonuna ait kinetik çalışması ise çok kısıtlı olup, hemen hemen konu hakkındaki tek çalışma diyebildiğimiz değerler tablo 2.18'de verilmiştir.

Tablo 2.18. - Geçiş zonuna ait difüzyon katsayıları (51)

Sıcaklık ($^{\circ}$ C)	Difüzyon Katsayıısı (cm^2/sn)		
	Armco Demir	AISI 1010	AISI 1095
750	$6.03 \cdot 10^{-8}$	$5.04 \cdot 10^{-8}$	3.70×10^{-8}
800	$8.08 \cdot 10^{-8}$	$7.00 \cdot 10^{-8}$	$5.54 \cdot 10^{-8}$
850	1.04×10^{-7}	$9.91 \cdot 10^{-8}$	$9.30 \cdot 10^{-8}$
900	1.45×10^{-7}	$1.30 \cdot 10^{-7}$	$9.97 \cdot 10^{-8}$
950	$1.53 \cdot 10^{-7}$	$1.48 \cdot 10^{-7}$	$1.20 \cdot 10^{-7}$
1000	$1.99 \cdot 10^{-7}$	$1.97 \cdot 10^{-7}$	1.68×10^{-7}
1050	$2.70 \cdot 10^{-7}$	$2.45 \cdot 10^{-7}$	$2.18 \cdot 10^{-7}$
1100	$3.53 \cdot 10^{-7}$	$3.03 \cdot 10^{-7}$	

Geçiş zonuna ait aktivasyon enerjisi ise, tablo 2.18'de bahsedilen çelikler için $Q = 14000-16000 \text{ cal/gr.atom}$ olduğu tesbit edilmiştir (51).

2.14. Çeliklerde Bor'un Miktar ve Dağılımının Tesbiti

Çeliklerde az oranda (20-50 ppm) bulunan bor'un, başta sertleşme kabiliyeti olmak üzere, sıcak şekillendirme ve sürüünme özelliklerine olumlu yönde etki ettiği bilinmektedir. Bu özellikler, bor miktarına bağlı olmakla beraber, bor'un mikroskopik dağılımına da (segregasyon, katı eriyik, bileşik halde bulunması) bağlıdır.

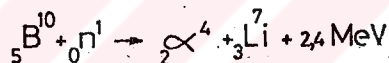
Atom ağırlığının düşük oluşundan dolayı bor'un miktar ve dağılımını saptamada bir takım zorluklar vardır. Mikroprob, bor'un milyonda bir kısım (ppm) mertebesindeki konsantrasyonunu tesbit edememektedir. Spektografik veya sulu kimyasal analiz metodlarıyla

1 ppm'e kadar analiz yapılabilmekte fakat bu metodlarla yapılan bor dağılımı makroskopik seviyede kalmaktadır. Bor dağılıminin saptanmasında en hassas yöntem ise OTORADYOGRAFİ'dir.

2.14.1. Otoradyografi Prensibi

Etüd edilecek numune, metalografik parlatmadan sonra $100 \mu\text{m}$ 'den daha ince bir dedektörle (solid state nuclear Tract detector) kaplanmaktadır. Dedektör selüloz nitrat veya selüloz asetat butirattan yapılmıştır. Dedektör malzemesi yüksek enerjili partiküllerle (α) hasara uğratılabilirse dağlama ile bu hasarlar optik mikroskopta görülebilmektedir.

Yüzeyi dedektörle kaplı bor içeriği malzeme, nötron ışınlamasına tabi tutulduğunda



reaksiyonu sonucu bor'un bulunduğu yerlerden 1.47 mev enerjili partikülleri çıkmaktadır. Malzemeden aşağı çıkan bu partiküler, yine malzemeye yapışık olan dedektör malzemesini tahrip eder. Anstrong mertebesindeki hasar, kimyasal bağları kopararak aktif yüzeyler oluşturma şeklindedir. Neticede, dedektörün bor atomlarıyla temas eden noktalarında molekül ağırlığı azalmış ve kimyasal aktivite artmıştır. Bu hasarlar ancak elektron mikroskopuya görülebilir. Optik mikroskopta görülebilmesi için, nötron radyayonundan sonra hasarlı dedektörün kimyasal dağlama işlemine tabi tutulması gereklidir. Dağlama sonucu hasarlı yerlerde oyuklar oluşur. Oluşan bu oyuklar malzemedeki B miktarı ve dağılımını simgeler. Özette ola-

rak, otoradyografik yöntemle malzemedeki bor dağılıminin optik mikroskopta görülebilir bir haritası dedektör üzerine çıkarılmaktadır.

3. DENEYSEL ÇALIŞMALAR

Borlamanın endüstriyel uygulaması için, tek fazlı tabaka (Fe_2B) veren ve aktif (birim zamanda elde edilen borür tabaka kalınlığı) olan borlama ortamları gereklidir. Son seneerde uygulamaya konulan bu tür banyo bileşimleri genellikle patentlerle korunmaktadır.

Ülkemiz kaynaklarıyla yukarıda sözü edilen türde banyo eldesi arayışı tezin önemli bir bölümünü oluşturmaktadır. Borlama banyosunun ana maddesi olarak boraks seçilmiş ve buna silisyum karbür (SiC), Ferro-Silis, kalsine borik asit ve NaCl ilavesiyle optimum bir banyo bileşimi tesbit edilmeye çalışılmıştır.

Çalışmanın bundan sonraki bölümünde, bulunan optimum bileşimli banyo ile elde edilen borlu tabakanın Özellikleri (korozyon, sertlik), kinetiği ve ısıl işleme karşı davranışları incelenmiştir. Ayrıca çeşitli metotlarla (Metalografi, X-İşinlari, Spektral ve Otoradyografi) borlu tabakanın faz yapısı araştırılarak konuya açıklık getirilmiştir.

3.1. Deneylerde kullanılan Malzemeler

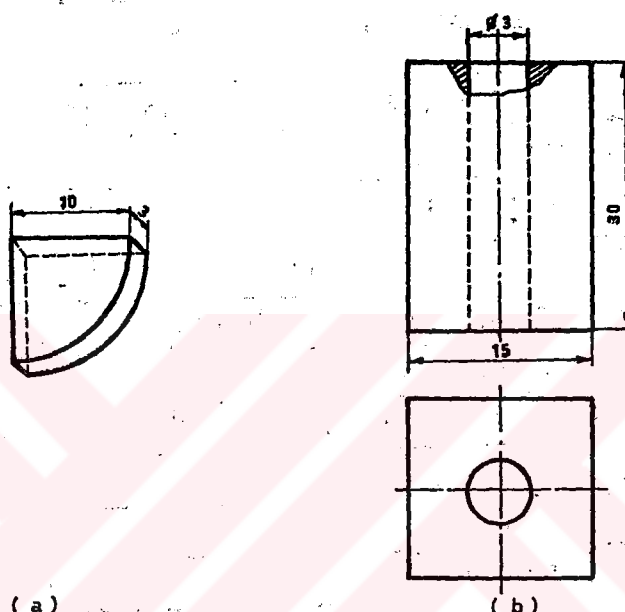
Borlama deneylerinde Tablo 3.1'de bileşimleri ve rilen çelik numuneler kullanılmıştır.

Tablo 3.1. - Deneysel çalışmalarında kullanılan çelik numunele-
rin AISI no ve analizleri^x

AISI No	%C	%Mn	%Si	%P	%S	%Cr	%W	%Co	%V	%Mo
SAF DEMİR (Elektrolitik)										
Armco demir	0,012									
1020	0,15	0,37	0,09	0,007	0,024	-	-	-	-	-
1030	0,25	0,66	0,16	0,012	0,036	0,04	-	-	-	-
1042	0,42	0,65	0,25	0,014	0,02	0,03	-	-	-	0,01
1084	0,84	0,77	0,24	0,012	0,037	0,12	-	-	-	-
W1	1,1	0,38	0,32	0,024	0,017	0,09	-	-	-	-
T1	0,70	0,30	0,30	-	-	4	18	-	-	-
H11	0,35	0,25	0,9			5			0,4	1,5
D2	1,7	0,33	0,39	0,024	0,013	11	-	-	-	0,52
W + CO Sinter Metali										

x: Analizler Asıl Çelik Fabrikaları T.A.S.'de Spektrometre
ile yapılmıştır.

Kinetik ve korozyon çalışmalarında kullanılan numu-
nelerin biçim ve boyutları Şekil 3.1'de verilmiştir. Isıl
işlem ve X-ışınlarına tabi tutulacak numuneler ise silindi-
rik (3mm yükseklik, 20 mm çap) seçilmiştir.



Şekil 3.1. - Borlama Deneylerinde Kullanılan numunelerin boyut ve şekilleri.

- a) Kinetik çalışmalarında kullanılan numuneler.
- b) Korozyon deneylerinde kullanılan numuneler.

Deney öncesi, istenilen boyutlara kesilen numunelerin tüm yüzeyleri 600 No'lu zımparaya kadar zımparalandıktan sonra alkolle temizlenmiştir.

3.2. Borlama Banyosu Bileşenleri

BORAKS ($\text{Na}_2\text{B}_4\text{O}_7$) : Etibank'ın Bandırma Boraks Fabrikalarından temin edilen ticari saflikta sulu boraksın

($\text{Na}_2\text{B}_4\text{O}_7 \cdot 10\text{H}_2\text{O}$) 300°C 'ta bir saat bekletmeyi müteakip 600°C 'ta 3 saat tutularak kristal suyunun uçurulmasıyla elde edilmiştir. Ergime noktası 741°C 'tir.

KALSİNE BORİK ASİT : Deneysel çalışmalarında kullanılan kalsine borikasit, borik asitin (H_3BO_3) 110°C 'ta 3 saat bekletmeyi müteakip 400°C 'a kadar çok yavaş ısıtılmasıyla elde edilmiştir. Borik asit Etibank boraks fabrikaları mamülür ve ticari safliktadır.

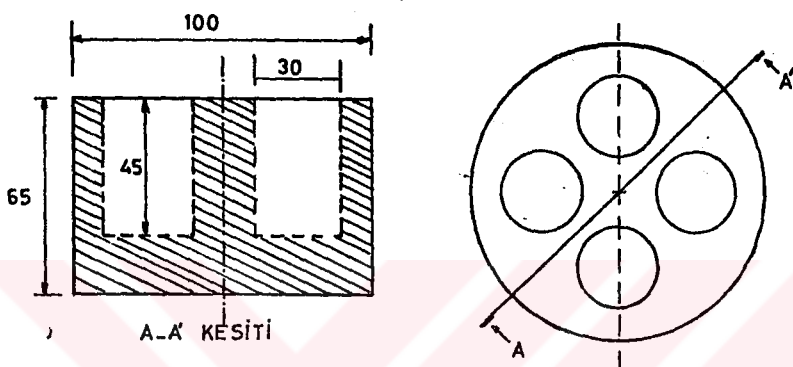
FERRO-SİLİS : Ticari saflikta olan Ferro-Silisin bileşimi : % 70 Si, % 0,1 C, % 1 Al, % 0,05 P, % 0,04 ve kalan Fe'dir ve 100 mesh elek altı boyutundadır.

SİLİSYUM KARBÜR : (SiC) : $50 \mu\text{m}$ tane boyutlu olan SiC ticari safliktadır ve C oranı stokiométriktir.

3.3. Deneyclerde Kullanılan Gereçler

Gerekli sıcaklık, maksimum 1200°C 'a çıkabilen ve $\pm 5^{\circ}\text{C}$ hassasiyetli elektrik direnç tipi fırından temin edilmiştir.

Borlama banyo bileşimi ile ilgili deneylerde, ark ocağı elektrot artıklarından 4 gözlü olarak imal edilmiş potalar kullanılmıştır. Pota boyutları Şekil 3.2'de gösterilmiştir. Diğer tür deneylerde ise normal 1,5 no.lu grafit potalar kullanılmıştır.



Şekil 3.2. - Borlama banyosu bileşimi ile ilgili deneylerde kullanılan 4 gözlü potaların boyutları

3.4. Çeliklere Bor Yayındırma Deneylerinin Yapılış Şekli

Borlama banyosu miktarı, borlanacak çelik numunelerin her cm^2 'si başına 35 gr olacak şekilde tespit edilmişdir. Ayrı ayrı 48 mes altına öğütülmüş banyo bileşenleri, istenilen formülü verecek oranlarda tartıldıktan sonra birbirlerine iyice karıştırılmıştır. Uygun bir potaya yerleştirilen bu karışım önceden çalışma sıcaklığına ısıtılmış fırına konmuştur. Pota içindeki karışımın fırın sıcaklığına erişmesi ve erimesi için 15 dakika beklenerek sonra banyo iyice karıştırılmaya beraber numuneler banyoya daldırılmıştır. Deney süresince banyo her 0,5 saatte bir karıştırılmış ve her deneyde yeni pota ve banyo kullanılmıştır. Borlama işleminden sonra numuneler oda sıcaklığına istenilen hızda (fırında, havada, yağda, suda) soğutulmuştur. Borlanan numuneler,

yüzeylerine bulaşmış banyo kalıntılarının temizlenmesi için kaynayan suda bir saat kadar tutulmuştur.

3.5. Metalografik Etüd

Borlanmış numuneler tek yüzden elmas taşla taşla-, narak 2mm aşındırılmıştır. Elde edilen bu yüzey, son parlatma kademesinde 1 μm kalınlıkta elmas toz aşındırıcı kullanmak kaydıyla, normal metalografik metodla parlatılmıştır. Dağlamalar % 3'lük nital ile yapılmıştır.

Metalografik olarak hazırlanan numuneler Leitz marka optik mikroskobunda incelenmiştir. Yüzeye yakın FeB ile bunun altındaki Fe₂B fazları dağlama ile elde edilen renk farkından (FeB koyu) ayırt edilmiştir.

Tabaka kalınlık ölçümleri 400 büyütme de μm olarak yapılmıştır.

3.6. Sertlik Ölçmeleri

Sertlik ölçümleri mikro sertlik cihazında (WILSON TUKON Marka) vikers uç kullanarak 50-400 gr.'lık yükler altında yapılmıştır.

3.7. X-Işınları Analizi

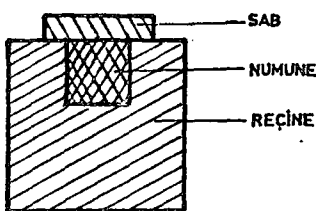
Borlu numunelerde yüzeyden merkeze doğru 50 μm aralıklarla X-işınlarıyla faz analizi yapılmıştır.

3.8. Otoradyografik Etüd

Bor elementinin çeliklerde çok az oranlarda bulun-
şu (50 ppm'in altında) ve düşük atom no'suna sahip olması (Z:5)
nedeniyle, söz konusu elementin çeliklerdeki durumunu (katı
eriyik, segregasyon, bileşik hallerinde bulunduğu) araştırma
problem arz etmektedir. Borlu çeliklerin mikro yapı-
larını araştırmadanın en iyi yolu otoradyografi metodudur.

Termal nötronların B^{10} 'u etkileşmesiyle üretilen
 α partiküllerini tesbit edebilen dedektör malzemesi olarak
"selüloz esat butyrat" (SAB) seçilmiştir. $35 \mu m$ kalınlıkta
SAB zarının (Ticâri olarak AGAR Aids, U.K. tarafından üretil-
miş) yüzeyi metalografik olarak parlatılmış ve metil etil ketonla
ıslatılmış numuneye arada hava kabarcığı kalmayacak şe-
kilde tamamen yapışması sağlanmıştır.

Şekil 3.3'de SAB'ın numuneye yapışmış hali gösteril-
miştir. Numuneler oda sıcaklığında iki gün bekletilerek ku-
rumaları sağlanmıştır.



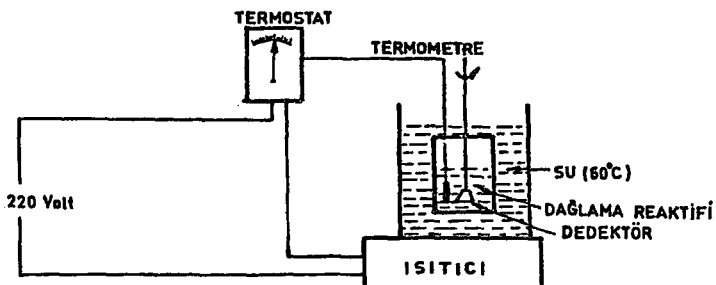
Şekil 3.3. - Selüloz asetat butyratın metalografik numunede-
ki konumu.

Havada kurutulmuş SAB'lı numuneler Al tüplere yerleştirilerek İ.T.Ü.Nükleer Enerji Enstitüsü TRIGA MARK II reaktöründe ışınlanmıştır. Işınlama esnasındaki "fon etkisini" minimuma indirmek amacıyla her borlanmış numuneyle beraber bir de borlanmamış numune ışınlanmıştır. Deneme-yanılma yolu ile bulunan integre akı 10^{15} nvt ($n = \text{cm}^{-3}$)deki nötron sayısı, $v = \text{hiz}$ (cm/sn), $t = \text{zaman (sn)}$ en uygun şart olarak tesbit edilmiş ve bütün ışınlamalar bu şartlarda yapılmıştır. Işınlamaya tabi tutulan numuneler aktivitelerini kaybetmeleri için iki gün kadar bekletilmiş ve daha sonra dedektör malzemesi (SAB) dikkatlice numune yüzeyinden sıyrılmıştır. Işınlanmış dedektör, Şekil-3.4'deki deney düzeni kullanılarak dağlanmıştır.

Dağlama ortamının, süre, bileşim ve zamanı değiştirilerek, optimum şartları 60°C sıcaklıklı % 28'lik KOH solusyonunda minimum 12 dakika olduğu tesbit edilmiştir. Dağlamanın 12 dakikasından sonraki kademeler adım adım optik mikroskopta incelenerek aşırı dağlamadan kaçınılmıştır.

3.9. Bor Yayınım Kinetiğinin Çalışma Metodu

Borür tabakası (Fe_2B) ve geçiş zonu için hesaplamlar ayrı ayrı yapılmıştır. Borür tabakasına ait yayının katısayısı (D).



Şekil 3,4 - Nötron radyasyonuna tabi tutulan dedektörlerin dağlama aparatı.

$$d^2 = 2Dt$$

d = Borür tabakası kalınlığı (cm)

t = Zaman (sn)

D = Difüzyon katsayısı (cm^2/sn)

formülünden;

Aktivasyon enerjisi (Q) ve frekans faktörü (D_0)' ise

$$D = D_0 \cdot e^{-Q/RT}$$

D = Yayınım katsayısı (cm^2/sn)

D_0 = Frekans faktörü (cm^2/sn)

Q = Aktivasyon enerjisi (cal/mol.K^{-1})

R = Gaz sabiti 1,987 (cal/mol.K^0)

T = Sıcaklık (K^0)

formülünden bulunmuştur.

Geçiş zonunda ise,

$$d = kt^n$$

d = Tabaka kalınlığı

k ve n sabit

t = Zaman (sn)

Şekildeki "tabaka kalınlığı-zaman" pağıntısının k ve n sabitleri tesbit edilmiştir.

Hesaplamalarda, ilgili noktalardan doğrular en küçük kareler metodu ile geçirilmiş, ayrıca doğruların noktalaara uygunluk derecesini gösteren korelasyon katsayısı (K) hesap edilmiştir. *

(K = 1 için mükemmel doğrusal bağıntı)

* : Hesaplamalar komüter programıyla yapılmış, söz konusu program Ek:1'de verilmiştir.

3.10. Deney Sonuçları

3.10.1. Borlama Ostaminin Borür Tabakasına Etkisi

Bu seri deneylerde evvela ön çalışmalar yapılmış, daha sonra sistematik çalışmalar geçilmiştir. Ön çalışmalar, hangi banyo bileşenleri üzerinde çalışılacağını kabaca tespit etmek amacıyla yapılmıştır.

Ön deneyler, literatürden faydalananmanın yanında daha ziyade deneme yanlışına yoluya yapılmıştır.

Bu tür deneylerde AISI 1042 çeliği 950 °C'ta 5 saat süreyle çeşitli banyo bileşimlerinde borlamaya tabi tutularak, borür tabakasının oluşup oluşmadığını ve banyo aktivitesine (birim zaman ve sıcaklıkta elde edilen borür tabaka kalınlığı) bakılmıştır. Sonuçlar Tablo 3.2'de verilmiştir.

Tablo 3.2. - Farklı bileşimdeki borlama banyolarının AISI 1042 çeliğinin borlanmasına etkisi.

(Borlama koşulları : 950 °C ve 5 saat)

BANYO NO	BANYO BİLEŞENLERİ (%)					SONUÇ
	Boraks	NaCl	SiC	Kalsine Borikasit	Ferrosilis	
1	100	-	-	-	-	YOK
2	70	30	-	-	-	YOK
3	70	-	30	-	-	VAR
4	70	-	20	10	-	VAR
5	70	-	-	-	30	VAR
6	70	-	-	10	20	VAR

Tablo 3.2.'den görüldüğü gibi, 1 no.lu banyo bileşimlerinde borür tabakası elde edilememiştir. 3 no.lu banyonun bileşimi literatürden (30) alınmıştır. 4 no.lu ve 3. no. lu banyolar arasında, banyo aktivitesi yönünden bir fark olmasına karşın, 4 no.lu banyonun 3 den biraz daha akışkan olduğu tesbit edilmiştir.

Banyo bileşimi yalnız "boraks" veya "Boraks+NaCl" olduğunda, borür tabakasının oluşmadığı görülmüştür. Bu durumun borun ortamındaki oksijen tarafından bağlanmasıyla ilgili olduğunu sanılmaktadır. Banyo bileşimi "Boraks+SiC" veya "Boraks + Ferro-Silis" olduğunda ise, bor çeliğe yayınarak borür tabakası oluşmuştur. Burada Silisyumun oksijeni bağlayarak boru serbest hale getirdiği tahmin edilmektedir. "Boraks+Ferro-Silis" sistemine ayrıca kalsine borik asit ilave edildiğinde banyo aktivitesi artmıştır. "Boraks+SiC" sistemindeki banyoya kalsine borür asit ilave edildiğinde ise banyo aktivitesinde bir değişim olmadığı görülmüştür.

6 no.lu banyonun diğer banyolardan daha aktif oluşu, bundan sonraki çalışmaları "Boraks+Ferro-Silis+Kalsine borik asit" sistemi üzerine yöneltimiştir.

Benzer deneyler boraks yerine kolemanit ($Ca_2B_4O_7$) kullanılarak tekrarlanmış, fakat banyonun ergime sıcaklığının $950^{\circ}C$ 'in üzerinde olduğu ve eriyiğin akışkanlığını az olduğu tesbit edilerek bu tür deneylerden vazgeçilmiştir.

3.10.2). Banyo Bileşenleri ve Oranları Değişiminin
Borlamaya Etkisi

Bu seri deneylerde sıcaklık (940°C), borlama süresi (5 saat) ve çelik bileşimi (AISI 1042) sabit tutularak, banyo bileşenleri (boraks + ferro-silis + kalsine borik asit) oranlarının borür tabaka kalınlığına ve faz yapısına etkisi araştırılmıştır. Numuneler, borlama işleminden sonra borlama sıcaklığından oda sıcaklığına havada soğutulmuştur.

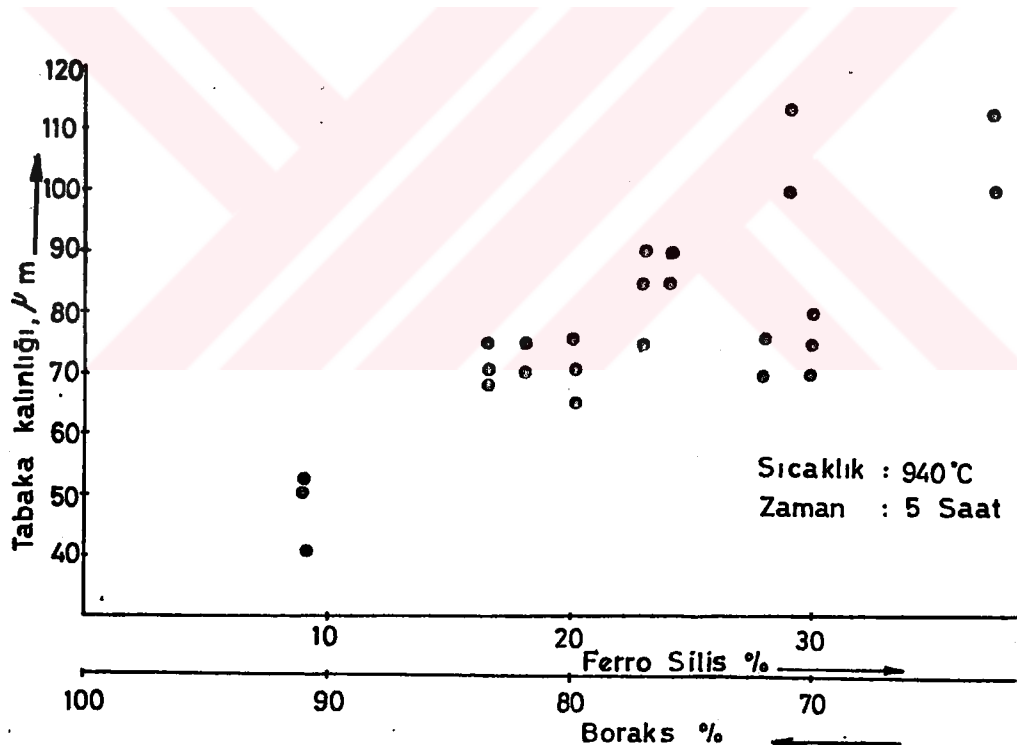
3.10.2.1. Banyo Bileşimindeki "Boraks/Ferro-Silis"
Oranının Borür Tabaka Kalınlığı ve Faz
Yapısına Etkisi

Banyo bileşimindeki "boraks ve ferro-silis" oranları değişimin, borür tabaka kalınlığı ve faz yapısına etkisi Tablo 3.3 ve Şekil 3.5'de gösterilmiştir.

Tablo 3.3. - Farklı oranlarda "Boraks/Ferro-Silis" içeren borlama banyosunda, AISI 1042 çeliğinin 940°C 'ta 5 saat borlanmasıyla elde edilen borür tabakası faz yapısı.

% BORAKS	% FERRO-SİLİS	BORÜR TABAKASININ YAPISI
100	-	-
91	9	Fe_2B
84	16	"
82	18	"
80	20	"
77	23	"
76	24	"
72	28	"
70	30	"

'Tablo-3.3'den de görüldüğü gibi "Boraks + Ferro-Silis" bileşimli banyolarla tek fazlı borür tabakası (Fe_2B) elde edilmiştir. Bu da borür tabakasının faz yapısının "Boraks/Ferro-Silis" oranı değişiminden etkilenmediğini göstermektedir. Söz konusu tabakanın (Fe_2B) kalınlığı (bano aktivitesi) ise, Şekil 3.5'de görüldüğü gibi Ferro-Silis miktarı arttıkça artmaktadır. Diğer taraftan bano akışkanlığı ise, Ferro-Silis miktarıyla orantılı olarak azalmaktadır. Dolayısıyla banyoda Ferro-Silis oranı % 25'i geçtiğinde çalışma şartları zor-



Şekil 3.5. - Boraks'a ilave edilen Ferro-Silisin borür tabakası kalınlığına etkisi.

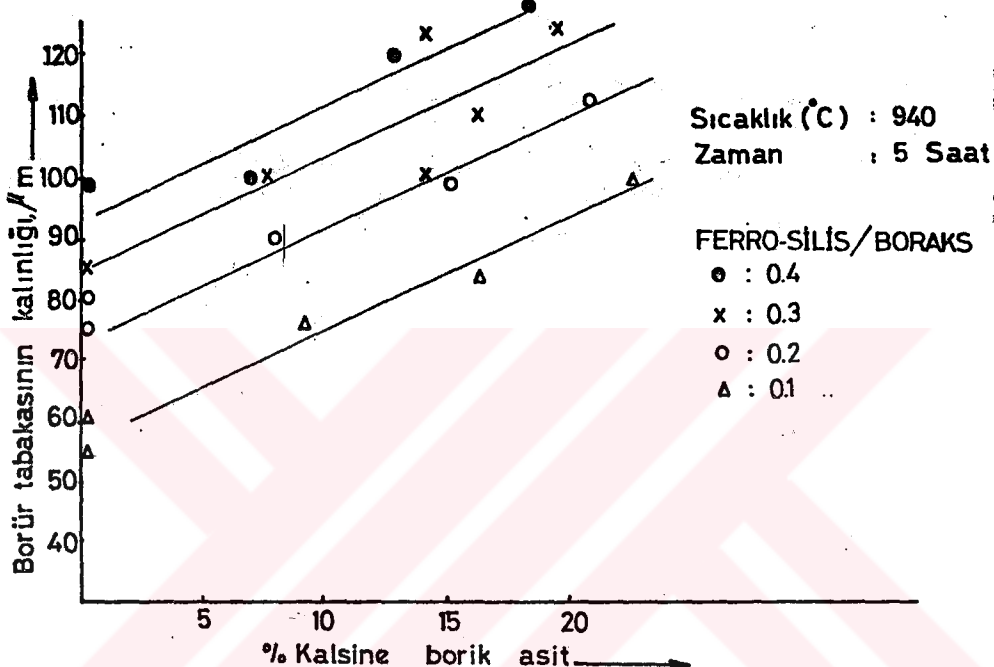
laşmakta ve tabaka homojenliği bozulmaktadır. Şekil 3.5'deki eğrinin yüksek Ferro-Silis bölgelerinde noktaların saçılması, söz konusu şartların sonucudur.

3.10.2.2. Boraks, Ferro-Silis ve Kalsine Borik Asit
Oranlarının Borür Tabaka Kalınlığı ve Faz
Yapısına Etkisi

Bu seri deneylerde AISI 1042 çeliğinin belli sıcaklık (940°C) ve belli sürede (5 saat) "boraks+ferro-silis+kalsine borik asit" oranları değişken tutulan banyolarda borlanmasıyla elde edilen borür tabaka kalınlığı (banyo aktivitesi) ve faz yapısı araştırılmıştır. Kullanılan farklı banyo bileşimleriyle elde edilen borür tabaka kalınlığı ve faz yapısı Tablo 3.4'de verilmiştir.

Tablo 3.4. - AISI 1042 çeliğinin, 940 °C'ta 5 saat süreyle farklı oranlarda "Boraks/Ferro-Silis/Kalsine Borik Asit" içeren banyolarda borlanmasıyla elde edilen Borür tabaka kalınlığı ve faz yapısı

BAN-YO NO	BANYO BİLEŞENLERİ					BORÜR TABAKASININ KALIN-LİĞİ µm	FAZ YAPISI		
	Bileşenler % Miktarı			Bileşenler Oranı					
	BORAKS	FERRO-SİLIS	KALSİNE BORİK ASIT	FERRO-SİLIS/BORAKS	KALSİNE BORİK ASIT/BORAKS				
B1	70	30	0	0,4	0	75,85	Fe ₂ B		
B2	65	28	7	"	0,1	100,80	"		
B3	61	26	13	"	0,2	125,120	"		
B4	57	25	18	"	0,3	125,128	Fe ₂ B+ FeB		
B5	76	24	0	0,3	0	85	Fe ₂ B		
B6	70	23	7	"	0,1	100	"		
B7	65	21	14	"	0,2	100,125	"		
B8	60	20	20	"	0,3	125	Fe ₂ B+ FeB		
B9	82	18	0	0,2	0	75	Fe ₂ B		
B10	76	16	8	"	0,1	90	"		
B11	70	15	15	"	0,2	100	"		
B12	65	14	21	"	0,3	112	Fe ₂ B+ FeB		
B13	90	10	0	0,1	0	40,50	Fe ₂ B		
B14	82	9	9	"	0,1	65	"		
B15	76	8	16	"	0,2	100	"		
B16	70	7	23	"	0,3	110	Fe ₂ B FeB		
B17	80	20	0	0,2	0	60,55	Fe ₂ B		
B18	79	10	11	0,1	0,14	70	"		
B19	69	20	11	0,3	0,16	80	"		
B20	59	20	11	0,5	0,18	115	"		
B21	72	14	14	0,2	0,20	120	"		
B22	64	20	16	0,3	0,25	110	"		
B23	48	20	32	0,4	0,66	120	Fe ₂ B+ FeB		
B24	32	20	48	0,6	1,5	120	"		
B25	83	17	0	0,2	0	40	Fe ₂ B		



Şekil 3.6. - Banyo Bileşimindeki Boraks, Ferro-Silis ve Kalsine Borik Asit oranlarının Borür tabakası kalınlığına etkisi.

AISI 1042 çeliğinin Tablo 3.4'deki B21 ve B25 no.1 u banyolarla borlanmasıyla elde edilen borür tabakası mikro yapı resimleri Şekil 3.7'de, B12 no.1 u banyo ile elde edilmiş borür tabakası ise (Fe_2B+FeB) Şekil 3.8'de gösterilmiş tir.

Şekil 3.7'den de görüldüğü gibi "Boraks+Ferro-Silis" sistemine kalsine borik asit ilavesi, borür tabaka kalınlığını 3-4 misli artırmaktadır. Sabit "Ferro-Silis/Bo-

raks" oranları için borür tabaka kalınlığının, sisteme ilave edilen kalsine borik asit miktarıyla orantılı olarak arttığı da Şekil 3.6'da görülmektedir.



(a)



(b)

Şekil 3.7. - Zaman (5 saat), sıcaklık (940°C) ve çelik bileşimi (AISI 1042) sabit tutmak koşuluyla farklı banyo bileşimleriyle eide edilen borür tabakası mikro yapı fotoğrafları. 320 X

- a) "%83 Boraks+%17 Ferro-Silis" ortamında borlanmış (Banyo No: B25)
- b) "%64 Boraks+ %20 Ferro-Silis+%16 Kalsine Borik Asit" ortamında borlanmış (Banyo No:B22)



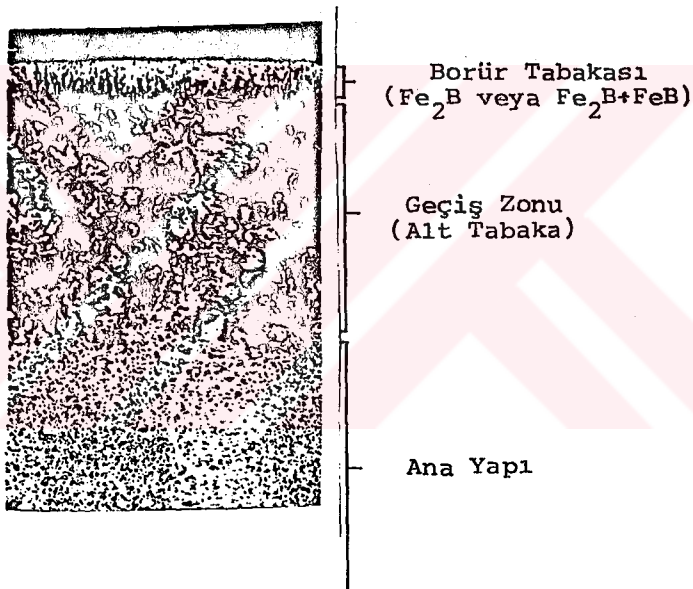
Şekil 3.8. - AISI 1042 çeliğinin 940 °C'ta 5 saat süreyle B12 no.1u banyoda (% 65 Boraks+% 14 Ferro-Silis+ % 21 Kalsine borik asit) borlanmasıyla elde edilen borür tabakasının kesit mikro yapısı. 200 X

Borür tabaka kalınlığının banyodaki kalsine borik asit miktarıyla orantılı olarak artmasına rağmen; % 18 üzerindeki kalsine borik asit miktarları, borür tabakasında Fe_2B yanında FeB fazının da oluşmasına neden olmaktadır. Bu durum şekil 3.8'de görülmektedir.

İdeal bir borür tabakası (FeB 'siz tabaka) oluşturacak banyo bileşiminin; çalışma şartları, banyo vizkozitesi ve borür tabakasının faz yapısı göz önüne alındığında, Ferro-Silisi maksimum % 25'e ve kalsine borik asit maksimum % 18'e kadar olabileceği tespit edilmiştir.

3.10.3. Banyo Bileşimine Bağlı Olarak Oluşan Bor'lu Tabakanın Özellikleri

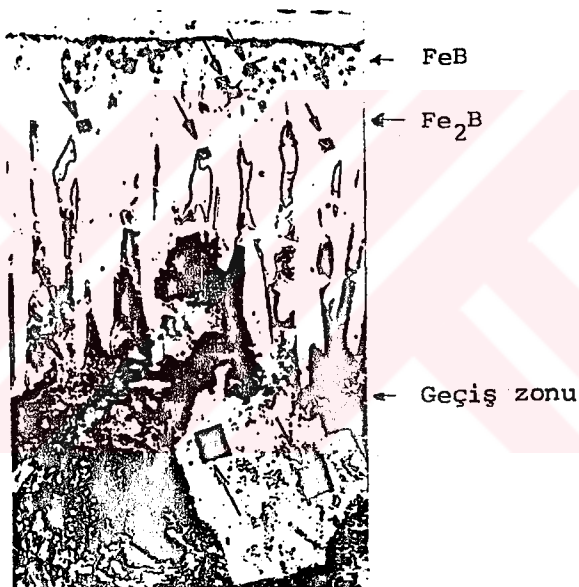
AISI 1042 çeliğine bor yayınmasıyla yüzeyde göbeğe doğru başlıca iki tabaka oluşturmaktadır. Bu tabakalar Borür tabakası ve "Geçiş" zonudur. AISI 1042 çeliğinde, Tablo 3.4'deki B16 No'lu banyo ile elde edilen bor'lu tabakanın kesit mikro yapısı Şekil 3.9'da gösterilmiştir.



Şekil 3.9. - AISI 1042 çeliğinin 940 °C'daki B16 No'lu banyoda (% 70 Boraks + % 7 Ferro-Silis + % 23 kalıne borikasit) saat süreyle borlanmasıyla elde edilen tabakanın kesit mikro yapısı. Nüümune borlama ortamından oda sıcaklığına havada soğutulmuştur. 80X

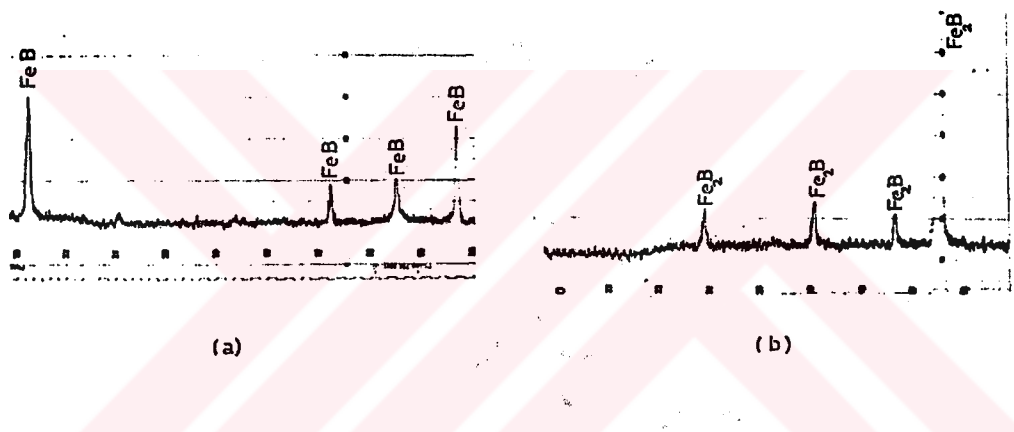
3.10.3.1. Borür Tabakasındaki Fazlar ve Mikro Yapısı

Borür tabakası, borlama ortamına bağlı olarak " Fe_2B " veya " $Fe_2B + FeB$ " fazlarından oluşmaktadır. Tablo 3.4'teki B15 No.1 banyo ile elde edilen borür tabakasının kesit mikro yapısı Şekil 3.10'da verilmiştir.



Şekil 3.10. - AISI 1042 çeliğinin, 940 °C'daki (% 70 Boraks + % 7 Ferro-Silis + % 23 Kalsine Borikasit) bileşimli banyoda 5 saat süreyle borlanmasıyla elde edilen tabakanın kesit mikro yapısı. Mikro sertlik izleri okla işaretlenmiştir.
400X

Borür tabakasındaki fazlar ayrıca X-Işınlarıyla araştırılmıştır. Tablo 3.4'deki B16 No.1 banyoda borlanan AISI 1042 çeliğinin yüzeyden ve FeB altından çekilen X-Işınları diyagramı Şekil 3.11'de verilmiştir.



Şekil 3.11. - AISI 1042 çeliğinin (% 70 Boraks+% 7 Ferro-Silis+% 23 Kalsine Borik Asit) ortamında borlanmasıyla elde edilen borür tabakasına ait X-Işınları diyagramları.
a) FeB tabakası kaldırılmadan yüzeyden alınmış,
b) Dış yüzey (FeB) aşındırıldıktan sonra yüzey altından elde edilen pikler.

Optik Metalografik incelemede koyu olarak görülen en dıştaki fazın FeB ve bunun altındaki fazın Fe_2B olduğu X-Işınlarıyla da tesbit edilmiştir.

Borlama banyo ortamındaki Si'ın çeliğe yayınıp yayılmadığını anlamak için borür tabakası, yüzeyin 60 um derinliğinden itibaren göbeğe kadar Taramalı Elektron Mikroskop buna bağlı Enerji - Dispersiv X - Ray Analiz Sistemiyle araştırılmıştır. Çelikteki Si seviyesinin kesit boyunca değişmediği ve ana malzeme seviyesinde olduğu tesbit edilmiştir.

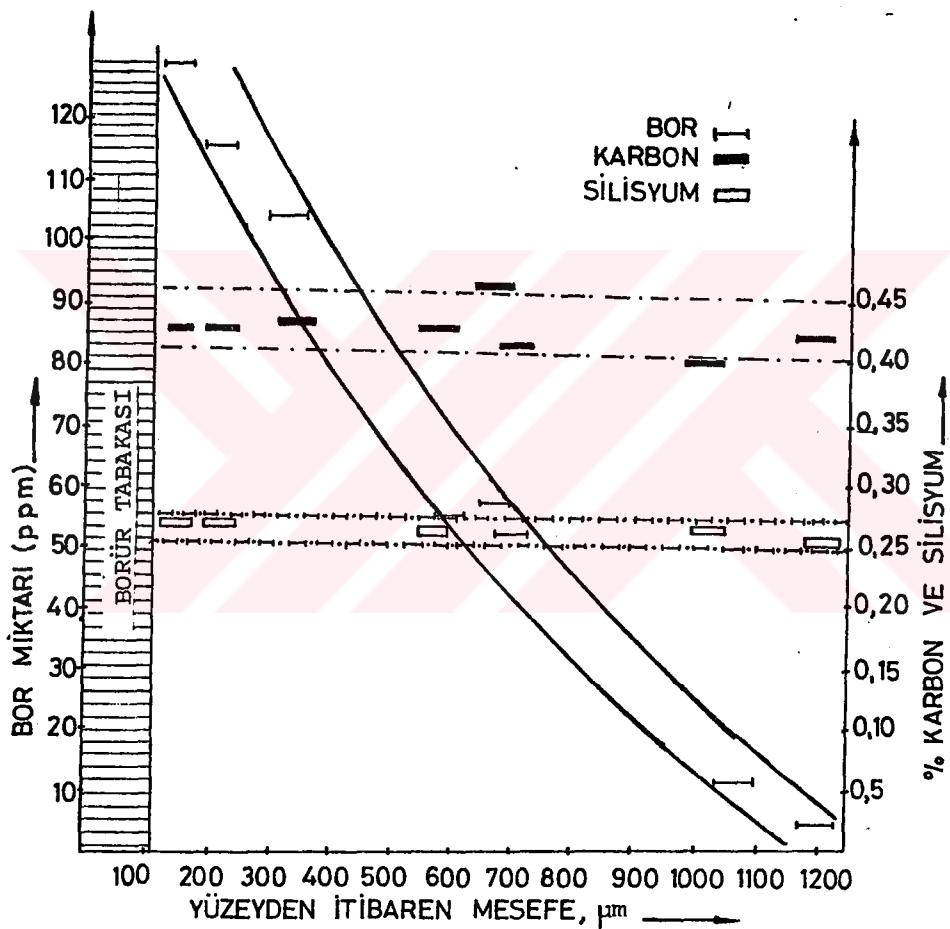
3.10.3.2. Geçiş Zonundaki Fazlar ve Mikro Yapısı

Borlanmış AISI 1042 çeliğinin kesidi optik mikroskopta incelendiğinde, söz konusu çelikte geçiş zonunun ana yapıdan daha fazla perlit içeriği görülmüştür. Tipik bir geçiş zonu Şekil 3.9'da görülmektedir. Orta karbonlu çeliklerde perlitce zengin görünümüyle ayırt edilebilen geçiş zonu diğer çeliklerde örneğin (alaşımlı çelikler, yüksek ve düşük karbonlu sade çelikler) optik mikroskopta ana yapıdan ayırt edilememektedir.

3.10.3.2.1. Geçiş Zonundaki Alaşım Elementlerinin Dağılımı

Metalografik olarak perlitçe zengin görülen geçiş zonunun birçok araştırıcının ileri sürdüğü gibi bu bölgenin karbonca zenginleşmesi sonucunu olduğu yoksa başka合金 elementlerinin varlığından mı kaynaklandığını aydınlatmak için; geçiş zonu optik metalografi, otoradyografi ve spektral analiz metodlarıyla incelenmiştir. Dış yüzeyden derine doğru spektral analiz metoduyla banyo ortamında bulunan bor, silisyum ve karbon'un kesit boyunca dağılımı tesbit edilmiştir. Elde edilen合金 elementleri dağılımı Şekil 3.12'de verilmiştir. Karbon ve silisyumun geçiş zonundaki seviyesinde olduğu, bor miktarının ise dıştan içe doğru azal-

dışı söz konusu şekilde görülmektedir.



Şekil 3.12. - AISI 1042 çeliğinin Tablo 3.4'deki B21 nolu banyoda borlanmasıyla elde edilen geçiş zonuna ait alasım elementleri (C, B, Si) dağılımı.

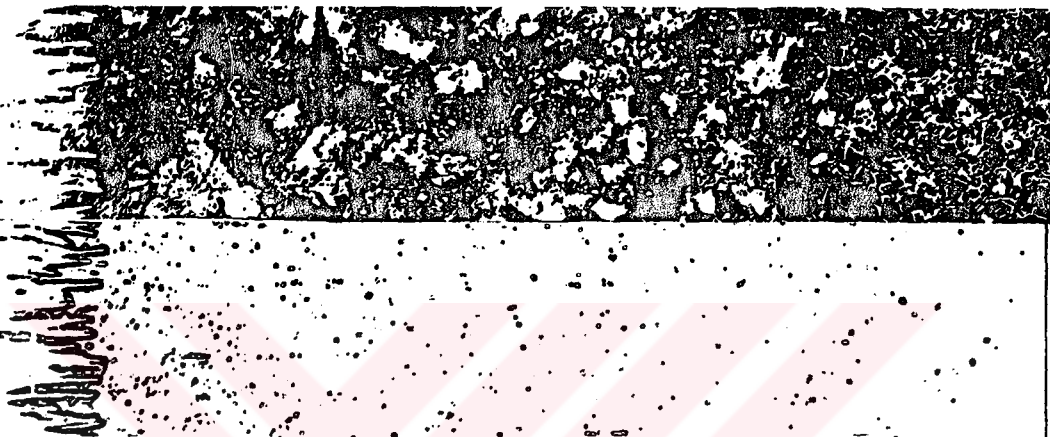
3.10.3.2.2. Geçiş Zonunun Otoradyografik Metodla İncelenmesi

Geçiş zonundaki bor elementinin mikroskopik dağılımını tespit için borlanmış malzemeler, 3.8'de tariflenen şekilde otoradyografik etüde tabi tutulmuşlardır. AISI 1042 çeliğinin borlu tabakasına ait kesit mikro yapısı ve aynı bölgenin bor dağılımını gösteren otoradyografi fotoğrafları Şekil 3.13'de, AISI 1084 çeliğine ait otoradyografi fotoğrafları ise Şekil 3.14'de verilmiştir.

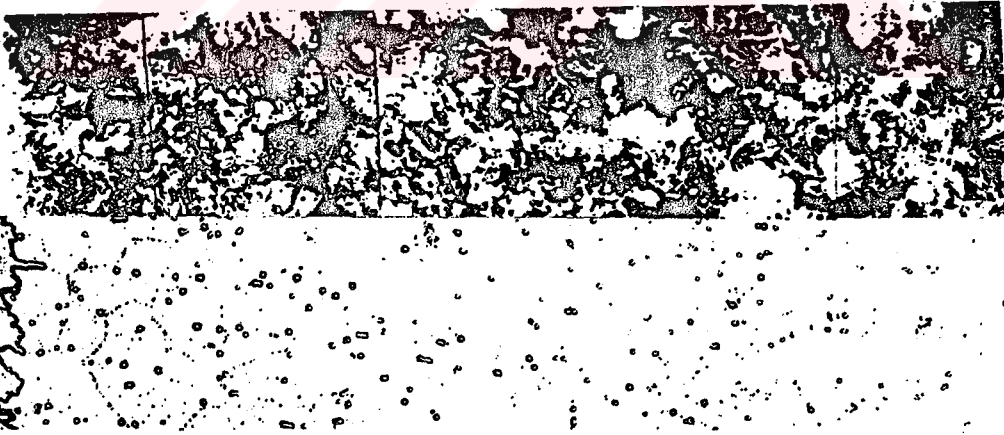
Aynı bölgeye ait optik mikro yapı, otoradyografi ve spektral analiz sonuçları birbiri ile uyumlu olarak geçiş zonunun Bor'un varlığından dolayı olduğunu göstermiştir. Söz konusu bölgede karbon yayınmasına rastlanmamıştır.

Geçiş zonundaki borun mikroskopik dağılımı, Şekil 3.13-3.15'lerden de görüldüğü gibi çelik cinsine geniş ölçüde bağlı olmaktadır. Borun AISI 1084 çeliğinde, konsantrasyonun yüksek olduğu (yüzeye yakın kısmı) ostenit tane huddunda çökeldiği, AISI 1042 çeliğinde ise homojen dağılarak konsantrasyonun dıştan içe doğru devamlı azaldığı, Şekil 3.13 ve 3.14'de görülmektedir. Şekil 3.16'da bor dağılımının bir fonksiyonu olan dağılama izlerinin dağılım yüzdeleri verilmiştir.

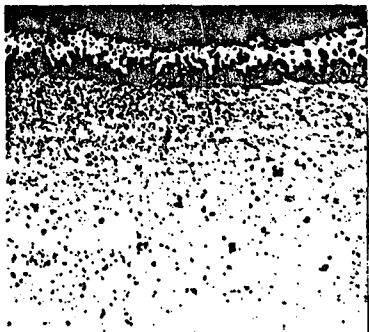
Geçiş zonundaki bor dağılımı ile ilgili diğer bir gözleme; bor dağılımının, malzeme haddeleme yönüne paralel olarak yönlenme göstermesidir. Durum Şekil 3.13 ve Şekil 3.15 a da açıkça görülebilmektedir. Alaşımlı çeliklere ait otoradyografi fotoğrafları Şekil 3.15'de verilmiştir.



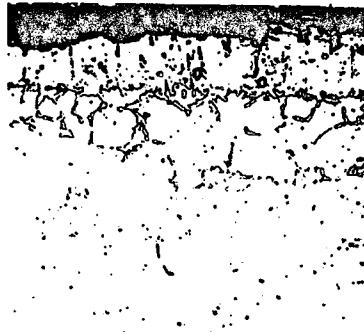
Şekil 3.13. - SAE 1042 çeliğinin B21 nolu banyoda 940°C 'ta 6 saat borlamadan sonraki kesit mikro yapısı (üstte) ve aynı bölgenin otoradyografisi (altta). Malzeme bortlama sıcaklığından oda sıcaklığına havada soğutulmuştur. 125X



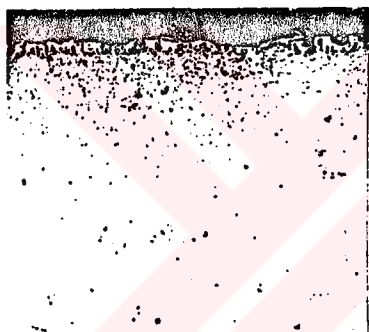
Şekil 3.14. - SAE 1084 çeliğinin B21 nolu banyoda 940°C 'ta 6 saat borlamadan sonraki kesit mikro yapısı (üstte) ve aynı bölgenin otoradyografisi (altta). Malzeme bortlama sıcaklığından oda sıcaklığına havada soğutulmuştur. 125X



(a)

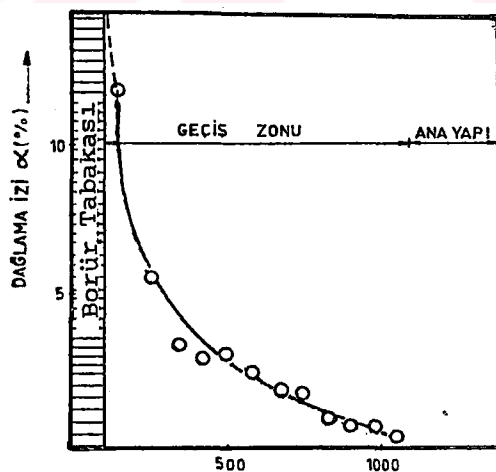


(b)



(c)

Şekil 3.15. - Çeşitli çeliklerin 940°C 'taki B21 No.'lu banyoda 6 saat borlanmasıyla elde edilen otoradyografi fotoğrafları. 270X
a) AISI H11 çeliği b) W1 çeliği
c) AISI T1 çeliği



Şekil 3.16. - Geçiş zonunda α -dağlama izlerinin dağılımı.
Ölçümler Şekil 3.13'den alınmıştır.

3.10.3.3. Çeşitli Çeliklerin Borlanabilirliği ve Elde Edilen Borür Tabkasının Sertliği

Bileşimleri Tablo 3.1'de verilen çelik numuneler, 940 °C'taki B21 no.1 u banyoda (Tablo 3.4) 6 saat süreyle borlamaya tabi tutulmuştur. Elde edilen borür tabakasının sertliği ve kalınlıkları Tablo 3.5'de, mikro yapıları ise Şekil 3.17'de ve 3.18'de verilmiştir.

Tablo 3.5. - Çeşitli çeliklerin 940 °C sıcaklığında (% 72 Boraks+% 14 Ferro-Silik+% 14 Kalsine Borik Asit) bileşimli banyoda 6 saat süreyle borlamadan sonra elde edilen borlu tabakanın bazı özellikleri (Sertlikler 100 gramlık yükle vikers uçla mikro sertlik olarak alınmıştır).

Numune AISI No	Borür tabakası kalınlığı µm	Geçiş zonu optik mikroskopta görüp görüleme- diği	Borür tabaka sert- liği (VSD 0,1)
Saf demir	180	Ayırıtedilemiyor	1682, 1532
Armko demir	170-180	Ayırıtedilemiyor	1682, 1854
1020	150-160	Görülüyor	1682, 1854
1025	140	Görülüyor	1532, 1854
1042	130-140	Görülüyor	2054, 1854
1084	120-130	Ayırıtedilemiyor	1554, 2054
W1	120	Ayırıtedilemiyor	
D2	50	Ayırıtedilemiyor	2054, 1854
T1	55, 70, 60	Ayırıtedilemiyor	1682, 2054
H11	40, 45	Ayırıtedilemiyor	1854, 1680
WC+CO			
Sinter Metal	0	-	-



Saf demir



AISI 1025 çeliği



AISI 1042 çeliği



AISI 1084 çeliği

Şekil 3.17. - Çeşitli sade karbonlu çeliklerin (% 72 Boraks + %14 Ferro-Silik+% 14 Kalsine borik asit) banyosunda 940°C sıcaklıkta 6 saat süreyle borlanmasıyla elde edilen borür tabakasına ait kesit mikroyapıları. Borlamadan sonra numune-ler havada soğutulmuştur. 210 X



(a)



(b)



(c)

Şekil 3.18. - Çeşitli alaşımlı çeliklerin Tablo 3.4'deki B21 no.lu banyoda 940°C 'ta 6 saat süreyle borlanmasıyla elde edilen tabakanın kesit mikro yapıları. 210X.

- a) %0,7 C+%4 Cr+%18 W (AISI T1 çeliği),
- b) 0,35C+%5Cr+%0,4V+%1,5Mo (AISI H11 çeliği),
- c) %1,7C+%11Cr (AISI D2 çeliği)

Borlamadan sonra numuneler havada soğutulmuştur.

Şekil 3.17 ve 3.18'den de görüldüğü gibi karbon ve diğer合金 elementleri, bor difüzyonunu yavaşlatır yönde etki etmektedir. Aynı zamanda合金 elementleri borür tabakası morfolojisini de değiştirmektedir. Çeliklerde合金 elementleri arttıkça, borür tabakasının ana metale tutunum sınırı düşmektedir.

Geçiş zonunun optik mikroskopla görülebilmesi çelik cinsine bağlıdır. Alaşimsız ortakarbonlu çeliklerde geçiş zonu optik mikroskopta perlit zenginleşmesi şeklinde görülürken (AISI 1042, 1030),合金lı ve合金sız yüksek ve düşük karbonlu çeliklerde ise geçiş zonu optik mikroskopla bariz olarak ayırt edilememektedir. Söz konusu çeliklerdeki geçiş zonu, otoradyografi ile tesbit edilebilmektedir.

Tablo 3.5'den de anlaşılabileceği gibi farklı çeliklerdeki (合金lı-alasız) borür tabakası sertliği, bariz farklılıklar göstermemiştir.

3.10.3.4. Isı İşlemin Borlu Tabakaya Etkisi

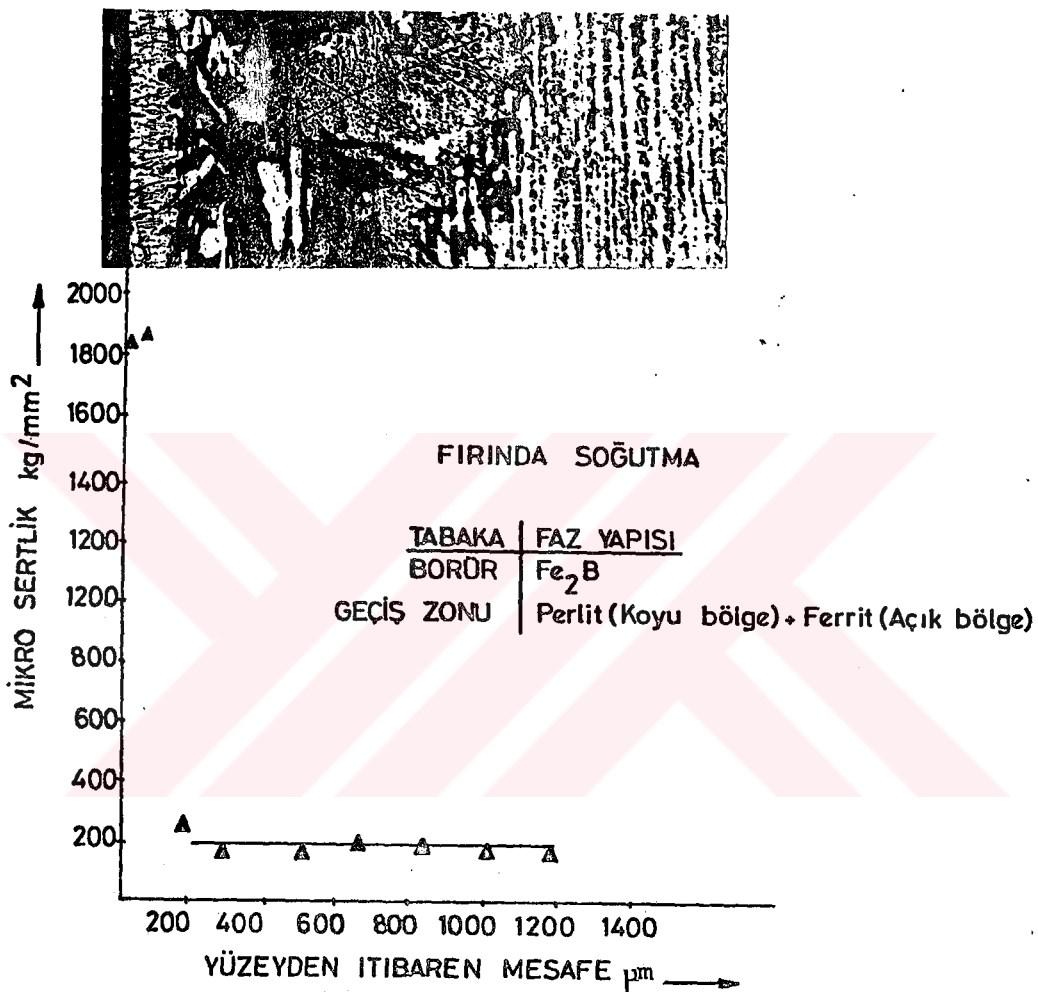
Bu seri deneylerde AISI 1042 çeliği, 915 °C sıcaklığındaki banyoda 5 saat süreyle borlandıktan sonra, söz konusu malzemenin borlama banyosundan oda sıcaklığına soğutma hizinin (fırın, hava, yağ ve su), borlu tabaka sertliği, faz yapısı ve fiziki durumuna (çatlama olup olmadığı) etkisi araştırılmıştır. Söz konusu şartlarda soğutulan AISI 1042 çeliğinin kesit mikro yapı ve sertlik dağılımları Şekil 3.19'da verilmiştir.

Yüksek karbonlu AISI 1084 çeliğinde tek fazlı borür tabakası oluşturacak ortamda borlandıktan sonra, malzemenin borlama banyosundan oda sıcaklığına suda soğutulmasıyla elde edilen borlu tabakanın kesit mikro yapısı Şekil 3.20'de gösterilmiştir. $FeB + Fe_2B$ fazı oluşturacak ortamda (Tablo 3.4'de B16 no.1 banyo) borlanan AISI 1042 çeliğinin borlama banyosundan oda sıcaklığına havada soğutulduktan sonra elde edilen tabakanın kesit mikro yapı fotoğrafı ise Şekil 3.12'de verilmiştir.

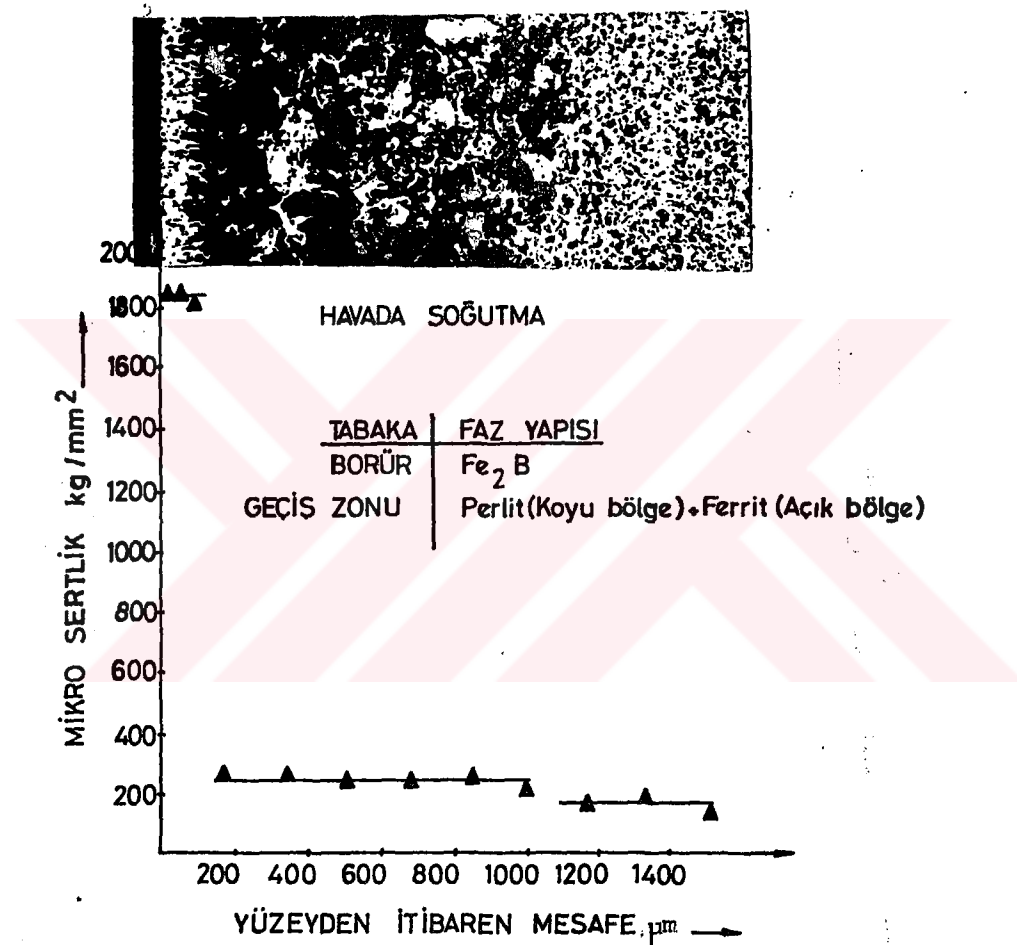
AISI 1042 çeliğinin borlama banyosundan oda sıcaklığına soğuma hızının, borür tabakası sertliğine bariz bir etkisi görülmemiştir. Geçiş zonu faz yapısı ve sertliği ise, borlama ortamından oda sıcaklığına soğutma hızına geniş ölçüde bağlı olmaktadır. Şekil 3.19'dan da görüldüğü gibi fırında ve havada soğutma perlitik, yalda soğutma perlit + beynitik, suda soğutma ise martensitik yapı oluşturmaktadır. Bu bölgenin sertliği de mikro yapıya paralel olarak değişmektedir.

Geçiş zonuna ait diğer bir gözlemede bu zondaki tane boyutunun ana malzemeden daha büyük oluşudur. Ana malzeme de tane boyutu yaklaşık ASTM 7 olmasına karşın geçiş zonunda bu değer 2'dir.

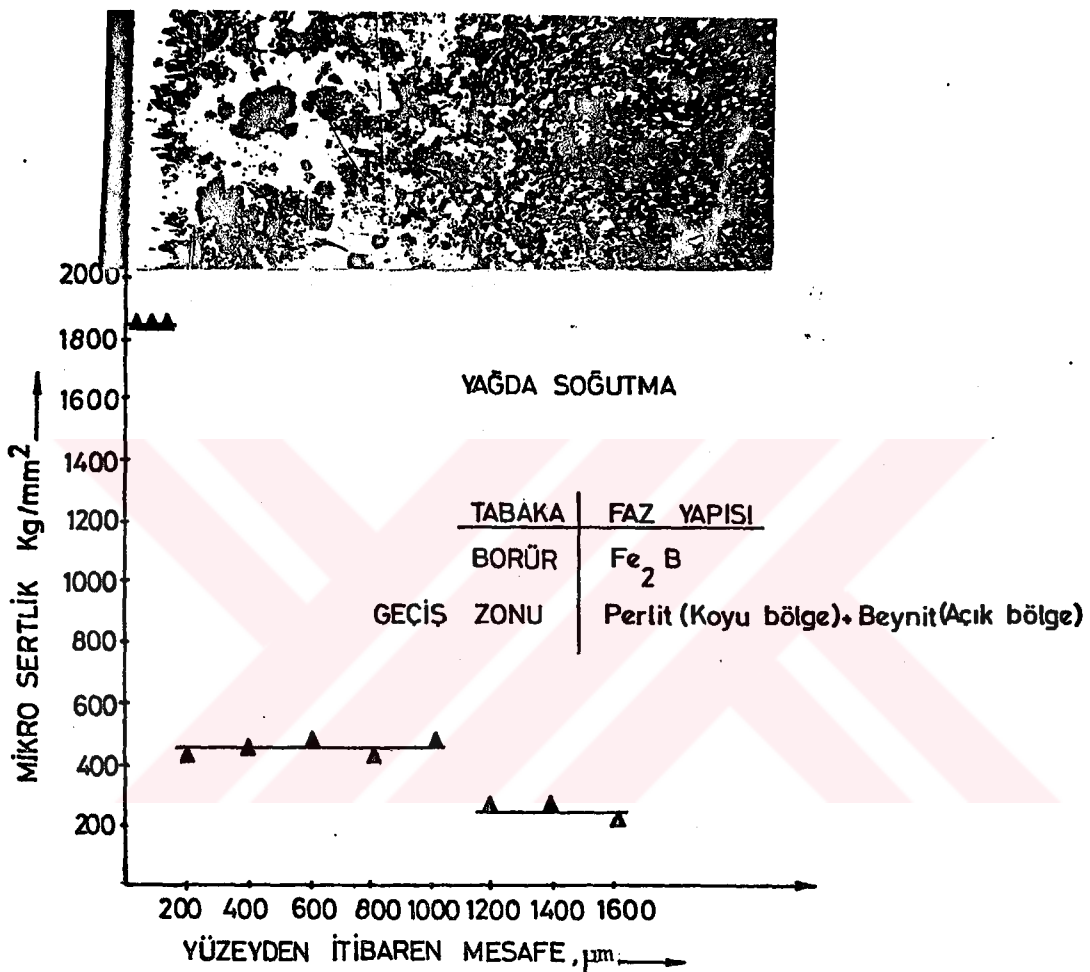
Numunelerin borlama ortamından oda sıcaklığına soğutma hızı arttıkça tek fazlı borür tabakalarında (Fe_2B) diken çatlaklar (Şekil 3.20) raslanmaktadır. Çift fazlı ($Fe_2B + FeB$) tabakalarda ise, havada soğutma dahi, fazlar arası sınır boyunca yüzeye paralel çatlaklırlara neden olmaktadır. Şekil 3.21 çift fazlı borür tabakasındaki çatlaklırları göstermektedir.



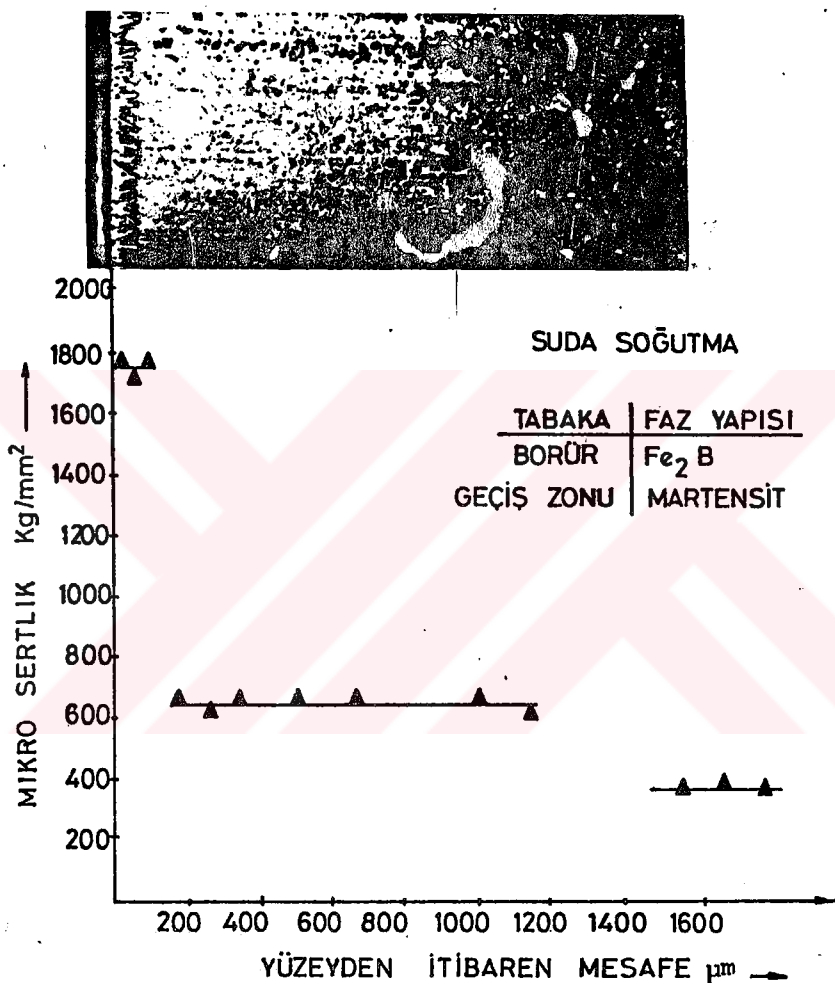
Sekil 3.19-a)- AISI 1042 çeliğinin B21 No'lu banyoda 915 °C'da 5 saat borlamadan sonra; borlama ortamından oda sıcaklığına firinda soğutulmasıyla elde edilen sertlik dağılımları ve mikroyapı görünümleri. 75X



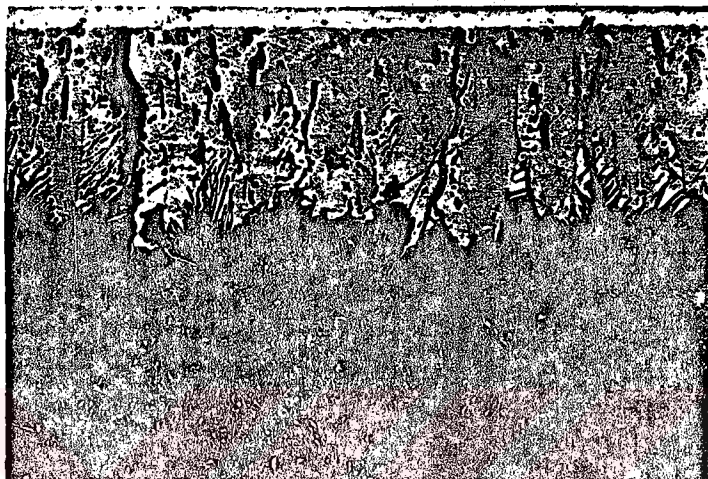
Şekil 3.19-b)- AISI 1042 çeliğinin B21 No'lu banyoda 915 °C'da 5 saat borlamadan sonra; borlama ortamından oda sıcaklığına havada soğutulmasıyla elde edilen sertlik dağılımları ve mikroyapı görünümleri. 75X



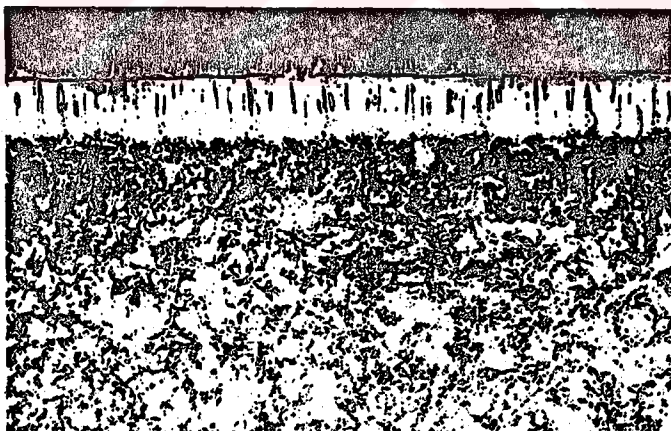
Şekil 3.19-c)- AISI 1042 çeliğinin B21 No'lu banyoda 915°C da 5 saat borlamadan sonra; borlama ortamından oda sıcaklığına yağda soğutulmasıyla elde edilen sertlik dağılımları ve mikroyapı görünümleri. 75X



Şekil 3.19-d)- AISI 1042 çeliğinin B21 No'lu banyoda 915°C . da 5 saat borlamadan sonra; borlama ortamından oda sıcaklığına suda soğutulmasıyla elde edilen sertlik dağılımları ve mikroyapı görünümleri. 75X



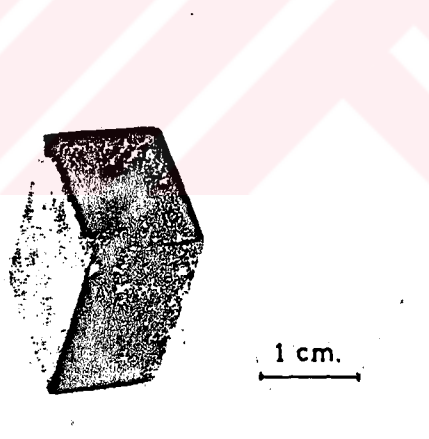
Şekil 3.20. - AISI 1084 çeliğinin, 940 °C sıcaklığındaki "%72 Boraks + %14 Ferro-Silis + %14 Kalsine Borikasit" banyosunda 5 saat borlama işlemin- den sonra oda sıcaklığına suda soğutulması so- nucusu borür tabakasında (Fe_2B) oluşan dikine çatıtlaklar. 320X



Şekil 3.21. - AISI 1042 çeliğinin, 940 °C sıcaklığındaki "%70 Boraks + %7 Ferro-Silis + %23 Kalsine Borikasit" (Banyo No B16) banyosunda 5 saat borlama işleminden sonra oda sıcaklığına ha- vada soğutma sonucu, borür tabakasını oluşturan FeB ve Fe_2B sınırı boyunca oluşan enine çatıtlaklar. 150X

3.10.3.5. Korozyon Deneyi

Şekil 3.1'de boyutları verilen AISI 1042 çeliği 6 saat süreyle "% 72 Boraks + % 14 Ferro-Silik + % 14 Kalsine Borik Asit" ortamında borlanmıştır. Borlama işleminden sonra, tek yüzdeki borlu tabaka taşlamayla kaldırılmıştır. Daha sonra sözü edilen parça 80 °C'daki "% 50 HC1 + % 50 su" banyosunda 90 dakika süreyle bekletildikten sonra elde edilen parça Şekil 3.22'de gösterilmiştir. Şekilden de görüldüğü gibi söz konusu korozif ortam ana malzemeyi büyük ölçüde tahrip ederken, borlu (borür) tabaka tahrip olmadan kabuk şeklinde kalabilmiştir.



Şekil 3.22. - 80 °C'taki (% 50 HC1 + % 50 Su) ortamının, AISI 1042 çeliğindeki borlu tabaka (Fe_2B) ve ana malzemeye yaptığı etki.

3.10.3.6. Borlu Tabakanın Yayınma Kinetiği

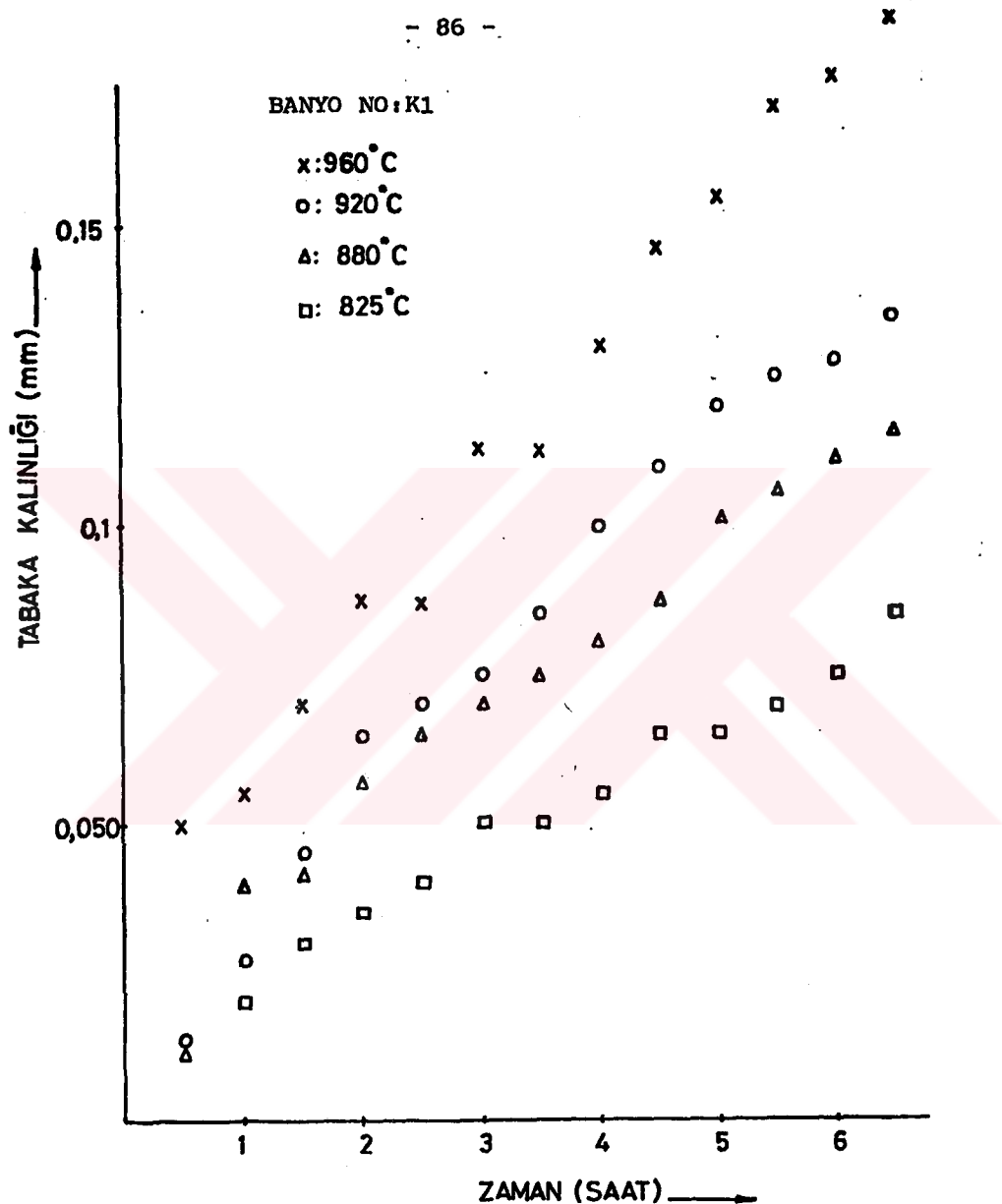
Bu seri deneylerde AISI 1042 çeliği, bileşimleri Tablo 3.6'de verilen iki farklı borlama banyosunda, farklı süre ve sıcaklıklarda borlanarak; borür ve geçiş zonu tabakalarının yayınım kinetiği ayrı ayrı incelenmiştir. Borlama işleminden sonra numuneler havada soğutulmuşlardır.

Tablo 3.6. - Kinetik çalışmalarında kullanılan banyo bileşimi.

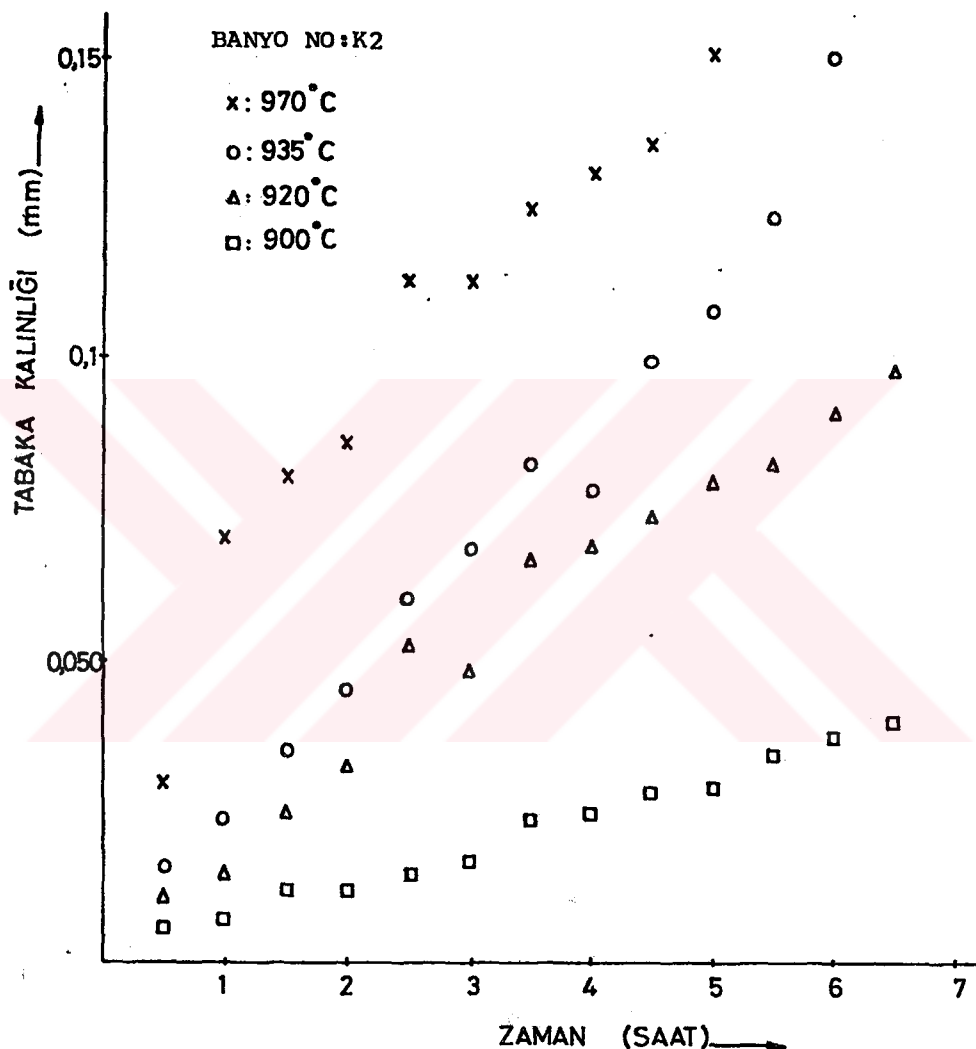
Banyo No	BANYO BİLEŞİMİ %			
	Boraks	Kalsine Borikasit	SiC	Ferro-Silis
K1	66	14	-	20
K2	66	14	20	-

3.10.3.6.1. Borür Tabakasının Yayınma Kinetiği

Tablo 3.6'da bileşimleri verilen ortamlarda farklı sıcaklıklarda borlanan AISI 1042 çeliğinde elde edilen borür tabakası kalınlığının, zamana göre değişimi Şekil 3.23 ve 3.24'de gösterilmiştir.

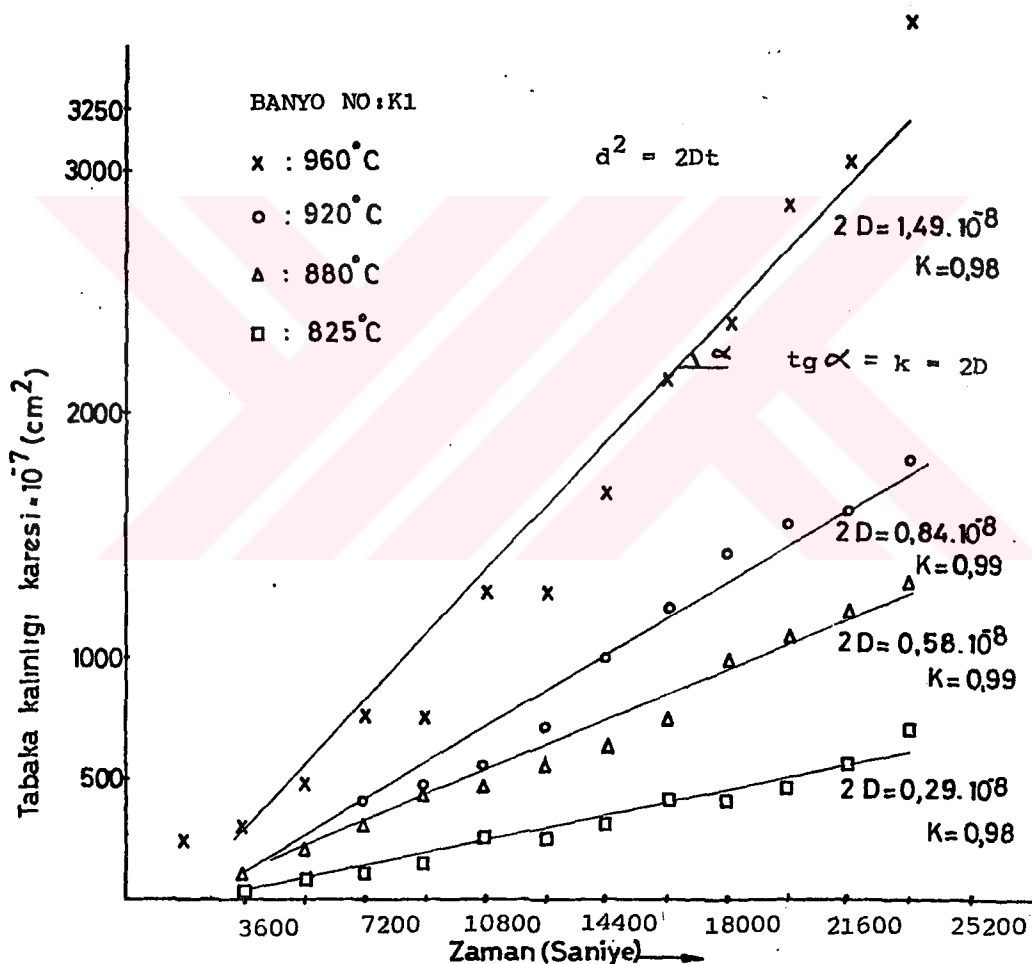


Şekil 3.23. - Tablo 3.6'daki K1 no.1 banyoda farklı sıcaklıklarda borlanan AISI 1042 çeliğinde elde edilen borur tabakası kalınlığının borlama süresine göre değişimi.

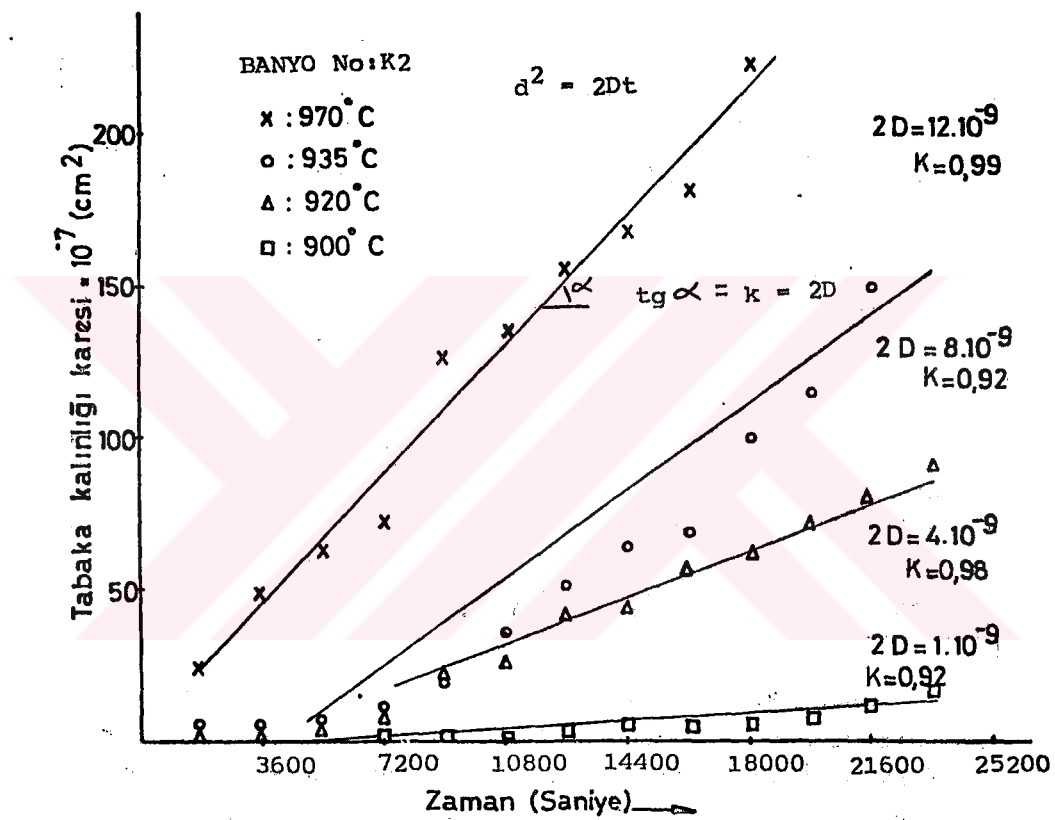


Şekil 3.24. - Tablo 3.6'daki K2 no.lu banyoda farklı sıcaklıklarda borianan AISI 1042 çeliğinde elde edilen borür tabakası kalınlığının borlama süresine göre değişimi.

Her iki banyoya ait "Borür tabakası kalınlığı karesi (cm^2) - zaman (sn)" grafikleri Şekil 3.25-3.26'da verilmiştir. Bu grafiklerden elde edilen difüzyon katsayıları değerleride Tablo 3.7'de ve 3.9'da verilmiştir.)



Şekil 3.25. - K1 No.lu banyoda elde edilen "borür tabakası kalınlığı karesi - zaman" grafiği



Şekil 3.26. - K2 No.lu banyoda elde edilen "borür tabaka kalınlığı karesi - zaman grafiği.

Tablo 3.8. - K1 No.'lu banyo ile farklı sıcaklıklar için elde edilen borür tabakası difüzyon katsayısı değerleri.

Sıcaklık ($^{\circ}\text{C}$)	D (cm^2/sn)	Korelasyon (K)
960	$7,5 \cdot 10^{-9}$	0,98
920	$7,2 \cdot 10^{-9}$	0,99
880	$2,8 \cdot 10^{-9}$	0,99
825	$1,45 \cdot 10^{-9}$	0,98

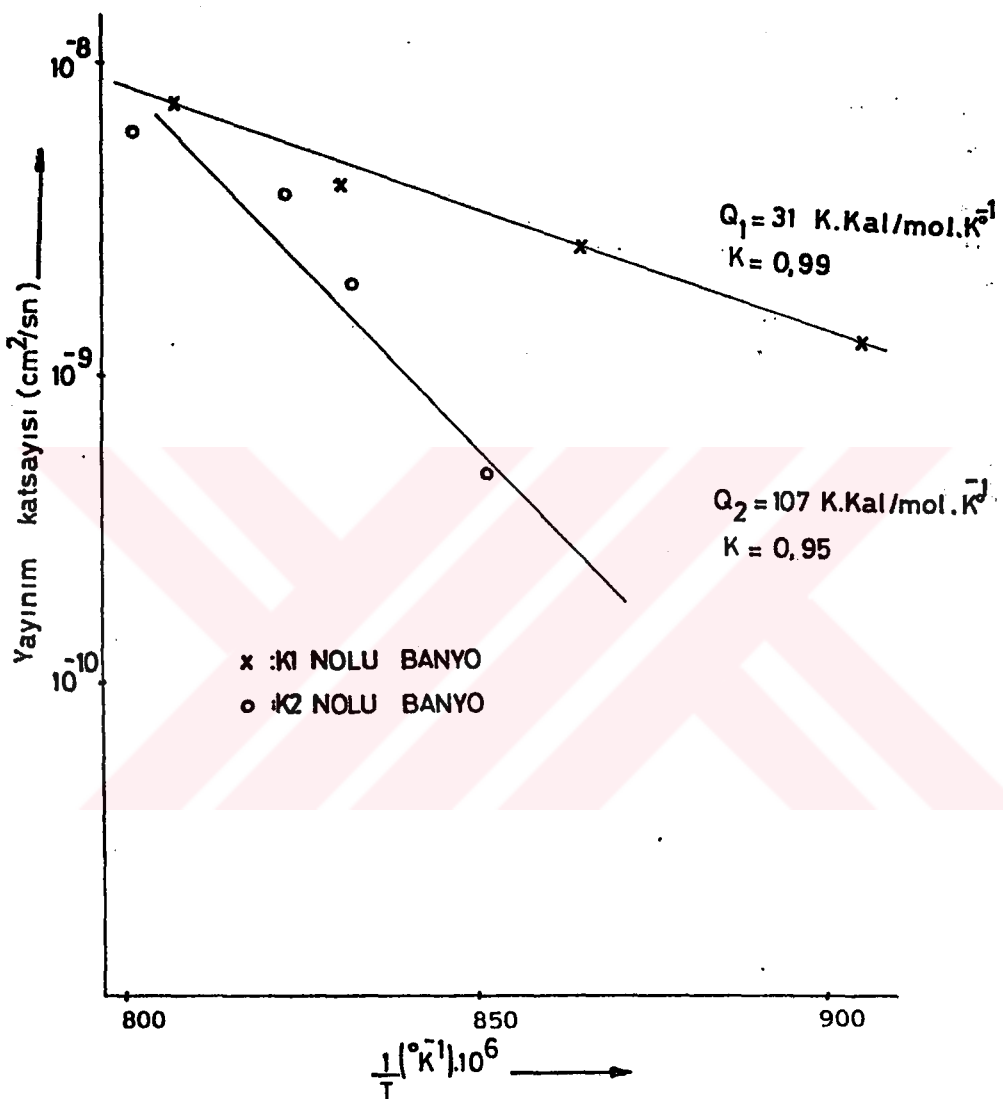
Tablo 3.9. - K2 No.'lu banyo ile farklı sıcaklıklar için elde edilen borür tabakası difüzyon katsayısı değerleri.

Sıcaklık ($^{\circ}\text{C}$)	D (cm^2/sn)	Korelasyon (K)
970	$6 \cdot 10^{-9}$	0,99
935	$4 \cdot 10^{-9}$	0,92
920	$2 \cdot 10^{-9}$	0,98
900	$0,5 \cdot 10^{-9}$	0,92

Şekil 3.27'de her iki banyo için difüzyon katsayısının sıcaklıkla değişimi görülmektedir. Bu diyagramdan yararlanarak hesaplanan, borür tabakasının yayılması için gerekli aktivasyon enerjisi değerleri tablo 3.10'da verilmiştir.

Tablo 3.10. - Farklı banyolarda elde edilen borür tabakasına ait aktivasyon enerji ve frekans faktörü değerleri

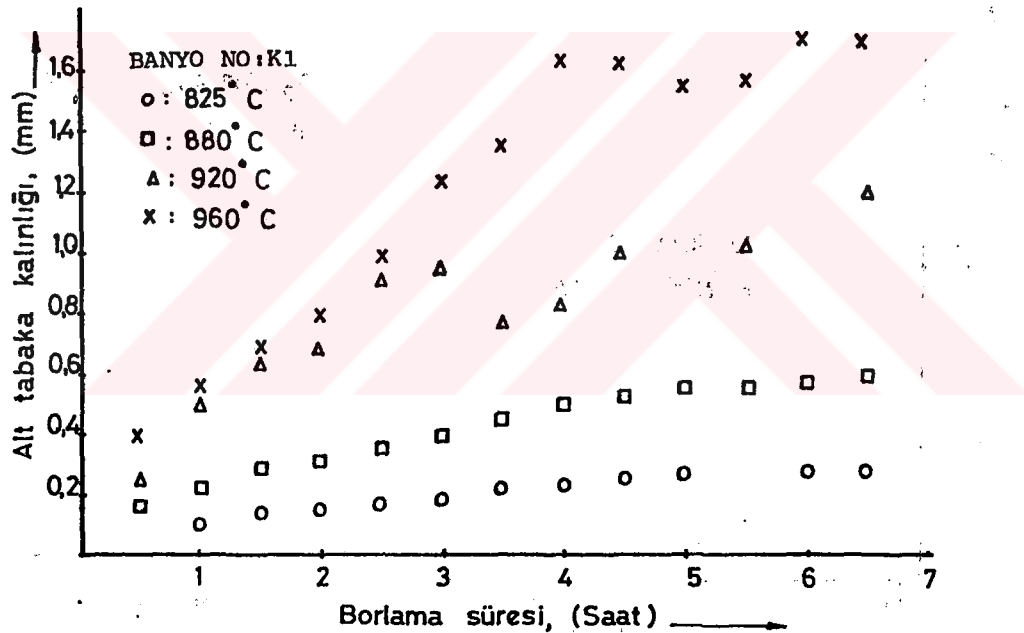
Banyo No	Aktivasyon Enerjisi (Q)
K1	$31 \text{ K.Cal/mol}/{}^{\circ}\text{K}$
K2	$107 \text{ K.Cal/mol}/{}^{\circ}\text{K}$



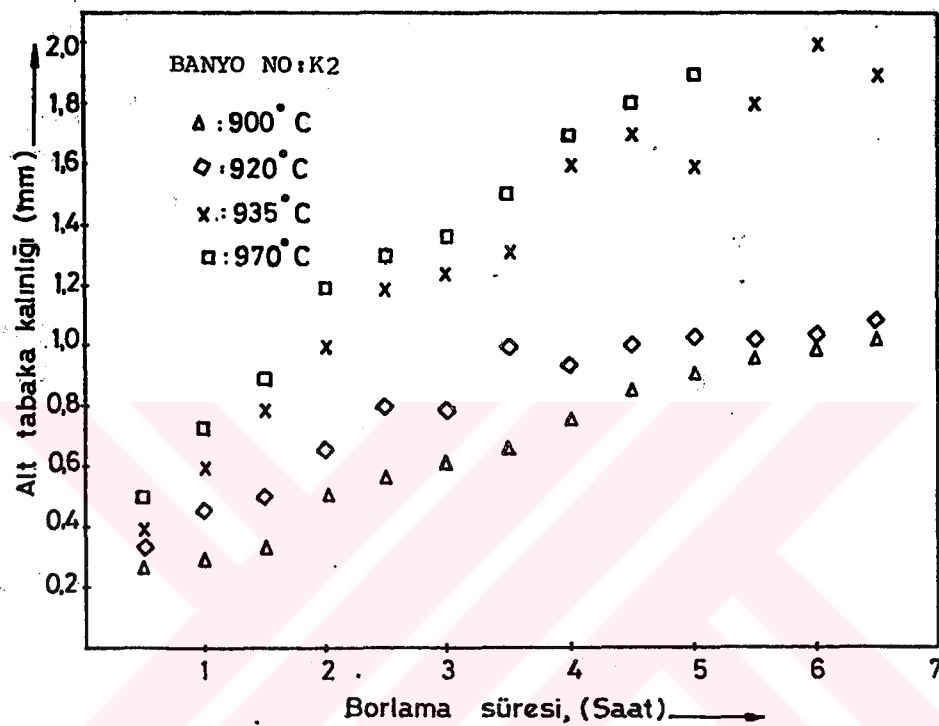
Şekil 3.27. - AISI 1042 çeliğinde K1 ve K2 no.1 lu banyoların
elde edilen borür tabakasına ait "yayının
katsayısı-sıcaklık ilişkisi" (düsey eksen lo-
garitmik alınmıştır.)

3.10.3.6.2. Geçiş Zonu Yayınım Kinetiği

Tablo 3.7'de bileşimleri verilen ortamlarda farklı sıcaklıklarda borlanan AISI 1042 çeliğinde elde edilen geçiş zonu tabaka kalınlığının zamana göre değişimi Şekil 3.28 ve 3.29'da verilmiştir.

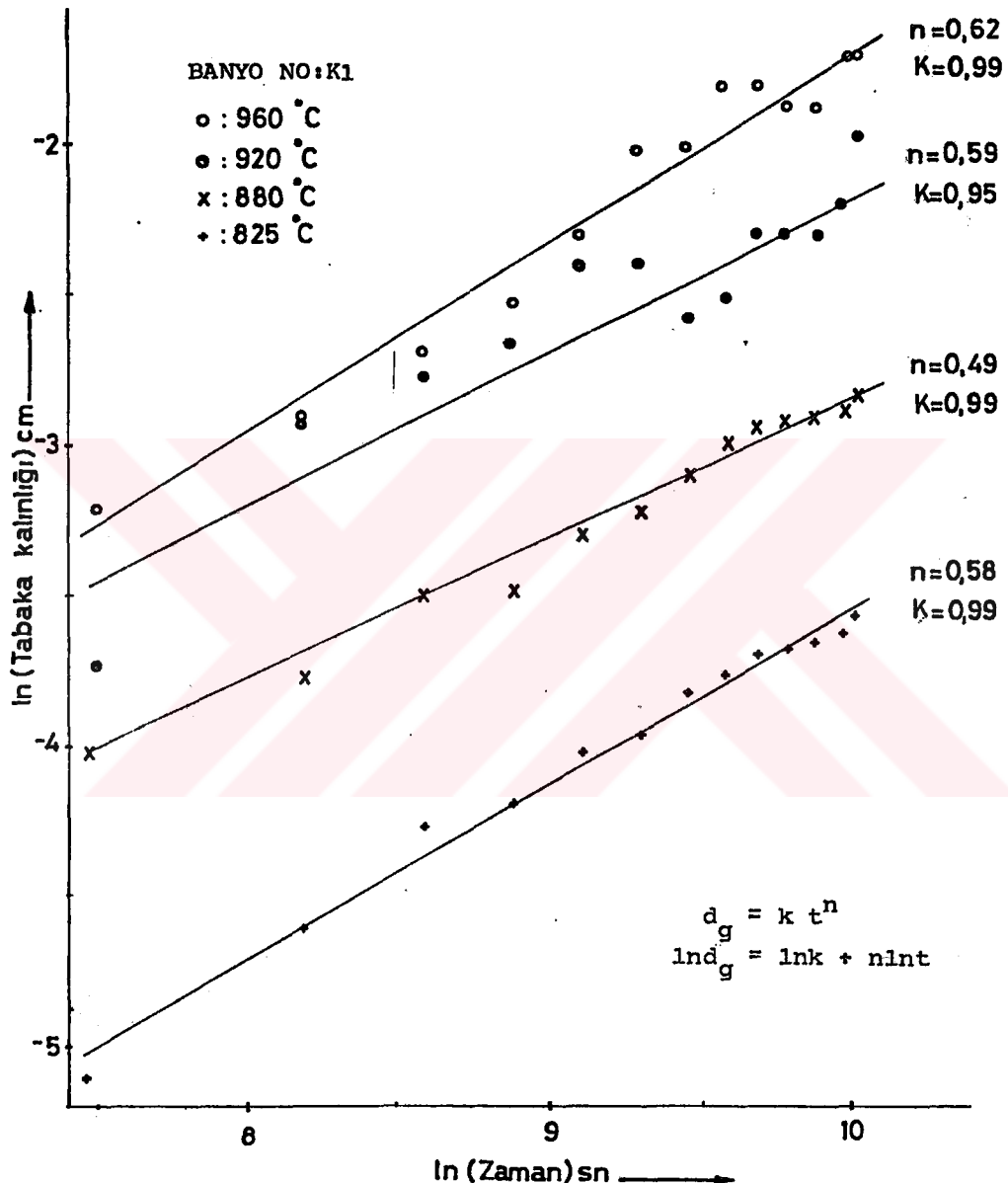


Şekil 3.28. - Tablo 3.7'deki K1 no.lu banyoda farklı sıcaklıklarda borlanan AISI 1042 çeliğinde elde edilen geçiş zonu tabaka kalınlığının borlama süresine göre değişimi.

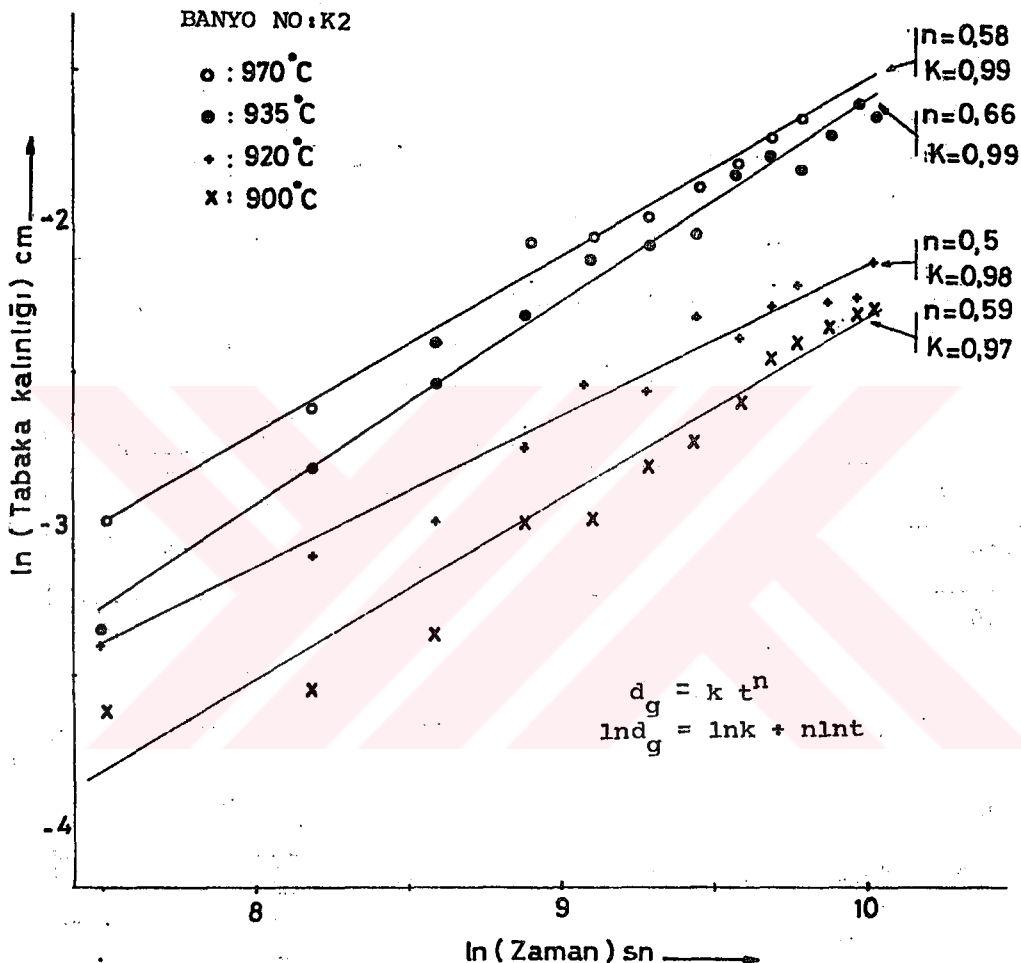


Şekil 3.29. - Tablo 3.7'deki K2 no.1 banyoda farklı sıcaklıklarda borlanan AISI 1042 çeliğinde elde edilen geçiş zonu tabaka kalınlığının borlama süresine göre değişimi.

Söz konusu çelik ve banyolarla elde edilen geçiş zonu "tabaka kalınlığı-zaman" ilişkisinin logaritmik eksenlerde gösterilim şekli Şekil 3.30 ve 3.31'de verilmiştir.



Şekil 3.30. - Tablo 3.7'deki K1 no.'lu banyoda farklı sıcaklıklarda borlanan AISI 1042 çeliğinde elde edilen geçiş zonu tabaka kalınlığının borlama süresine göre değişiminin logaritmik eksenlerde gösterilmesi.



Şekil 3.31. - Tablo 3.7'deki K2 no.1 lu banyoda farklı sıcaklıklarda borlanan AISI 1042 çeliğinde elde edilen geçiş zonu tabaka kalınlığının borlama süresine göre değişiminin logaritmik eksenlerde gösterilimi.

Şekil 3.30 ve 3.31'den de görüldüğü gibi, logaritmik eksenlerde geçiş zonu tabaka kalınlığı ilişkisi lineerdir. Farklı banyolarda değişik sıcaklıklarda elde edilen "tabaka kalınlığı-zaman" bağıntıları Tablo 3.11'de verilmiştir.

Tablo 3.11. - Farklı banyolarda değişik sıcaklıklar için elde edilen "geçiş zonu tabaka kalınlığı (cm) - zaman (sn)" bağıntıları.

Sıcaklık (°C)	Tabaka kalınlığı "dg" (cm) - zaman "t" (sn) bağıntısı	
	Banyo No: K1	Banyo No: K2
970	$dg = 3.71 \times 10^{-4} t^{0.62}$	$dg = 6.43 \times 10^{-4} t^{0.58}$
960	$dg = 6.05 \times 10^{-4} t^{0.52}$	—
935	—	$dg = 2.57 \times 10^{-4} t^{0.66}$
920	$dg = 4.25 \times 10^{-4} t^{0.49}$	$dg = 7.84 \times 10^{-4} t^{0.5}$
900	—	$dg = 2.55 \times 10^{-4} t^{0.59}$
880	$dg = 4.25 \times 10^{-4} t^{0.49}$	—
825	$dg = 8.1 \times 10^{-5} t^{0.59}$	—

4. Sonuçların Tartışması

Sıvı borlama ortamının ana bileşeni olan "Boraks" ülkemizde üretildiğinden borlama metodu olarak "normal sıvı ortam borlaması" seçilmiştir.

İlk çalışmalarla "boraks'a" Ferro-Silis ilave edildiğinde çeliklere bor yayındığı tesbit edilmiştir. Banyodaki ferro-silis miktarı arttıkça borlu tabaka kalınlığının arttığı, fakat banyo akışkanlığının azaldığı gözlenmiştir. Akışkanlık ve çalışma koşulları gözönüne alındığında ferro-silis'in maksimum olarak % 25 ilave edilebileceği bulunmuştur. "Boraks+Ferro-Silis" sistemine kalsine borik asit ilavesi ise, Şekil 3.7'de de görüldüğü gibi borlu tabakanın kalınlığının 3-4 misli arttırmıştır. Borür tabakası borlama koşullarına bağlı olarak tek fazlı (Fe_2B) veya çift fazlı (Fe_2B+FeB) olabilmektedir. Borlu tabakanın tek fazlı (Fe_2B) olması, mekanik özellikler yönünden istenen bir durumdur. "Boraks+Ferro-Silis+Kalsine Borik Asit" sistemiyle elde edilen borür tabakası faz yapısının sistemdeki kalsine borik asit miktarı ile ilgili olduğunun tasbidi, tezin önemli bir bulgusu olmuştur. Ülkemiz kaynakları, borür tabakasının faz yapısı ve çalışma koşulları bir arada gözönüne alındığında optimum banyo bileşimi olarak, "% 66 Boraks % 20 Ferro-Silis % 14 Kalsine Borik Asit" bileşimli banyo önerilmiştir.

Bu banyo ile AISI 1042 çeliğinde elde edilen borür tabakasına ait aktivasyon enerjisi 31 k.kal/mol/K olarak bulunmuştur. Bulunan bu değer Tablo 2.16'da verilen değerlerle kıyaslandığında, (8, 51, 58) no'lu literatürda verilen 36-65 K.kal/mol $^{\circ}$ K değerlerinden oldukça düşük, (55) (57) ve (57) no'lu literatürda verilen 13, 21 K.kal/mol

değerinden yüksek olduğu görülmüştür.

Borlu tabaka özellikleriyle ilgili en önemli tesbit, borür tabakası (Fe_2B) altındaki geçiş zonunun varlığı ve bu zonun oluşum nedeninin çeşitli metodlarla (metalografi, spektral analiz, otoradyografi) aydınlığa kavuşturulması olmuştur. Geçiş zonu, (37) no.lu literatürün iddia ettiği gibi borür tabakasından 3-4 misli değil, 10-15 misli daha kalın bulunmuştur. Bir çok araştırcı geçiş zonunun varlığının farkına varamazken, bazı yazarlar da (13, 37, 38, 39, 41) söz konusu tabakanın optik mikroskop taki perlite zengin görünümüne dayanarak bu tabakanın borür tabakasından alta yayılan karbon varlığından ileri geldiğini iddia etmişlerdir. Bazı araştırcılar (38, 40) ise, borür tabakası altında borun demirde eriyiği olan bir bölgenin bulunabileceğini ileri sürmüştür. Si, C ve B'nin kesit boyunca yapılan analiz neticeleri, Şekil 3.12'de verilmiştir. Si ve C'nin geçiş zonunda değişmediği (ana malzemedeki seviyesini koruduğu), bor'un ise dıştan içe doğru tedrici olarak azaldığı anlaşılmıştır. Aynı bölgenin optik mikroyapı, otoradyografi ve spektral analiz sonuçları gayet uyumlu olarak geçiş zonunun bor'un varlığından oluştuğunu göstermektedir. Borür tabakası ve bu tabaka-daki fazlar (FeB ve Fe_2B) metalografik olarak rahatlıkla tesbit edilebilmektedir. Şekil 3.10 Von G.V. (40) geçiş zonunun metalografik olarak ispat edilemediğini ileri sürmüştür. Bu çalışmada geçiş zonu, orta karbonlu çeliklerde perlite, zengin görünümyle metalografik olarak; düşük karbonlu, yüksek karbonlu ve alaşımı çeliklerde ise otoradyografik olarak tesbit edilebilmiştir.

Geçiş zonu ile ilgili diğer bir bulgu ise bor'un bu zonda, çeliklerde alaşım elementi olarak gösterdiği et-

kileri göstermesidir. Geçiş zonunun ıslıl işleme hassas olmasına (bor varlığından sertleşme kabiliyetinin artması), bor'un ostenit dönüşümünü yavaşlatması sonucudur. Ayrıca bu zonda gözlenen ostenit tane irileşmesi de, bor'un合金 elementi olarak çeliklerde gösterdiği tipik özelliklerdendir.

Geçiş zonu ile ilgili diğer bir gözlem de, bu zonda bor yayınıminin malzeme haddeleme yönüne paralel bir yönlenme göstermesidir. Şekil 3.13 ve 3.15. Bu durum bor'u atom boşluklarına yerleştigi göstermektedir. Bu konuda literatürde herhangi bir çalışmaya rastlanmamıştır.

Uygulanan deney sıcaklıkları için geçiş zonu kalınlığı - zaman bağıntısının logaritmik eksenlerde doğrusal ($d_g = kt^n$) ve $n = 0,5 - 0,6$ mertebesinde olduğu görülmüştür.

Bu çalışmada önerilen banyo ile elde edilen borür tabakası, Şekil 3.9 ve 3.10'da görüldüğü gibi, orta ve düşük karbonlu çeliklerde ana metale zik-zaklı bir şekilde tutunmuştur. Alaşimli ve yüksek karbonlu çeliklerde ise, bu tutunumun düz bir hat boyunca olduğu Şekil 3.17 ve 3.18'de görülmektedir. Bu tür borür tabaka geometrisi, literatürde rastlanan tipik görünümlerdir.

Literatür (9, 10, 28, 29), çeliklerdeki合金 elementleri miktarı ve karbonun artmasıyla bor yayınıminin yavaşladığı konusunda hemfikirdir. Bu araştırmada da benzer durumun varlığı Şekil 3.17 ve 3.18'de görülmektedir.

Isıl işlemin borür tabaka sertliğini değiştirmedigi (9) no.lu literatürle uyumlu olurken, alaşimli çeliklerin borür tabakası sertliği ile alaşimsız çeliklerin borür tabakası sertliği arasında bariz bir fark elde edilememesi

(20) no.lu literatürün iddialarına ters düşmektedir.

Bor'un malzemelerin bıçaklama ortamından oda sıcaklığına soğutulma hızı, borür tabakasının fiziksel durumunu etkilemektedir. Çift fazlı (Fe_2B+FeB) tabakalarda havada soğutma dahi, fazlar arası sınır boyunca yüzeye paralel çatıtlaklar oluşturmaktadır. Bu durum farklı fazlardaki farklı iç gerilimlerden kaynaklanmaktadır. Tek fazlı bor tabakasına sahip malzemelerde bıçaklama ortamından oda sıcaklığına hızlı soğutma (suda) borür tabakasında dikine çatıtlaklara neden olmaktadır. Bu durum Şekil 3.20'de görülmektedir.

5. Genel Sonuçlar

Ülkemizde bulunan hammaddeelerle borlama banyosu bileşimlerini tesbit etme ve bulunan banyolarla elde edilen borlu tabakaların özelliklerini araştırma amacında olan bu çalışmada aşağıdaki sonuçlara varılmıştır.

1- Çeliklere bor yayınımı, "Boraks + Ferro-Silis" karışımından oluşan ortamlardan (banyolardan) gerçekleştirilebilmektedir. Banyodaki Ferro-Silis miktarı arttıkça borlu tabaka kalınlığının arttığı, çalışma koşulları ve tabaka homojenliğinin ise bozulduğu gözlenmiştir. Bu nedenle, Boraks'a maksimum % 25 Ferro-Silis ilavesi uygun görülmüştür.

2- "Boraks + Ferro-Silis"den oluşan banyolarla elde edilen borür tabakası, tek fazlıdır (Fe_2B).

3- "Boraks + Ferro-Silis" sistemine kalsine borik asit ilavesi, borlu tabaka kalınlığını 3-4 kat artırmaktadır.

4- Borür tabaka kalınlığının banyodaki kalsine borik asit miktarıyla orantılı olarak artmasına rağmen, % 18' den fazla kalsine borik asit ilavesi, borür tabakasında Fe_2B fazı yanında FeB fazının da oluşmasına neden olmaktadır.

5- Ülkemiz kaynakları, Borür tabakasının özellikleri ve çalışma şartları bir arada gözönüne alındığında optimum banyo bileşimi olarak;

"%66 Boraks+%20 Ferro-Silis+%14 Kalsine Borik asit" karışımı en uygun görülmüştür.

Önerilen bu banyo ile elde edilen borür tabakası yayınım aktivasyon enerjisi değeri $31 \text{ K.kal/mol} \text{ } \text{K}^{-1}$ olarak bulunmuştur.

6- Borlu tabaka, borür tabakası (Fe_2B veya $\text{Fe}_3\text{B} + \text{FeB}$) ve geçiş zonundan oluşmaktadır. SAE 1042 çeliğinde elde edilen geçiş zonu, Borür tabakasından 10 - 15 kat daha kalındır.

7- Geçiş zonu, orta karbonlu çeliklerde perlitçe zengin görünümüyle metalografik olarak kolayca; düşük karbonlu, yüksek karbonlu ve合金li çeliklerde ise otoradyografik olarak sağlıklı bir biçimde tespit edilebilmektedir..

8- Geçiş zonu bor'un varlığından oluşmaktadır. Bor, bu zonda dıştan içe doğru tediçi olarak azalmaktadır. Söz konusu zonda bor'un mikroskopik dağılımı, ıslıl işlem şartları ve çelik cinsine göre değişmektedir.

9- Geçiş zonundaki bor, çeliklerde合金 elementi olarak gösterdiği tipik özellikleri bu zonda da göstermektedir.

10- Geçiş zonundaki bor yayınımı, malzeme haddeleme yönüne paralel bir yönlenme göstermektedir.

11- Borür tabaka sertliği, ıslıl işlemle değiştirilememektedir.

12- Alloylu çeliklerin borür tabaka sertliği ile alloyzsız çeliklerin borür tabaka sertliği arasında bir fark görülememiştir.

13- Borür tabakasının fiziksel durumu (çatlama), ıslıl işleminden etkilenmektedir. Banyo ortamın oda sıcaklığına hızlı soğutmalar tabakada çatlamlara neden olmaktadır

6. - EKLER

EK-1

DOSYA: BD FORTRAN 05/16/84 17:17:43 İTÜ - MACKA

```
*****  
C* BU PROGRAM, N SAYIDAKI (X,Y) NOKTASINDAN EN KUCUK KARELER *  
C* METODUYLA Y=AO+A1X SEKLINDE GECIRILEN DENKLEMİN AO VE A1 *  
C* KATSAYILARINI BULUR. VERILEN X DEGERLERINI BULUNAN DENKLEMDE*  
C* YERINE KOYARAK Y DEGERLERINI BULUR. AYRICA DOGRUNUN NOK- *  
C* TALARA UYGUNLUK DERECESI OLAN KORELASYONU(K) HESAP EDER. *  
C* (KORELASYON(K)=1 DURUMUNDA DOGRUNUN NOKTALARA %100 UYGUN- *  
C* LUGUNU GOSTERIK.) *  
C* BU PROGRAM 1983 SENESINDE NAZIM BOZKURT TARAFINDAN HAZIR- *  
C* LANMISТИR.  
*****  
DIMENSION X(100),Y(100),YI(100),XX(100),YY(100)  
READ(5,11)N  
DO 6 IJK=1,NM  
READ(5,11)N  
DO 8 L=1,N  
READ(5,1)XX(L),YY(L)  
X(L)= ALOG(XX(L))  
Y(L)= ALOG(YY(L))  
1 FORMAT(2F20.12)  
8 CONTINUE  
11 FORMAT(I2)  
CALL KARMET(X,Y,N,A1,A0,R,YI)  
20 WRITE(6,7)  
WRITE(6,9) (X(I),Y(I),I=1,N)  
WRITE(6,999)A1,A0,R  
WRITE(6,77)  
WRITE(6,99) (X(I),Y(I),I=1,N)  
7 FORMAT(3X,'VERILER: ',/,'X','X','9X,'Y','/,'6X,'---',8X,'---',/)  
77 FORMAT(3X,'DENKLEMDE X E KARIİ GELEN Y DEGERLERİ: ',/,'7X,'X  
'.' '9X,'Y','/,'6X,'---',8X,'---',/)  
9 FORMAT(1X,F18.9,2X,F20.12,/)  
99 FORMAT(3X,'DENKLEMİN KATSAYILARI: ',/,'3X,'A1=',F20.12,3X,'A0=',F18.  
'12.4X,'KORELASYON=',F10.3,///)  
99 FORMAT(1X,F20.9,2X,F20.9,/)  
6 CONTINUE  
STOP  
END  
SUBROUTINE KARMET(X,Y,N,A1,A0,R,YI)  
DIMENSION X(1),Y(1),YI(1)  
TXY=0.0  
TY=0.0  
TX=0.0  
TYK=0.0  
TXK=0.0  
DO 1 K=1,N  
TY=TY+Y(K)  
TX=TX+X(K)  
TYK=TYK+Y(K)**2  
TXK=TXK+X(K)**2  
1 TXY=TXY+Y(K)*X(K)  
V=N  
A1=(V*TXY-(TX*TY)/(V*TXK-TX**2))  
A0=(TY-A1*TX)/V  
R=(TXY-((TX*TY)/V))/SQR((TXK-((TX**2)/V)*(TYK-((TY**2)/V)))  
DO 3 I=1,N  
3 YI(I)=AO+A1*X(I)  
RETURN  
END
```

7. YARARLANILAN KAYNAKLAR

1. Bor Hakkında Rapor, Etibank İşletmeler Dairesi
Başkanlığı, Nisan 1982, ANKARA
2. ÖZPERKER, I.,
"Bor'un Kullanımı, Tüketimi ve Ulusal Gelire
Katkı Olanağı", Türkiye Madencilik Bilimsel ve Teknik
III. Kongresi, 21-24 Şubat 1973, ANKARA
3. Briefing Dosyası, Etibank Bandırma Boraks ve Asit
Fabrikaları İşletme Müessesesi, BANDIRMA
4. KRISTTAL, M.A.,
Diffusion Processes in Iron Alloy
Moskov 1963, Translatet from Rusian
Copraght 1970, Israel Program for Scientific
Translation Ltd., IPST Cat No; 5677
5. FILYAND, M.A., SEMENOVA E.I.,
"Handbook of the Rare Elements, Vol.2, Refractory
Elements"
Macdonald Technical and Scientific,
49 Poland Street, London W.1.
6. MAL, k.K., and TARKAN, S.E.,
"Diffused Boron Ups Hardness, Wear Resistance of Metals",
Materials Engineering, 77(1973), 70-71

7. KEOWN, S.R.- PICKERING, F.B.,
"Some Aspects of the Occurrence of Boron in Alloy Steels"
Metal Science, 26, 7, 1977, 225-234
8. BIDDULPH, R.H.,
"Boronising"
Heat Treatment of Metals, 1, 3, 1974, 95-97
9. EYRE, T.S.,
"Effect of Boronising on Frictionand Wear of Ferrous Metals", Wear, 34 (1975), 383-397
10. LAKTIN, Y.,
"Engineering Physical Metallurgy"
6nd Edition, Moskov, English Translation,
Mir Publishers, 1977
11. EPIK, A. P.,
"VI. Boride Coatings",
Protective Coatings on Metals, Vol.2
(Consultants Bureau, New York 1970), 598-611
12. A. GRAF, VON, MATUSCHKA,
"Borieren"
Carl Hanser Verlag München Wien, 1977
13. GOURIOT, P. Y., FILLET P., THEVENOT F., DRIVER S. H.,
BRUYAS H.,
"The Influence of Alloying Element Addition on the Boriding of Steels"
Mat. Sci. and Eng., 55(1982), 9-19

14. BANERJI, S.K., MORALL, J.E.
"Boron in Steel"
International Symposium, Milwaukee, Wisconsin,
September 18, 1979,
Publication of the Metallurgical Society of AIME
15. BAZILLE, P.,
"Connaissances Actuelles Sur La Boruration",
Traitement Thermique, 111(1977), 31-38
16. SINGHAL, S.C.,
"A Hard Diffusion Boride Coating for Ferr Materials",
Thin Solid Films, 45, (2), 1977, 321-329
17. GELLER, YU.,
Tool Steels, 1 nd Edition, Moskov, English Translation,
Mir Publishers, 1978
18. BIDDULPH, R.H.,
"Boronizing For Erosion Resistante"
Thin Solid Films. 45, (2), 1977, 341-347
19. LINIAL, A.V., LAVELLA J.P.,
"New Processes for Obtaining Increased Metal Hardness
and Reduce Friction Properties by Boronizing.-I"
Industrial Heating, December 1974, 10-14
20. PERMYAKOV, V.G., LOSKUTOV V.F., TRUSH I. KH., PISARENKO V.N.,
"Boriding of Tool Steels in Commercial Boron Carbide"
Met. Sci. Heat Treat. 16, (1-2), 1974, 160-162

21. ANDREW, V. LINIAL,

"New Processes for Obtaining Increased Metal Hardness
and Reduced Friction Properties by Boronizing"
Part III, Industrial Heating, December 1974, 36-40

22. FIEDER, H. C., SIERASKI R. J.,

"Boriding Steels for Wear Resistance" .
Metal Progress, February 1971, 101-107

23. FICHTL, W.,

"Über Neue, Erkenntnisse Auf Dem Gebiet Des Oberflachen
Borierens"
Harterei-Technische Mitteilungen, 29(1974 Heft 2/Juni,
113-119

24. VENKATASUBRAMANIAN, S.R., IYER, K.J.L.,

"Boranising of Steel" "
Tool Alloy Steel, 11, (12), 1977 453-455

25. ALIMOV, YU. A.,

"Distribution Between the Diffusion Layers of Borided
KhVG-Type High-Carbon Steels",
Zashchitnye Pokrytiya na Metallakh, 1974, (8), 48-49.
(Met. Abst. Sept. 1975, 56-0536 no.daki özeti)

26. NOBORU, Y., NOBUYUKI, K., and HONDA, H.,

"Boriding of Iron Surface by Treating with B_4C in
Powdered State. Super-Hardening Methods for Steel
Surfaces-I."
J. Metal Finishing Soc. Japan, Sept. 1973, 24, (9),
517-521, (Met. Abst. April 1974, 56-0086'nodaki özeti)

27. YAKHNINA, V.D., KOZLOV, A.M., LUK'YANITSA, A.I.,
"Physicochemical Characteristics of Powder Boronizing",
Theory and Technology of Sintering, Thermal, and
Chemicothermal Treatment Processes, Plenum Publishing
Corporation, 1979,
28. KUNST, H., SCHaabER, O.,
"Beobachtungen Beim Oberflachenborieren Von Stahl.-
III Borierverfahren.", HTM., 22(1967) Heft 4.
275-284
29. BLANTER, M.E., BESEDIN N.P.,
"Rate of Diffusion of Boron in Iron-Base Alloys"
Metallovedenie i Obrabotka Metallov., 1, (6). 1955,
3-9 Henry Bratcher Metallurgical Translations, ASM
Metals Information, Metals Park, Ohio 44073
30. LYAKHOVICH, L. S.
"Liquid Boriding"
Met. Sci. Heat Treat., 18, (7-8), July-Aug. 1976,
647-648
31. LYAKHOVICH, L.S., KOSACHEVSKII, L. N., VOROSHNIK, L.G.,
TUROV, YU. V., KRUKOVICH, M.G., VASIL'EV, L.A.,
"Low-Temperature Boriding"
Met. Sci. Heat Treat., 16, (1-2), 1974, 158-159
32. SOONG HO HAN, CHUN JOHN S.,
"A Study on the Electroboronizing of Steel by
Superimposed Cyclic Current",
Journal of Material Science 15(1980), 1379-1386

33. THACHEV, V.N., GRIGOROV, P.K., KATKHONOV, B.B.,
"Bath for Electrolytic Boriding"
Met. Sci. Heat Treat., 17, (3-4), 1975, 348-350
34. GALUSHKO, V.P., MASAL'SKII, V.L., VARENKO, E.S., IVANCHENKO-LIPSKII, YU. M.,
"Effect of the Composition of the Bath on the Temperature of Electrochemical Boriding of Steel"
Translated from Metallovedenie i Termicheskaya Obrabotka Metallov, No.11, pp.40-41, Nov.1965
35. SKUGOROVA, L.P., NECHAEV, A.I.,
"Investigation of the Gas Boriding Process"
Met. Sci. And Heat Treatment, 15, (11-12), 1973,
989-990
36. BOZKURT, N., GEÇKİNLİ, A.E., GEÇKİNLİ, M.,
"Autoradiographic Study on Boronized Steel"
Materials Science and Engineering, 57, 1983, 181-186
37. LOVSHENKO, F.G., ve ARKADAŞLARI
"Diffusional Boronizing of Sintered Steels",
Sov. Powder Metal. Met. Ceram., 17, (2),
Feb 1978, 113-115.
38. LILIENTAL, W., TACIKOWSKI, J.,
"Effect of Microstructure of the Boronized Layer on Its Tribological Properties"
Proceedings of the 18th International Conference on Heat-Treatment of Materials,
6-8 May 1980, Detroit, Michigan, from ASM.

39. POKHMURSKII, V.I., PROTSEK, V.G., MOKROVA, A.M.,
"Redistribution of Elements in the Surface Layers
of Borided Alloy Steels"
Fiz. Khim. Mekh. Mater., (2), 1980, 91-93
(Met. Abst. Nov. 1980, 56-0937' Nodaki Özeti)
40. WAHL, V. G.,
"Borieren-ein Verfahren Zur Erzeugung Harder
Oberflächen Bei Extremer Verschleiß Beanspruchung",
Sonderdruck Aus VDI-Z, 117, (1975) Nr.17, 785-789
41. POKHMURSKII, V.I., KUCHEREPA, L.M.,
"Boriding of High-Carbon Steel"
Met. Sci. Heat Treatment, 19, (12), 1977, 1048-1049
42. KRZYMINSKI, H., KUNST, H.,
"Borieren Refraktärer Metalle"
Harterei-Technische Mitteilungen, 28, (1973) Heft
2/Juni, 100-112
43.
The Borofuse Process (Pamphlet),
Materials Development Corp.,
81 Hicks Ave., Medford, Mass. 02155, 1980, pp 2
44. SINGHAL, S. C.,
"An Erosion-Resistant Coating for Titanium and Its
Alloys"
Thin Solid Films, 53(1978) 375-381

45. BLAZON, M., STANJEVIC, B., VELJKOVIC, V.,
"Effect of Alloying Elements on the Formation of
Boride Layer on Steel"
Scripta Metalurgica, 9(1975), 1153-1156
46. PERMYAKOV, V.G., YAKOVCHUK, YU. E., CHEREPIN, V.T.,
AMIRKHANOVA, T. V., MAIFET, YU. P.,
"Effect of Silicon on formation Boride Coating"
Met. Sci. Heat Treat., Sept. 1973, 251-253
47. BOZKURT, N., ÜÇİŞIK, A. H., SAFOĞLU, R. A.,
"Çeliklerde Bor ile Yüzey Sertleştirme"
3.Uluslararası Metalurji Kongresi, 5-6-7 Aralık 1979,
Orta Doğu Teknik Üniversitesi, 545-560
48. B.V. BABUSHKIN and B.Z. POLYAKOV.,
Residuar Stresses In Steel After Boriding From Melts,
Met. Sci. Heat. Treat., 15, (7-8), 1973, 577-580
49. RILE, M.,
"Reasons For The Formation Of Cracks In Boride
Coatings on Steel"
Met. Sci. Heat Treat., 16, (9-10), 1974,
836-839
50. CASADESUS, P., FRANTZ, C., GANTOIS, M.,
"Boriding With a Thermally Usstable Gas (Diborane)"
Metallurgical Transactions 10A, Nov. 1979, 1739-1743
51. KUNST, H., SCHAABER, O.
"Beobachtungen Beim Oberflächenborieren Von Stahl 111"
Harterei-Techn. Mitt. 22(1967) Heft 1, 1-25

52. BONOMI, A., HABERSAAT, R., BIENVENU, G.,
"Electrochemical Boriding of Nitriding Steel in
Molten Salts",
Surface Technology, 6(1978), 313-319
53. BUGAKOV, V.Z.,
Diffusion In Metals and Alloys
Heningrad-Moskva 1949, Israel Program For Scientific
Translation Ltd., Printed in Jerusalem by Keter
Press Binding Wiener Bindery Ltd.,
Jerusalem, 1971
54. WERNER SCHATT,
"Einführung In Die Werkstoffwissenschaft"
Web Deutscher Verlog Für Grundstoffindustrie,
Leipzig, Berlin, Mai 1981
55. BLIZNAKOV, G., ve ARKADAŞLARI
"An Investigation on the Formation of Metal Like
Compounds in the Diffusional Layer Obtained During
Simultaneous Multicomponent Saturation of Iron
(Armco) With Boron and Zirconium"
Journal of the Less Common Metals, 67 (1979)
315-325
56. ARIMICHI FLANDA, YUSUKE UJIHIRA,
"Analysis of Layer Structure of Boronized Steel
Surface by Conversion Electron Mössbauer
Spectrometry (CEMS)"
Journal of Materials Science 18 (1983) 1887-1894

57. BRADVAROV, A., GIDIKOVA, N., SPASOVA, E.,
"Thermal-Diffusion Boriding of (Carbon) Steel St.3."
Materialoznanie i Teknol., 1973, 1, 119-129
(Met. Abst. Oct. 1974 56-0466 no'daki özeti)
58. MOON-II KIM and WOON-KWAN YEO.,
"Study on the Boriding of Steel in Ferro-Boron and
 NaBF_4 Powder Mixture"
J. Met. Finish. Soc. Korea. Oct. 1974, 8, (3), 5-11
(Met. Abst. May 1976, 56-0250 no'daki özeti)

TEŞEKKÜR

Tezimi yöneten ve beni her zaman büyük bir sabır ve anlayışla karşılayan sayın hocam Prof.Dr.Recep A. SAFOĞLU'na teşekkür ve saygılarımı arz ederim.

İlk çalışmalarımı sayın hocam Prof.Dr.A.Hikmet ÜÇİŞIK'la yaptım. Sayın hocamın ozamaları yaptığı eleştiri ve yol göstermelerin haklılığını seneler sonra anladım. Kendisine teşekkür fırsatı bulduğum için memnunum.

Deneysel çalışmalarında aktif rol alarak tezin oluşmasında büyük emek ve payları olan sayın Doç.Dr.Emel GEÇKİNLİ hanıma bülhassa teşekkür ederim.

İ.T.Ü Nükleer Enerji Enstitüsündeki Reaktörün kullanılmasına izin veren Prof.N. AYBERS'e, nötron dozunun ayarlanmasında sabır ve titizlikle çalışarak otoradyografi deneylerinin başarısında katkısı olan başta Doç.Dr.Melih GEÇKİNLİ olmak üzere reaktördeki diğer seçkin personele içtenlikle teşekkür ederim.

Tezin düzenlenmesinde büyük yardımları olan sayın meslektaşım Met.Yük.Müh.Ayfer AKDENİZ'e; ilk deneylerin yapılmasındaki katkılarından dolayı Met.Yük.Müh.Dr.Ahmet ALTMİŞOĞLU'na; yine çalışmaların düzenlenmesindeki katkılarından dolayı Met.Yük.Müh.Canan ÜLGÜRAY'a; analizlerdeki yardımlarından dolayı Met.Yük.Müh.Mustafa ÜRGÜN ve devre arkadaşım Çemtaş İşletme Müdürü Met.Müh.Adnan GÜNEY'e; X-Işınlarındaki katkılarından dolayı Doç.Dr.Mehmet KOZ ve Öğr.Gör.Dr.Erdem DEMİRKESEN'e teşekkürlerimi sunarım.

Laboratuvarımız değerli teknisyenlerinden Mizrap CANIBEYAZ'a ve senelerden beri laborantlığını yapan sayın Hüseyin VARDAR'a teşekkür etmeden geçemem.

Çok yoğun işleri arasında teknik resimlerin çizimi gerçekleştiren Mete GÜNEY ve Reyhan AYAN'a, yine daktılı işlerini gerçekleştiren Naciye ARSAL'a teşekkürlerimi iletmek isterim.



ÖZGEÇMİŞ

1952 yılında Rize'de doğan Nazım BOZKURT, İlk ve Orta Okulu doğduğu yörede, Lise eğitimini ise İstanbul Atatürk Erkek Lise'sinde tamamlamıştır. 1971-1972 yılında girdiği İ.T.Ü. Maden Fakültesi'nden 1975 yılında Metalurji Mühendisi olarak mezun olmuştur. Daha sonra aynı Fakültede 1975-1977 yılları arasında Metalurji Bölümü Malzeme dalında Yüksek Lisans eğitimi görerek Metalurji Yüksek Mühendisi ünvanını almıştır. 1977 yılında Metalurji Bölümüne Asistan olarak giren Nazım BOZKURT, halen Kimya-Metalurji Fakülte'sinde araştırma görevlisi olarak çalışmaktadır. Evli ve iki çocuk babasıdır.

T. C.
Yüksekoktetim Kurulu
Dokümantasyon Merkezi